

---

# 7. Stochastische Prozesse

# Original- und Korrelationsfunktionen bzw. Spektralfunktionen

**Tafel 1.4** Übersicht zum Zusammenhang von Original- und Korrelationsfunktionen bzw. Spektralfunktionen für die betrachteten Signalarten

---

**stochastisch**

Leistungssignal  $x(t)$

---

$$x_T(t) \circ \bullet X_T(f)$$



$$\varphi_{xx}(\tau) \circ \bullet \Phi_{xx}(f)$$

---

mittlere Leistung

$$\varphi_{xx}(0) = \int_{-\infty}^{+\infty} \Phi_{xx}(f) df$$

# Original- und Korrelationsfunktionen bzw. Spektralfunktionen

**Tafel 1.4** Übersicht zum Zusammenhang von Original- und Korrelationsfunktionen bzw. Spektralfunktionen für die betrachteten Signalarten

<b>stochastisch</b> Leistungssignal $x(t)$	<b>determiniert</b> periodisch Leistungssignal $u_p(t)$
$x_T(t) \circ \bullet X_T(f)$ $\downarrow \quad \downarrow$ $\varphi_{xx}(\tau) \circ \bullet \Phi_{xx}(f)$	$u_p(t) \circ \bullet U_p(f) = \sum_{\mu=-\infty}^{+\infty} C(\mu) \delta(f - \mu f_0)$ $\downarrow \quad \downarrow$ $\varphi_{pp}(\tau) \circ \bullet \Phi_{pp}(f)$ $= \sum_{\mu=-\infty}^{+\infty}  C(\mu) ^2 \delta(f - \mu f_0)$
mittlere Leistung $\varphi_{xx}(0) = \int_{-\infty}^{+\infty} \Phi_{xx}(f) df$	mittlere Leistung $\varphi_{pp}(0) = \sum_{\mu=-\infty}^{+\infty}  C(\mu) ^2$ $= \int_{-\infty}^{+\infty} \Phi_{pp}(f) df$

# Original- und Korrelationsfunktionen bzw. Spektralfunktionen

**Tafel 1.4** Übersicht zum Zusammenhang von Original- und Korrelationsfunktionen bzw. Spektralfunktionen für die betrachteten Signalarten

<b>stochastisch</b> Leistungssignal $x(t)$	<b>determiniert</b> periodisch Leistungssignal $u_p(t)$	aperiodisch Energiesignal $u(t)$
$x_T(t) \circ \bullet X_T(f)$ $\downarrow \quad \downarrow$ $\varphi_{xx}(\tau) \circ \bullet \Phi_{xx}(f)$	$u_p(t) \circ \bullet U_p(f) = \sum_{\mu=-\infty}^{+\infty} C(\mu) \delta(f - \mu f_0)$ $\downarrow \quad \downarrow$ $\varphi_{pp}(\tau) \circ \bullet \Phi_{pp}(f)$ $= \sum_{\mu=-\infty}^{+\infty}  C(\mu) ^2 \delta(f - \mu f_0)$	$u(t) \circ \bullet U(f)$ $\downarrow \quad \downarrow$ $\varphi_{uu}^E(\tau) \circ \bullet \Phi_{uu}^E(f)$ $=  U(f) ^2$
mittlere Leistung $\varphi_{xx}(0) = \int_{-\infty}^{+\infty} \Phi_{xx}(f) df$	mittlere Leistung $\varphi_{pp}(0) = \sum_{\mu=-\infty}^{+\infty}  C(\mu) ^2$ $= \int_{-\infty}^{+\infty} \Phi_{pp}(f) df$	Energie $\varphi_{uu}^E(0) = \int_{-\infty}^{+\infty} \Phi_{uu}^E(f) df$

# 7.5 Kreuzkorrelationsfunktionen und zugehörige Spektralfunktionen

## 7.5.1 KKF von stochastischen Signalen

---

$$\varphi_{XY}(\tau) = \mathbb{E}\{X(t)Y(t + \tau)\}$$

## 7.5.1 KKF von stochastischen Signalen

---

$$\varphi_{XY}(\tau) = \mathbb{E}\{X(t)Y(t + \tau)\}$$

$$\varphi_{XY}(-\tau) = \varphi_{YX}(\tau) = \mathbb{E}\{Y(t)X(t + \tau)\}$$

## 7.5.1 KKF von stochastischen Signalen

$$\varphi_{XY}(\tau) = \mathbb{E}\{X(t)Y(t + \tau)\}$$

$$\varphi_{XY}(-\tau) = \varphi_{YX}(\tau) = \mathbb{E}\{Y(t)X(t + \tau)\}$$

### Ergodischer Prozess

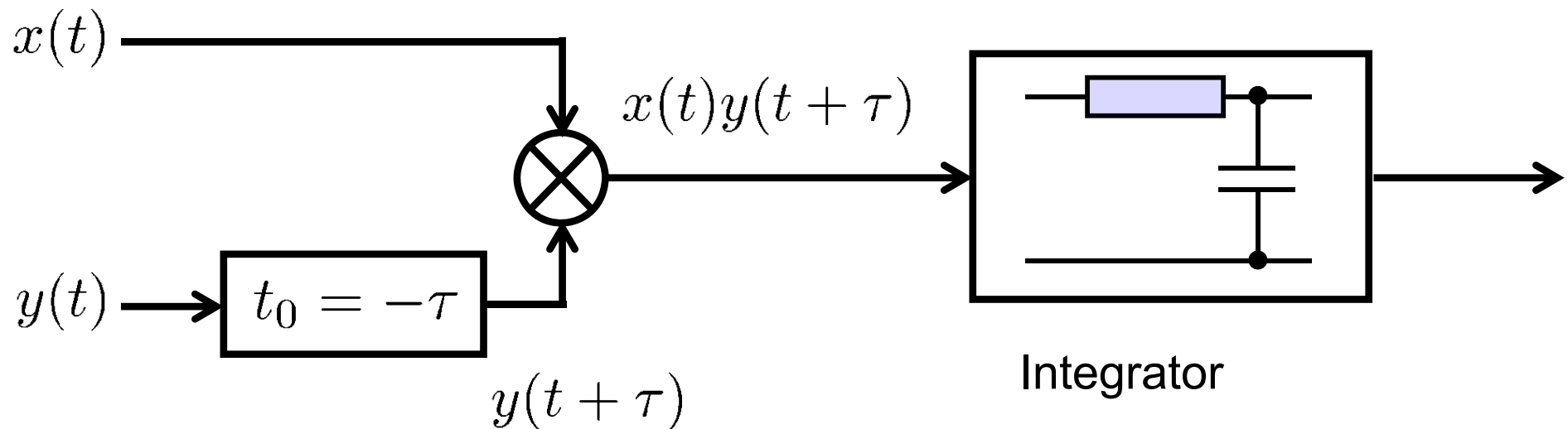
$$\begin{aligned}\varphi_{XY}(\tau) &= \overline{x(t)y(t + \tau)} \\ &= \lim_{T \rightarrow \infty} \frac{1}{T} \int_T x(t)y(t + \tau) dt\end{aligned}$$



## 7.5.1 KKF von stochastischen Signalen

Maß für die lineare statistische Abhängigkeit zweier Zufallfunktionen  $x(t)$  und  $y(t)$  als Realisierungen zweier verschiedener ergodischer Prozess

- mögliche Implementierung:



## 7.5.1 KKF von stochastischen Signalen

### Zusammenhang KKF $\Leftrightarrow$ Leistung der Einzelsignale

**Annahme**  $x(t), y(t)$  reell

$x(t) \neq \pm y(t + \tau) \Rightarrow$  falls nicht ausgeschlossen "  $\geq$  "

$$\overline{[x(t) \pm y(t + \tau)]^2} > 0$$

## 7.5.1 KKF von stochastischen Signalen

### Zusammenhang KKF $\Leftrightarrow$ Leistung der Einzelsignale

**Annahme**  $x(t), y(t)$  reell

$x(t) \neq \pm y(t + \tau) \Rightarrow$  falls nicht ausgeschlossen "  $\geq$  "

$$\overline{[x(t) \pm y(t + \tau)]^2} > 0$$

$$\underbrace{\overline{x^2(t)}} \pm 2 \underbrace{\overline{x(t)y(t + \tau)}} + \underbrace{\overline{y^2(t + \tau)}} > 0$$

## 7.5.1 KKF von stochastischen Signalen

### Zusammenhang KKF $\Leftrightarrow$ Leistung der Einzelsignale

**Annahme**  $x(t), y(t)$  reell

$x(t) \neq \pm y(t + \tau) \Rightarrow$  falls nicht ausgeschlossen "  $\geq$  "

$$\overline{[x(t) \pm y(t + \tau)]^2} > 0$$

$$\underbrace{\overline{x^2(t)}} \pm 2 \underbrace{\overline{x(t)y(t + \tau)}} + \underbrace{\overline{y^2(t + \tau)}} > 0$$

$$\varphi_{XX}(0) \pm 2 \varphi_{XY}(\tau) + \varphi_{YY}(0)$$

## 7.5.1 KKF von stochastischen Signalen

### Zusammenhang KKF $\Leftrightarrow$ Leistung der Einzelsignale

**Annahme**  $x(t), y(t)$  reell

$x(t) \neq \pm y(t + \tau) \Rightarrow$  falls nicht ausgeschlossen "  $\geq$  "

$$\overline{[x(t) \pm y(t + \tau)]^2} > 0$$

$$\underbrace{\overline{x^2(t)}} \pm 2 \underbrace{\overline{x(t)y(t + \tau)}} + \underbrace{\overline{y^2(t + \tau)}} > 0$$

$$\varphi_{XX}(0) \pm 2 \varphi_{XY}(\tau) + \varphi_{YY}(0)$$

$$\pm 2\varphi_{XY}(\tau) > -\varphi_{XX}(0) - \varphi_{YY}(0)$$

## 7.5.1 KKF von stochastischen Signalen

### Zusammenhang KKF $\Leftrightarrow$ Leistung der Einzelsignale

**Annahme**  $x(t), y(t)$  reell

$x(t) \neq \pm y(t + \tau) \Rightarrow$  falls nicht ausgeschlossen "  $\geq$  "

$$\overline{[x(t) \pm y(t + \tau)]^2} > 0$$

$$\underbrace{\overline{x^2(t)}} \pm 2 \underbrace{\overline{x(t)y(t + \tau)}} + \underbrace{\overline{y^2(t + \tau)}} > 0$$

$$\varphi_{XX}(0) \pm 2 \varphi_{XY}(\tau) + \varphi_{YY}(0)$$

$$\pm 2\varphi_{XY}(\tau) > -\varphi_{XX}(0) - \varphi_{YY}(0)$$

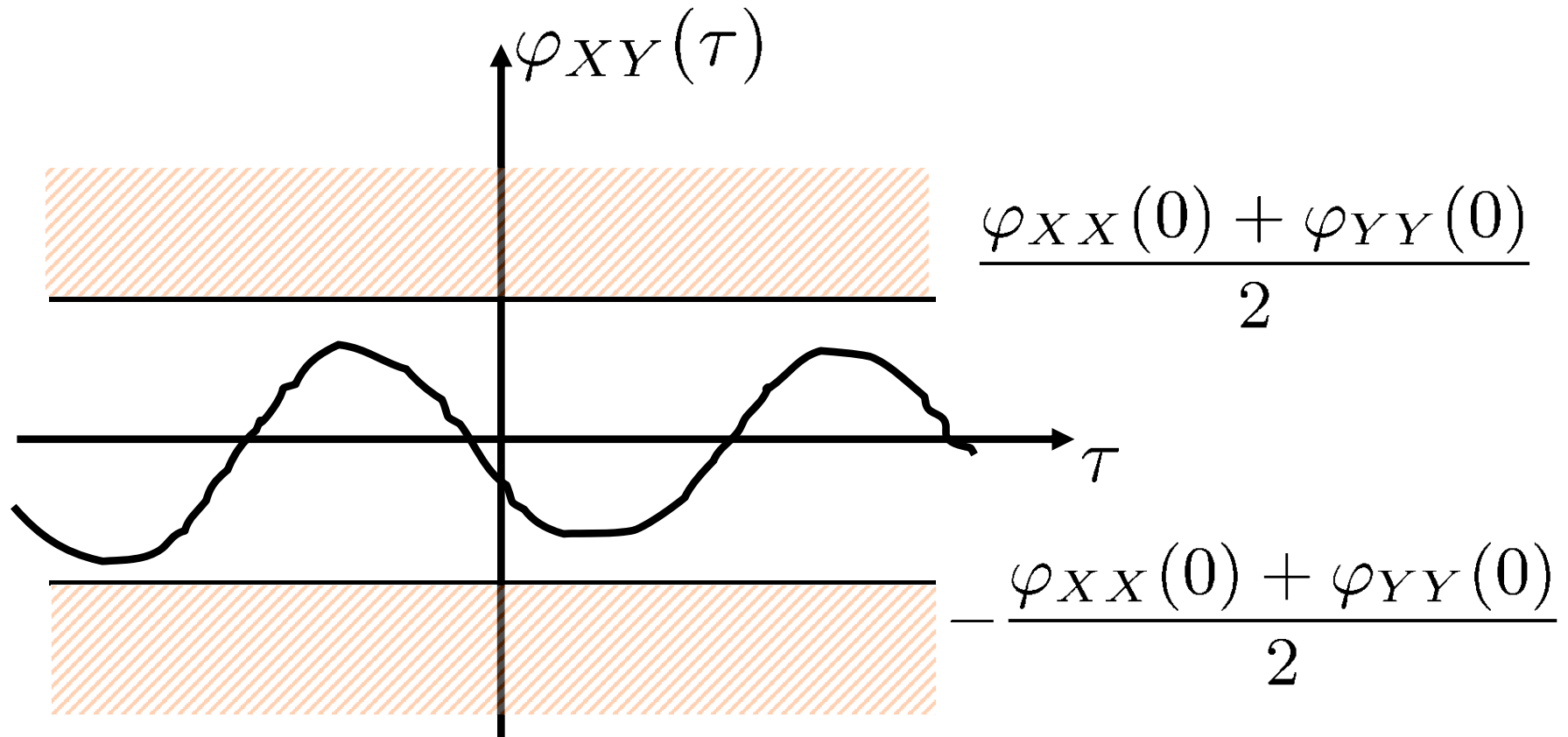
$$\mp \varphi_{XY}(\tau) < \underbrace{\frac{1}{2}[\varphi_{XX}(0) + \varphi_{YY}(0)]}_{>0}$$

## 7.5.1 KKF von stochastischen Signalen

$$|\varphi_{XY}(\tau)| < \frac{1}{2} [\varphi_{XX}(0) + \varphi_{YY}(0)]$$

## 7.5.1 KKF von stochastischen Signalen

$$|\varphi_{XY}(\tau)| < \frac{1}{2} [\varphi_{XX}(0) + \varphi_{YY}(0)]$$





## 7.5.2 KKF von deterministischen Signalen

### KKF periodischer Zeitfunktionen

**Voraussetzung:** periodische deterministische Zeitfunktionen  $u_{p_1}(t)$  und  $u_{p_2}(t)$  haben die gleiche Periode  $t_p$  (Sonderfall stochastischer Signale)

$$\varphi_{p_{12}}(\tau) = \frac{1}{kt_p} \int_{kt_p} u_{p_1}(t) u_{p_2}(t + \tau) dt, \quad k \in \mathbb{N} \setminus \{0\}$$

periodisch mit  $t_p$  [gleiche Periode wie  $u_{p_1}(t)$  und  $u_{p_2}(t)$ ]

## 7.5.2 KKF von deterministischen Signalen

### KKF periodischer Zeitfunktionen

**Voraussetzung:** periodische deterministische Zeitfunktionen  $u_{p_1}(t)$  und  $u_{p_2}(t)$  haben die gleiche Periode  $t_p$  (Sonderfall stochastischer Signale)

$$\varphi_{p_{12}}(\tau) = \frac{1}{kt_p} \int_{kt_p} u_{p_1}(t) u_{p_2}(t + \tau) dt, \quad k \in \mathbb{N} \setminus \{0\}$$

periodisch mit  $t_p$  [gleiche Periode wie  $u_{p_1}(t)$  und  $u_{p_2}(t)$ ]

### KKF aperiodischer Zeitfunktionen $u_1(t)$ und $u_2(t)$

analog zur AKF aperiodischer Zeitfunktionen

$$\varphi_{u_{12}}^E(\tau) = \int_{-\infty}^{\infty} u_1(t) u_2(t + \tau) dt \quad (\text{aperiodisch})$$

## 7.5.2 KKF von deterministischen Signalen

wie bei der AKF kann auch die KKF aperiodischer Zeitfunktionen als Faltung ausgedrückt werden

**Faltung:** 
$$u_1(t) * u_2(t) = \int_{-\infty}^{\infty} u_1(\tau)u_2(t - \tau)d\tau$$
$$= \int_{-\infty}^{\infty} u_1(\beta)u_2(t - \beta)d\beta$$

## 7.5.2 KKF von deterministischen Signalen

wie bei der AKF kann auch die KKF aperiodischer Zeitfunktionen als Faltung ausgedrückt werden

**Faltung:**

$$u_1(t) * u_2(t) = \int_{-\infty}^{\infty} u_1(\tau) u_2(t - \tau) d\tau$$
$$= \int_{-\infty}^{\infty} u_1(\beta) u_2(t - \beta) d\beta$$

**Behauptung:**

$$\varphi_{u_{12}}^E(\tau) = u_1(-\tau) * u_2(\tau)$$

## 7.5.2 KKF von deterministischen Signalen

**Beweis:**

$$u_1(-\tau) * u_2(\tau) = \int_{z=-\infty}^{z=\infty} u_1(-z)u_2(\tau - z)dz$$

$$\begin{aligned} -z &= t \\ dz &= -dt \end{aligned}$$

## 7.5.2 KKF von deterministischen Signalen

**Beweis:**

$$u_1(-\tau) * u_2(\tau) = \int_{z=-\infty}^{z=\infty} u_1(-z)u_2(\tau - z)dz$$
$$\boxed{\begin{array}{l} -z = t \\ dz = -dt \end{array}} = \int_{t=\infty}^{t=-\infty} u_1(t)u_2(\tau + t) (-dt)$$

## 7.5.2 KKF von deterministischen Signalen

**Beweis:**

$$\begin{aligned} u_1(-\tau) * u_2(\tau) &= \int_{z=-\infty}^{z=\infty} u_1(-z)u_2(\tau - z)dz \\ \boxed{\begin{array}{l} -z = t \\ dz = -dt \end{array}} &= \int_{t=\infty}^{t=-\infty} u_1(t)u_2(\tau + t) (-dt) \\ &= \int_{-\infty}^{\infty} u_1(t)u_2(t + \tau)dt \end{aligned}$$

## 7.5.2 KKF von deterministischen Signalen

**Beweis:**

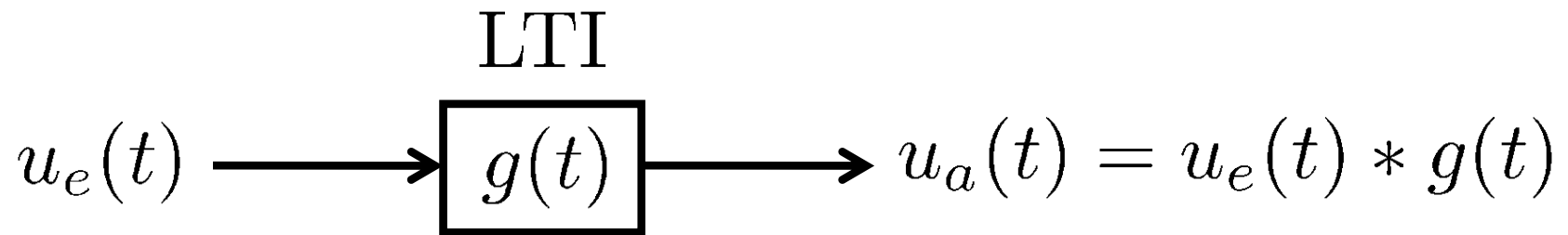
$$\begin{aligned}u_1(-\tau) * u_2(\tau) &= \int_{z=-\infty}^{z=\infty} u_1(-z)u_2(\tau - z)dz \\ &= \int_{t=\infty}^{t=-\infty} u_1(t)u_2(\tau + t) (-dt) \\ &= \int_{-\infty}^{\infty} u_1(t)u_2(t + \tau)dt\end{aligned}$$

$$\varphi_{u_{12}}^E(\tau) = u_1(-\tau) * u_2(\tau) = \int_{-\infty}^{\infty} u_1(t)u_2(t + \tau)dt$$



## 7.5.2 KKF von deterministischen Signalen

Anwendung: **Bildung der KKF durch LTI-Systeme**



$$u_e(t) = u_1(-t)$$

$$g(t) = u_2(t)$$

$$u_a(t) = \varphi_{u_1 u_2}^E(t)$$

## 7.5.3 Orthogonalität

2 stochastische Prozesse sind orthogonal, falls

$$\varphi_{XY}(\tau) = \mathbb{E}\{X(t)Y(t + \tau)\} = \overline{x(t)y(t + \tau)} = 0$$

## 7.5.3 Orthogonalität

2 stochastische Prozesse sind orthogonal, falls

$$\varphi_{XY}(\tau) = \mathbb{E}\{X(t)Y(t + \tau)\} = \overline{x(t)y(t + \tau)} = 0$$

$$Z(t) = X(t) + Y(t) \quad \text{AKF ?}$$

## 7.5.3 Orthogonalität

2 stochastische Prozesse sind orthogonal, falls

$$\varphi_{XY}(\tau) = \mathbf{E}\{X(t)Y(t + \tau)\} = \overline{x(t)y(t + \tau)} = 0$$

$$Z(t) = X(t) + Y(t) \quad \text{AKF ?}$$

$$\begin{aligned}\varphi_{ZZ}(\tau) &= \mathbf{E}\{Z(t)Z(t + \tau)\} \\ &= \mathbf{E}\{[X(t) + Y(t)][X(t + \tau) + Y(t + \tau)]\}\end{aligned}$$

## 7.5.3 Orthogonalität

2 stochastische Prozesse sind orthogonal, falls

$$\varphi_{XY}(\tau) = \mathbb{E}\{X(t)Y(t + \tau)\} = \overline{x(t)y(t + \tau)} = 0$$

$$Z(t) = X(t) + Y(t) \quad \text{AKF ?}$$

$$\begin{aligned} \varphi_{ZZ}(\tau) &= \mathbb{E}\{Z(t)Z(t + \tau)\} \\ &= \mathbb{E}\{[X(t) + Y(t)][X(t + \tau) + Y(t + \tau)]\} \\ &= \underbrace{\mathbb{E}\{X(t)X(t + \tau)\}}_{\varphi_{XX}(\tau)} + \underbrace{\mathbb{E}\{X(t)Y(t + \tau)\}}_{\varphi_{XY}(\tau)} + \underbrace{\mathbb{E}\{Y(t)X(t + \tau)\}}_{\varphi_{YX}(\tau)} + \underbrace{\mathbb{E}\{Y(t)Y(t + \tau)\}}_{\varphi_{YY}(\tau)} \end{aligned}$$

$\varphi_{YX}(\tau) = \varphi_{XY}(-\tau)$

## 7.5.3 Orthogonalität

2 stochastische Prozesse sind orthogonal, falls

$$\varphi_{XY}(\tau) = \mathbb{E}\{X(t)Y(t + \tau)\} = \overline{x(t)y(t + \tau)} = 0$$

$$Z(t) = X(t) + Y(t) \quad \text{AKF ?}$$

$$\begin{aligned} \varphi_{ZZ}(\tau) &= \mathbb{E}\{Z(t)Z(t + \tau)\} \\ &= \mathbb{E}\{[X(t) + Y(t)][X(t + \tau) + Y(t + \tau)]\} \\ &= \underbrace{\mathbb{E}\{X(t)X(t + \tau)\}}_{\varphi_{XX}(\tau)} + \underbrace{\mathbb{E}\{X(t)Y(t + \tau)\}}_{\varphi_{XY}(\tau)} + \underbrace{\mathbb{E}\{Y(t)X(t + \tau)\}}_{\varphi_{YX}(\tau)} + \underbrace{\mathbb{E}\{Y(t)Y(t + \tau)\}}_{\varphi_{YY}(\tau)} \\ &\quad \underbrace{\varphi_{XY}(\tau) + \varphi_{YX}(\tau)}_{\text{ist gerade}} \end{aligned}$$

## 7.5.3 Orthogonalität

Falls  $X(t)$  und  $Y(t)$  orthogonal sind,  
d.h.  $\varphi_{XY}(\tau) = \varphi_{YX}(\tau) = 0$ , gilt

$$\varphi_{ZZ}(\tau) = \varphi_{XX}(\tau) + \varphi_{YY}(\tau)$$

## 7.5.3 Orthogonalität

Falls  $X(t)$  und  $Y(t)$  orthogonal sind,  
d.h.  $\varphi_{XY}(\tau) = \varphi_{YX}(\tau) = 0$ , gilt

$$\varphi_{ZZ}(\tau) = \varphi_{XX}(\tau) + \varphi_{YY}(\tau)$$

Für  $\tau = 0$ :

$$\varphi_{ZZ}(0) = \varphi_{XX}(0) + \varphi_{YY}(0)$$

Die Summe der mittleren Leistung der Einzelsignale  
ist gleich der mittleren Leistung der Vorgangs.

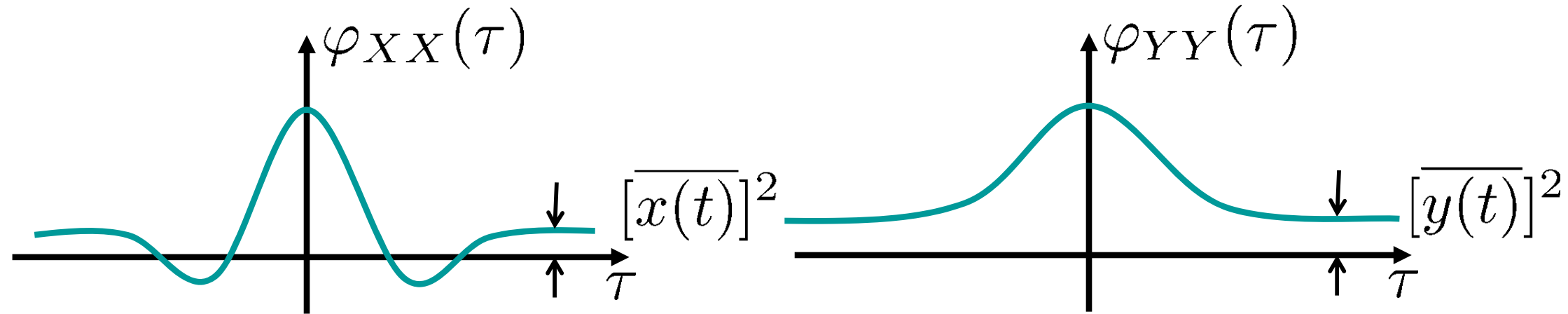


# 7.5.3 Orthogonalität

## Bedeutung der Gleichkomponenten

$$\overline{x(t)} = E\{X(t)\}$$

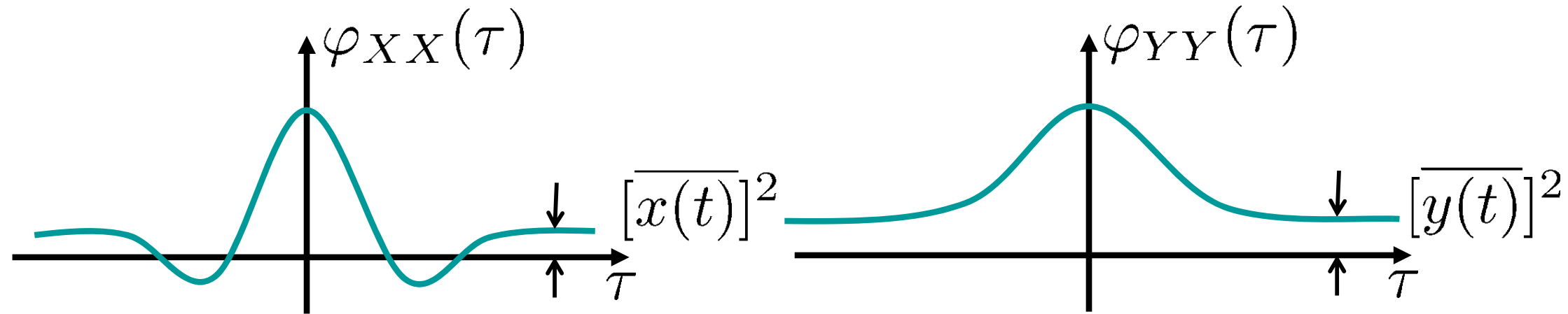
$$\overline{y(t)} = E\{Y(t)\}$$



# 7.5.3 Orthogonalität

## Bedeutung der Gleichkomponenten

$$\overline{x(t)} = E\{X(t)\}$$
$$\overline{y(t)} = E\{Y(t)\}$$



$$\overline{z(t)} = \overline{x(t)} + \overline{y(t)}$$

## 7.5.3 Orthogonalität

### Unkorrelierte Prozesse

Bei unkorrelierten Prozessen ist die KKF eine Konstante

$$\varphi_{XY}(\tau) = \mathbb{E}\{X(t)\}\mathbb{E}\{Y(t)\} = \overline{x(t)} \cdot \overline{y(t)}$$

orthogonal falls  $\overline{x(t)} = 0, \overline{y(t)} = 0$

## 7.5.3 Orthogonalität

### Orthogonalität für periodische deterministische Signale

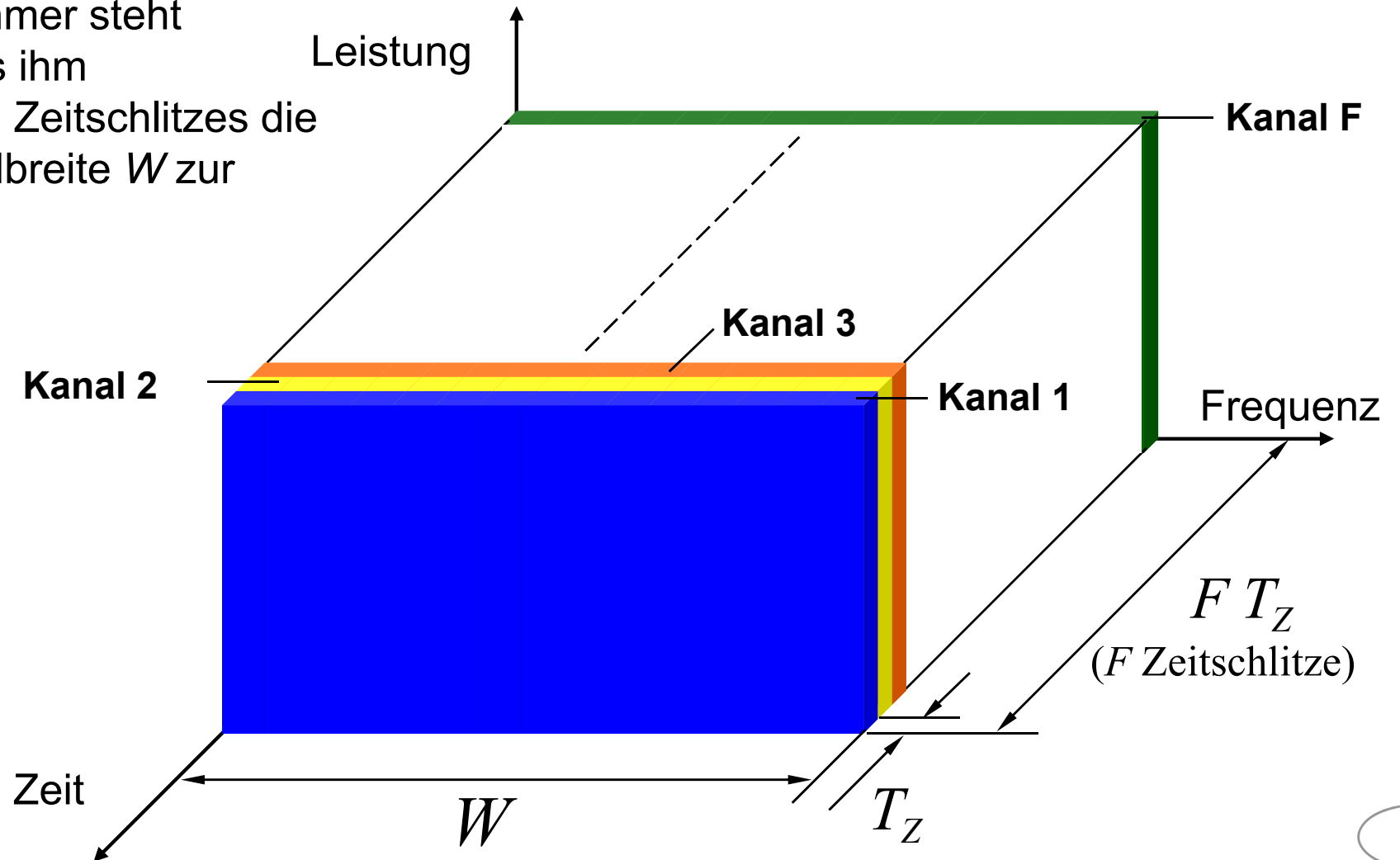
2 periodische deterministische Signale heißen orthogonal, wenn eine schwächere Bedingung

$$\begin{aligned}\varphi_{p_{12}}(0) &= \overline{u_{p_1}(t)u_{p_2}(t+0)} \\ &= \frac{1}{t_p} \int_{t_p} u_{p_1}(t)u_{p_2}(t)dt \\ &= 0\end{aligned}$$

erfüllt ist.

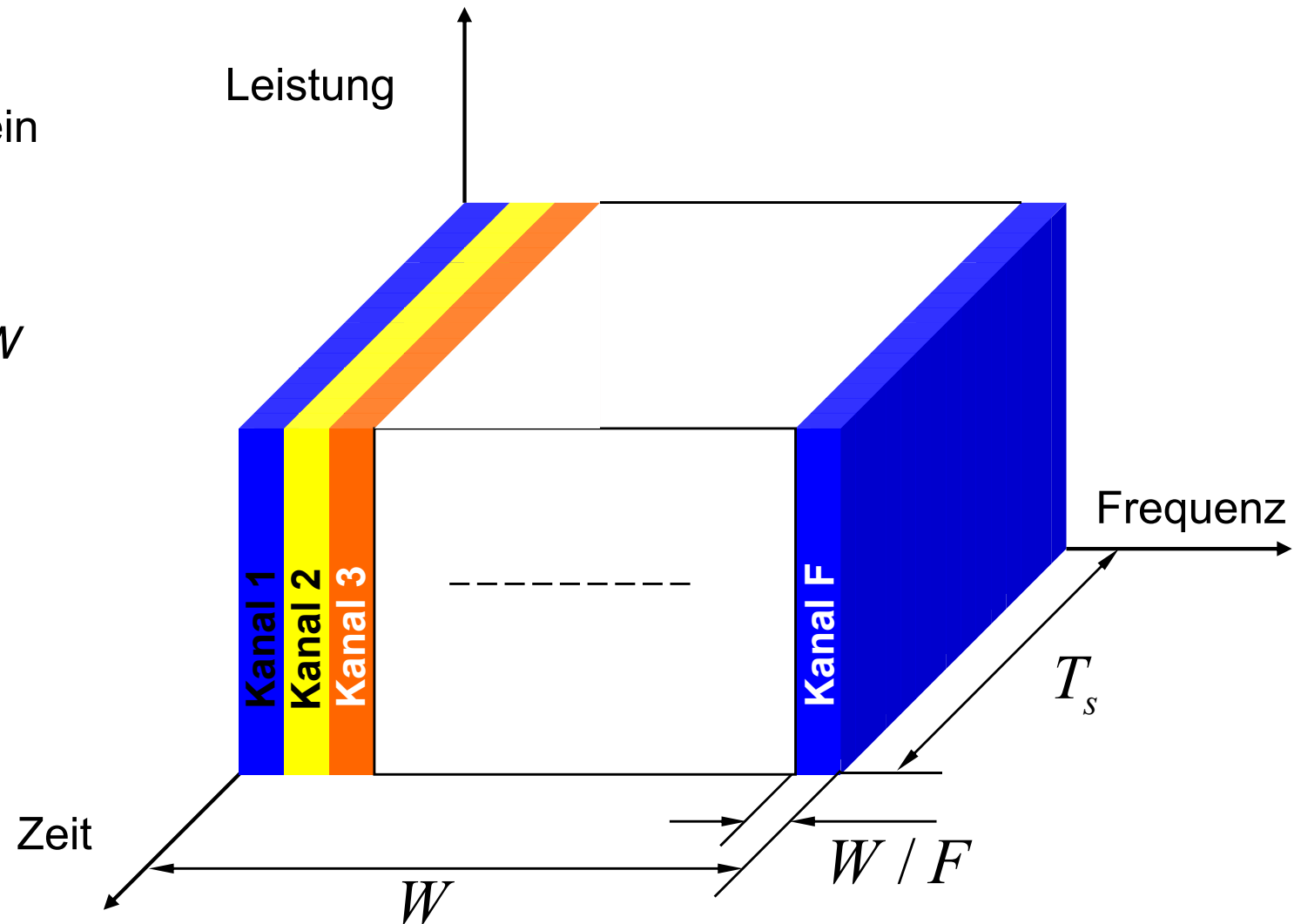
# TDMA

- Jedem Teilnehmer steht während eines ihm zugewiesenen Zeitschlitzes die gesamte Bandbreite  $W$  zur Verfügung



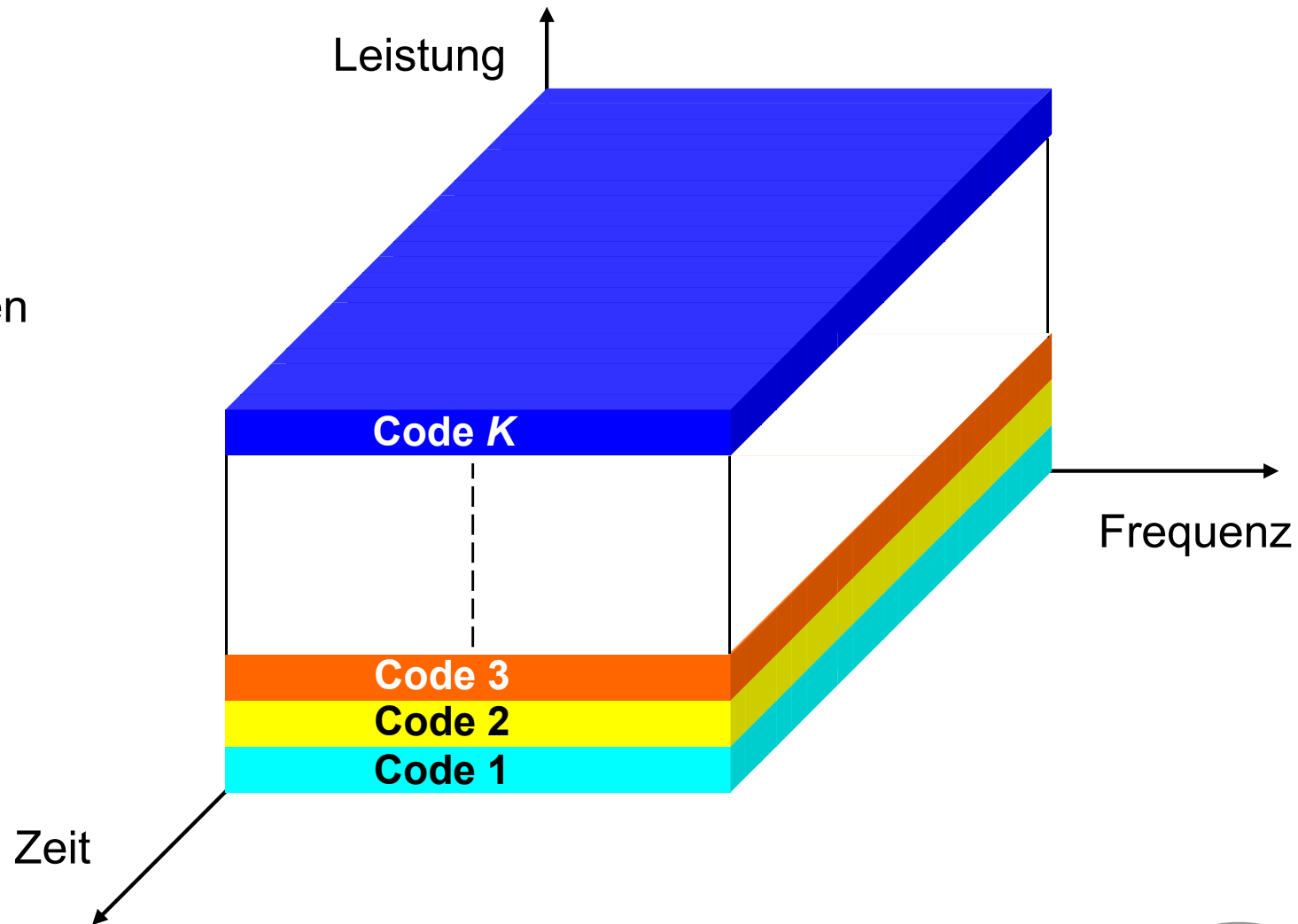
# FDMA

- Jedem Teilnehmer steht durchgehend ein begrenztes Frequenzband innerhalb der Gesamtbandbreite  $W$  zur Verfügung



# CDMA

- Zu jeder Zeit steht die gesamte spektrale Bandbreite  $W$  zur Verfügung.
- Die Trennung der einzelnen Signale wird durch Verwendung teilnehmerspezifischer Codes ermöglicht.



## 7.6 Abgetastete stochastische Vorgänge

Wdh.

**Abtastung einer Zeitfunktionen**

$$\begin{aligned} A_{t_0} \{x(t)\} &= x(t) \sum_{n=-\infty}^{\infty} \delta(t - nt_0) \\ &= \sum_{n=-\infty}^{\infty} x(nt_0) \delta(t - nt_0) \end{aligned}$$

**Voraussetzung:**

- die stochastischen Signale  $x(t)$  &  $y(t)$  enthalten keine periodischen Komponenten



## 7.6 Abgetastete stochastische Vorgänge

**KKF der abgetasteten Vorgänge** (Definition als Zeitmittelwert)

$t_0 \cdot A_{t_0} \{x(t)\}$  und  $t_0 \cdot A_{t_0} \{y(t)\}$

$$\varphi_{A(xy)}(\tau) = \lim_{T \rightarrow \infty} \frac{1}{T} \int_T t_0 A_{t_0} \{x(t)\} t_0 A_{t_0} \{y(t + \tau)\} dt$$

## 7.6 Abgetastete stochastische Vorgänge

**KKF der abgetasteten Vorgänge** (Definition als Zeitmittelwert)

$$t_0 \cdot A_{t_0} \{x(t)\} \quad \text{und} \quad t_0 \cdot A_{t_0} \{y(t)\}$$

$$\varphi_{A(xy)}(\tau) = \lim_{T \rightarrow \infty} \frac{1}{T} \int_T t_0 A_{t_0} \{x(t)\} t_0 A_{t_0} \{y(t + \tau)\} dt$$

mit  $A_{t_0} \{y(t + \tau)\} = y(t + \tau) \sum_{m=-\infty}^{\infty} \delta(t + \tau - mt_0)$

## 7.6 Abgetastete stochastische Vorgänge

**KKF der abgetasteten Vorgänge** (Definition als Zeitmittelwert)

$$t_0 \cdot A_{t_0} \{x(t)\} \quad \text{und} \quad t_0 \cdot A_{t_0} \{y(t)\}$$

$$\varphi_{A(xy)}(\tau) = \lim_{T \rightarrow \infty} \frac{1}{T} \int_T t_0 A_{t_0} \{x(t)\} t_0 A_{t_0} \{y(t + \tau)\} dt$$

mit  $A_{t_0} \{y(t + \tau)\} = y(t + \tau) \sum_{m=-\infty}^{\infty} \delta(t + \tau - mt_0)$

$$\varphi_{A(xy)}(\tau) = \lim_{T \rightarrow \infty} \frac{t_0^2}{T} \int_T x(t) y(t + \tau) \sum_{n=-\infty}^{\infty} \delta(t - nt_0) \sum_{m=-\infty}^{\infty} \delta(t + \tau - mt_0) dt$$

## 7.6 Abgetastete stochastische Vorgänge

Bekannt:  $u(t) \delta(t - nt_0) = u(nt_0) \delta(t - nt_0)$

$$\begin{aligned} \delta(t + \tau - mt_0) \delta(t - nt_0) &= \delta(nt_0 + \tau - mt_0) \delta(t - nt_0) \\ &= \delta\left(\tau - \underbrace{[m - n] t_0}\right) \delta(t - nt_0) \end{aligned}$$

Substitution:  $k = m - n$

## 7.6 Abgetastete stochastische Vorgänge

Bekannt:  $u(t) \delta(t - nt_0) = u(nt_0) \delta(t - nt_0)$

$$\begin{aligned} \delta(t + \tau - mt_0) \delta(t - nt_0) &= \delta(nt_0 + \tau - mt_0) \delta(t - nt_0) \\ &= \delta\left(\tau - \underbrace{[m - n]t_0}\right) \delta(t - nt_0) \end{aligned}$$

Substitution:  $k = m - n$

$$\begin{aligned} \varphi_{A(xy)}(\tau) &= \lim_{T \rightarrow \infty} \frac{t_0^2}{T} \int_T \left[ x(t) y(t + \tau) \sum_{n=-\infty}^{\infty} \sum_{k=-\infty}^{\infty} \delta(t - nt_0) \delta(\tau - kt_0) \right] dt \\ &= t_0 \cdot \underbrace{\lim_{T \rightarrow \infty} \frac{t_0}{T} \int_T \left[ \underbrace{x(t) y(t + \tau)}_{z(t)} \sum_{n=-\infty}^{\infty} \delta(t - nt_0) \right] dt}_{\star} \sum_{k=-\infty}^{\infty} \delta(\tau - kt_0) \end{aligned}$$



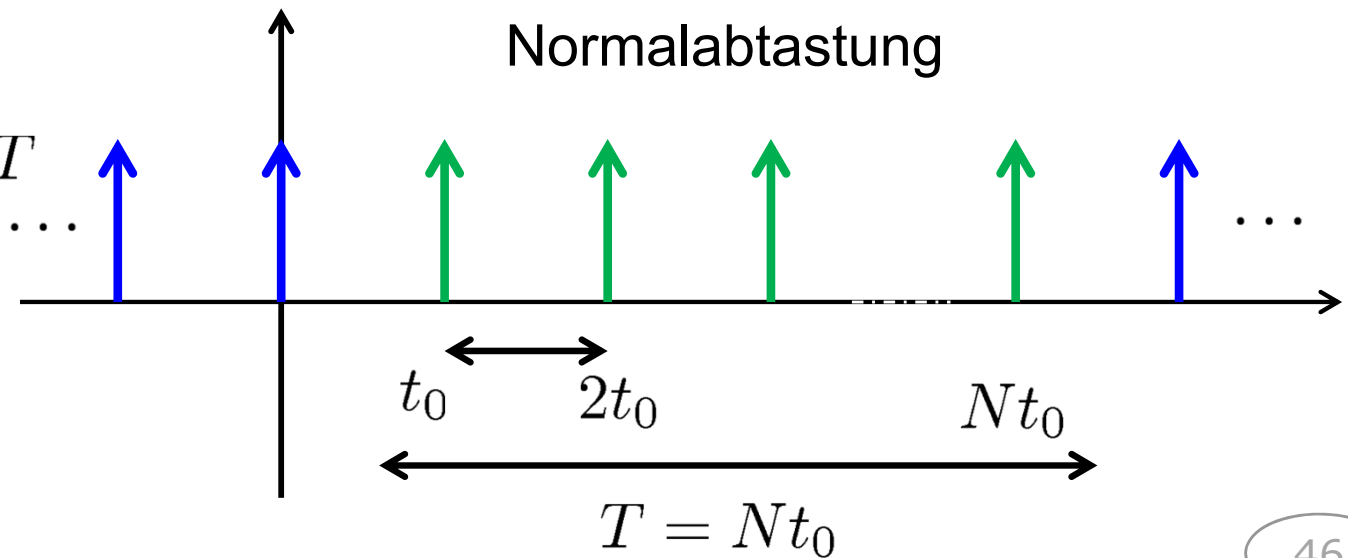
# 7.6 Abgetastete stochastische Vorgänge

**Allgemein:**  $z(t)$  enthalte keine periodischen Komponenten

$$\lim_{T \rightarrow \infty} \frac{t_0}{T} \int_T z(t) \sum_{n=-\infty}^{\infty} \delta(t - nt_0) dt$$
$$= \lim_{T \rightarrow \infty} \frac{t_0}{T} \int_T \sum_{n=-\infty}^{\infty} z(nt_0) \delta(t - nt_0) dt = \dots$$

Setze:  $T = Nt_0$

Integrationsintervall der Länge  $T$   
( $N$  Stöße), z. B.  $\longrightarrow$



## 7.6 Abgetastete stochastische Vorgänge

$$\begin{aligned} \dots &= \lim_{N \rightarrow \infty} \frac{t_0}{N t_0} \int_{\frac{t_0}{2}}^{\frac{t_0}{2} + N t_0} \sum_{n=1}^N z(n t_0) \delta(t - n t_0) dt \\ &= \lim_{N \rightarrow \infty} \frac{1}{N} \sum_{n=1}^N z(n t_0) \underbrace{\int_{\frac{t_0}{2}}^{\frac{t_0}{2} + N t_0} \delta(t - n t_0) dt}_{1} \\ &= \lim_{N \rightarrow \infty} \frac{1}{N} \sum_{n=1}^N z(n t_0) = \overline{z(t)} = \lim_{T \rightarrow \infty} \frac{1}{T} \int_T z(t) dt \end{aligned}$$

Falls  $z(t)$  keine periodischen Komponenten enthält, muß das Abtasttheorem nicht erfüllt sein.

## 7.6 Abgetastete stochastische Vorgänge

$$\begin{aligned}
 \star \quad \dots &= \lim_{T \rightarrow \infty} \frac{t_0}{T} \int_T \underbrace{x(t) y(t + \tau)}_{z(t)} \sum_{n=-\infty}^{\infty} \delta(t - nt_0) dt \\
 &= \lim_{N \rightarrow \infty} \frac{1}{N} \sum_{n=1}^N \underbrace{x(nt_0) y(nt_0 + \tau)}_{z(nt_0)} \\
 &= \varphi_{xy}(\tau) = \overline{x(t)y(t + \tau)} = \lim_{T \rightarrow \infty} \frac{1}{T} \int_T x(t) y(t + \tau) dt \\
 \varphi_{A(xy)}(\tau) &= t_0 \underbrace{\varphi_{xy}(\tau) \sum_{k=-\infty}^{\infty} \delta(\tau - kt_0)} \\
 &= t_0 \cdot A_{t_0} \{ \varphi_{xy}(\tau) \}
 \end{aligned}$$



## 7.6 Abgetastete stochastische Vorgänge

**KKF:**

$$\varphi_{A(xy)}(\tau) = t_0 \cdot A_{t_0} \{ \varphi_{xy}(\tau) \} = t_0 \varphi_{xy}(\tau) \sum_{k=-\infty}^{\infty} \delta(\tau - kt_0)$$

**AKF:**

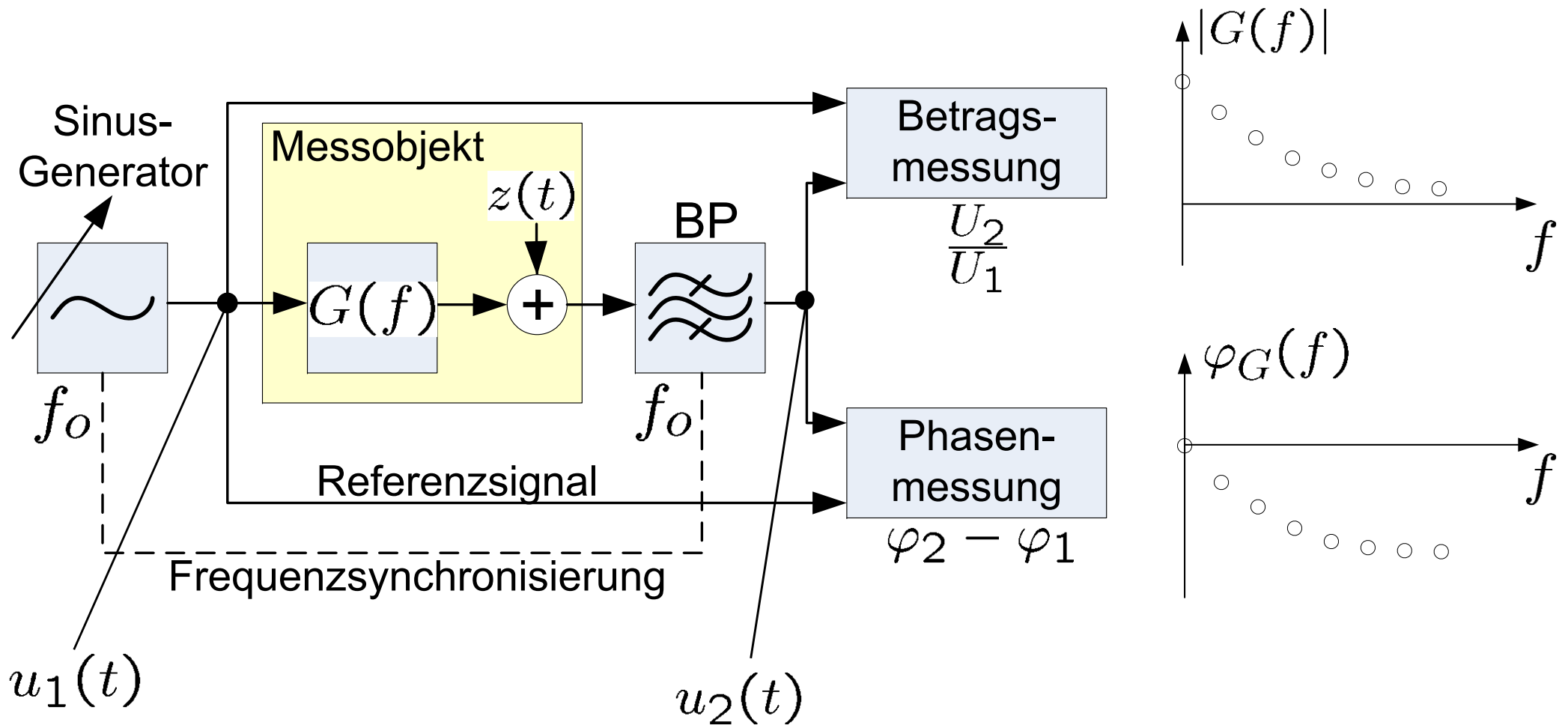
$$\varphi_{A(xx)}(\tau) = t_0 \cdot A_{t_0} \{ \varphi_{xx}(\tau) \} = t_0 \varphi_{xx}(\tau) \sum_{k=-\infty}^{\infty} \delta(\tau - kt_0)$$

- ⇒ Die Korrelationsfunktionen der abgetasteten kontinuierlichen Zeitfunktionen sind gleich den Abgetasteten der Originalfunktionen
- ⇒ Abtastung von Zeitfunktionen korrespondiert zur Abtastung der zugehörigen Korrelationsfunktionen

---

# 8. Stochastische Signale und LTI Systeme

# Sinusmeßtechnik (1)



## Sinusmeßtechnik (2)

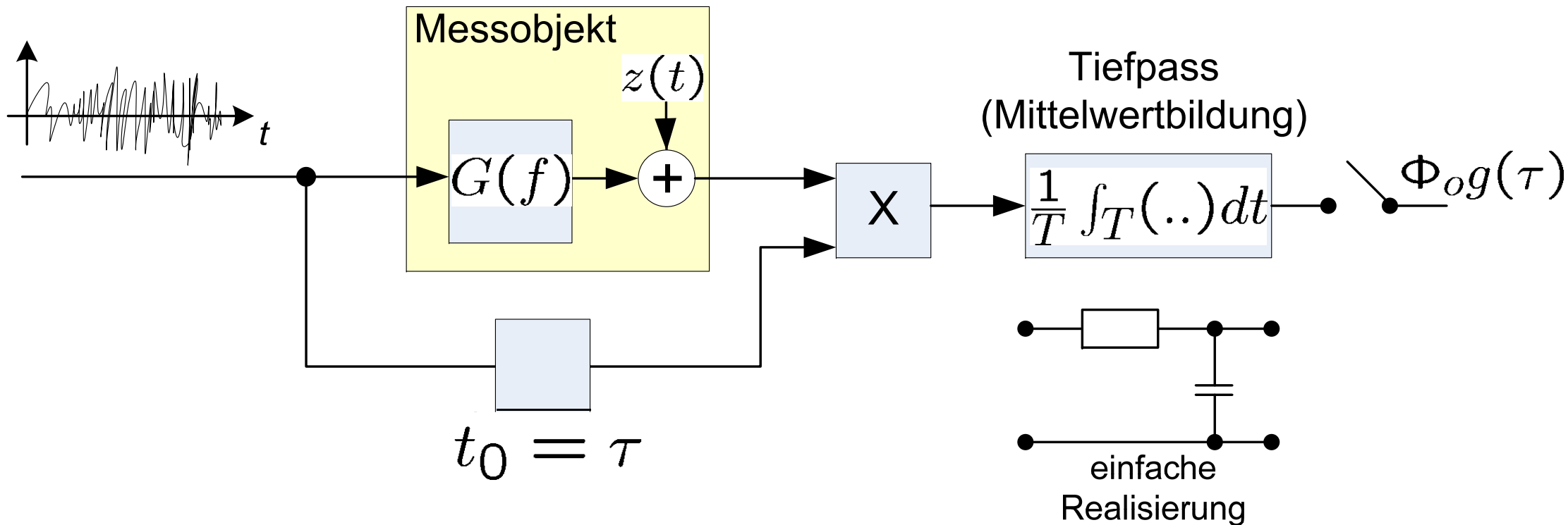
- Meßsignal ist ein deterministisches Schmalbandsignal

$$u_1(t) = U_1 \cdot \sin(2\pi f_0 t + \varphi_1)$$

$$u_2(t) = U_2 \cdot \sin(2\pi f_0 t + \varphi_2)$$

- Meßgröße in Abhängigkeit von  $f_0$
- Bestimmung von  $G(f)$
- $G(f_0)$  wird punktweise bestimmt
- prinzipiell ist eine totale Störunterdrückung möglich  
(Restfehler, da die Bandbreite des Bandpasses  $> 0$ )

# Korrelationsmeßtechnik (1)



# Korrelationsmeßtechnik (2)

- Meßsignal ist ein breitbandiges Zufallssignal

$$x(t) \sim \text{weißes Rauschen}$$

- Autokorrelationsfunktion (AKF)

$$\begin{array}{l} \circ \varphi_{xx}(\tau) = \Phi_o \delta(\tau) \\ \bullet \Phi_{xx}(f) = \Phi_o = \text{const.} \end{array}$$

- Meßgröße in Abhängigkeit von  $t_0 = \tau$
- Bestimmung von  $g(t)$
- $g(t_0) = g(\tau)$  wird punktweise bestimmt
- prinzipiell ist eine totale Störunterdrückung möglich  
(Restfehler, da Integrationszeit  $< \infty$ : endliche Meßzeit)

# alternative Breitbandmessung

- Ermittlung von  $g(t)$  im Zeitbereich mit einmaligem (bzw. in der technischen Ausführung periodisch wiederholtem) Stoß als deterministischem Meßsignal
  - **Vorteil:** geringe Meßzeit  
 $g(t)$  kann direkt auf einem Oszilloskop dargestellt werden
  - **Nachteil:** fehlende Störunterdrückung, da keine Mittelwertbildung

# Korrelationsmeßtechnik mit farbigem Meßsignal

$$\Phi_{xx}(f) \neq \Phi_o = \text{const.}$$

$$\Phi_{xy}(f) = G(f) \cdot \Phi_{xx}(f)$$

$$G(f_o) = \frac{\Phi_{xy}(f_o)}{\Phi_{xx}(f_o)}, \text{ falls } \Phi_{xx}(f_o) \neq 0$$

→ Entzerrung erforderlich



---

# 9. Komplexe Signale und Systeme

# 9.1 Komplexe stochastische Prozesse

z.B. wichtig bei komplexer Basisbandbeschreibung modulierter Signale

## Definition

$$Z(t) = X(t) + jY(t)$$

ist ein komplexwertiger (kurz: komplexer) stochastischer Prozess, wenn sowohl  $X(t)$  als auch  $Y(t)$  reellwertige Zufallsprozesse sind.

# 9.1 Komplexe stochastische Prozesse

z.B. wichtig bei komplexer Basisbandbeschreibung modulierter Signale

## Definition

$$Z(t) = X(t) + jY(t)$$

ist ein komplexwertiger (kurz: komplexer) stochastischer Prozess, wenn sowohl  $X(t)$  als auch  $Y(t)$  reellwertige Zufallsprozesse sind.

Die gemeinsamen Dichten der Zufallsvariablen

$$Z(t_n); n = 1, 2, \dots, N,$$

sind durch die gemeinsamen Dichten der Komponentenprozesse von

$$\begin{bmatrix} X(t) \\ Y(t) \end{bmatrix}$$

bestimmt.

$$f_{XY}(x_{t_1}, x_{t_2}, \dots, x_{t_N}; y_{t_1}, y_{t_2}, \dots, y_{t_N})$$

# Autokorrelationsfunktion (1)

---

$$\varphi_{ZZ}(t_1, t_2) = E\{Z^*(t_1)Z(t_2)\}$$

# Autokorrelationsfunktion (1)

---

$$\begin{aligned}\varphi_{ZZ}(t_1, t_2) &= E\{Z^*(t_1)Z(t_2)\} \\ &= E\{[X(t_1) - jY(t_1)][X(t_2) + jY(t_2)]\}\end{aligned}$$

# Autokorrelationsfunktion (1)

$$\begin{aligned}\varphi_{ZZ}(t_1, t_2) &= E\{Z^*(t_1)Z(t_2)\} \\ &= E\{[X(t_1) - jY(t_1)][X(t_2) + jY(t_2)]\} \\ &= \varphi_{XX}(t_1, t_2) + \varphi_{YY}(t_1, t_2) \dots \\ &\quad \dots + j[\varphi_{XY}(t_1, t_2) - \varphi_{YX}(t_1, t_2)]\end{aligned}$$

# Autokorrelationsfunktion (2)

---

Falls  $X(t)$  und  $Y(t)$  gemeinsam schwach stationär sind  $\rightarrow Z(t)$  ist schwach stationär

## Autokorrelationsfunktion (2)

Falls  $X(t)$  und  $Y(t)$  gemeinsam schwach stationär sind  $\rightarrow Z(t)$  ist schwach stationär

$$\varphi_{ZZ}(t_1, t_2) = \varphi_{ZZ}(t_2 - t_1) = \varphi_{ZZ}(\tau) = E\{Z^*(t)Z(t + \tau)\}$$

$$\tau = t_2 - t_1$$



## Autokorrelationsfunktion (2)

Falls  $X(t)$  und  $Y(t)$  gemeinsam schwach stationär sind  $\rightarrow Z(t)$  ist schwach stationär

$$\varphi_{ZZ}(t_1, t_2) = \varphi_{ZZ}(t_2 - t_1) = \varphi_{ZZ}(\tau) = E\{Z^*(t)Z(t + \tau)\}$$

$$\tau = t_2 - t_1$$

$$\varphi_{ZZ}^*(\tau) = E\{Z(t)Z^*(t + \tau)\}$$

## Autokorrelationsfunktion (2)

Falls  $X(t)$  und  $Y(t)$  gemeinsam schwach stationär sind  $\rightarrow Z(t)$  ist schwach stationär

$$\varphi_{ZZ}(t_1, t_2) = \varphi_{ZZ}(t_2 - t_1) = \varphi_{ZZ}(\tau) = E\{Z^*(t)Z(t + \tau)\}$$

$$\tau = t_2 - t_1$$

$$\begin{aligned}\varphi_{ZZ}^*(\tau) &= E\{Z(t)Z^*(t + \tau)\} \\ &= E\{Z(t' - \tau)Z^*(t')\} \quad \text{mit } t' = t + \tau\end{aligned}$$

## Autokorrelationsfunktion (2)

Falls  $X(t)$  und  $Y(t)$  gemeinsam schwach stationär sind  $\rightarrow Z(t)$  ist schwach stationär

$$\varphi_{ZZ}(t_1, t_2) = \varphi_{ZZ}(t_2 - t_1) = \varphi_{ZZ}(\tau) = E\{Z^*(t)Z(t + \tau)\}$$

$$\tau = t_2 - t_1$$

$$\begin{aligned}\varphi_{ZZ}^*(\tau) &= E\{Z(t)Z^*(t + \tau)\} \\ &= E\{Z(t' - \tau)Z^*(t')\} \quad \text{mit } t' = t + \tau \\ &= E\{Z^*(t')Z(t' - \tau)\} \\ &= \varphi_{ZZ}(-\tau)\end{aligned}$$

## Autokorrelationsfunktion (3)

Falls  $X(t)$  und  $Y(t)$  gemeinsam schwach stationär sind  $\rightarrow Z(t)$  ist schwach stationär

$$\begin{aligned}\varphi_{ZZ}(\tau) &= E\{Z^*(t)Z(t + \tau)\} \\ &= \varphi_{XX}(\tau) + \varphi_{YY}(\tau) \dots \\ &\quad \dots + j [\varphi_{XY}(\tau) - \varphi_{YX}(\tau)]\end{aligned}$$

# Autokorrelationsfunktion (4)

---

**Sonderfall:**  $X(t)$  und  $Y(t)$  sind mittelwertfrei, unkorreliert und gemeinsam stationär

# Autokorrelationsfunktion (4)

**Sonderfall:**  $X(t)$  und  $Y(t)$  sind mittelwertfrei, unkorreliert und gemeinsam stationär

$$\varphi_{ZZ}(\tau) = \varphi_{XX}(\tau) + \varphi_{YY}(\tau)$$
$$\Phi_{ZZ}(f) = \Phi_{XX}(f) + \Phi_{YY}(f)$$

beide: gerade & reell

# Kreuzkorrelationsfunktion (1)

---

$$Z(t) = X(t) + jY(t)$$

$$W(t) = U(t) + jV(t)$$

# Kreuzkorrelationsfunktion (1)

---

$$Z(t) = X(t) + jY(t)$$

$$W(t) = U(t) + jV(t)$$

$$\varphi_{ZW}(t_1, t_2) = E\{Z^*(t_1)W(t_2)\}$$



# Kreuzkorrelationsfunktion (1)

$$Z(t) = X(t) + jY(t)$$

$$W(t) = U(t) + jV(t)$$

$$\begin{aligned}\varphi_{ZW}(t_1, t_2) &= E\{Z^*(t_1)W(t_2)\} \\ &= E\{[X(t_1) - jY(t_1)][U(t_2) + jV(t_2)]\}\end{aligned}$$

# Kreuzkorrelationsfunktion (1)

$$Z(t) = X(t) + jY(t)$$

$$W(t) = U(t) + jV(t)$$

$$\begin{aligned}\varphi_{ZW}(t_1, t_2) &= E\{Z^*(t_1)W(t_2)\} \\ &= E\{[X(t_1) - jY(t_1)][U(t_2) + jV(t_2)]\} \\ &= \varphi_{XU}(t_1, t_2) + \varphi_{YV}(t_1, t_2) \dots \\ &\quad \dots + j[\varphi_{XV}(t_1, t_2) - \varphi_{YU}(t_1, t_2)]\end{aligned}$$

# Kreuzkorrelationsfunktion (2)

---

Falls  $Z(t)$  und  $W(t)$  gemeinsam stationär sind →

## Kreuzkorrelationsfunktion (2)

Falls  $Z(t)$  und  $W(t)$  gemeinsam stationär sind →

$$\varphi_{ZW}(t_1, t_2) = \varphi_{ZW}(\tau) = E\{Z^*(t)W(t + \tau)\}$$

$$\tau = t_2 - t_1$$

## Kreuzkorrelationsfunktion (2)

Falls  $Z(t)$  und  $W(t)$  gemeinsam stationär sind →

$$\varphi_{ZW}(t_1, t_2) = \varphi_{ZW}(\tau) = E\{Z^*(t)W(t + \tau)\}$$

$$\tau = t_2 - t_1$$

$$\varphi_{ZW}^*(\tau) = E\{Z(t)W^*(t + \tau)\}$$

## Kreuzkorrelationsfunktion (2)

Falls  $Z(t)$  und  $W(t)$  gemeinsam stationär sind →

$$\varphi_{ZW}(t_1, t_2) = \varphi_{ZW}(\tau) = E\{Z^*(t)W(t + \tau)\}$$

$$\tau = t_2 - t_1$$

$$\begin{aligned}\varphi_{ZW}^*(\tau) &= E\{Z(t)W^*(t + \tau)\} \\ &= E\{Z(t' - \tau)W^*(t')\} \quad \text{mit } t' = t + \tau\end{aligned}$$

## Kreuzkorrelationsfunktion (2)

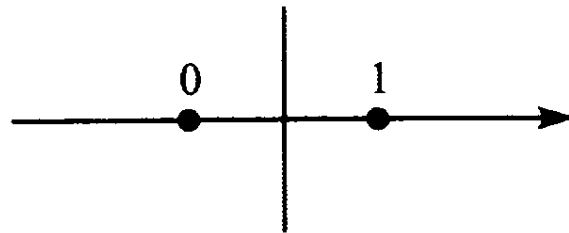
Falls  $Z(t)$  und  $W(t)$  gemeinsam stationär sind  $\rightarrow$

$$\varphi_{ZW}(t_1, t_2) = \varphi_{ZW}(\tau) = E\{Z^*(t)W(t + \tau)\}$$

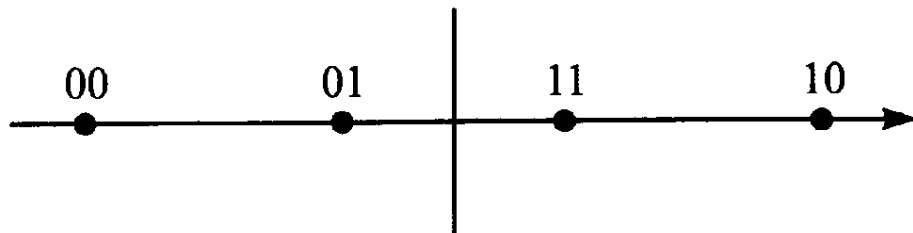
$$\tau = t_2 - t_1$$

$$\begin{aligned}\varphi_{ZW}^*(\tau) &= E\{Z(t)W^*(t + \tau)\} \\ &= E\{Z(t' - \tau)W^*(t')\} \quad \text{mit } t' = t + \tau \\ &= E\{W^*(t')Z(t' - \tau)\} \\ &= \varphi_{WZ}(-\tau)\end{aligned}$$

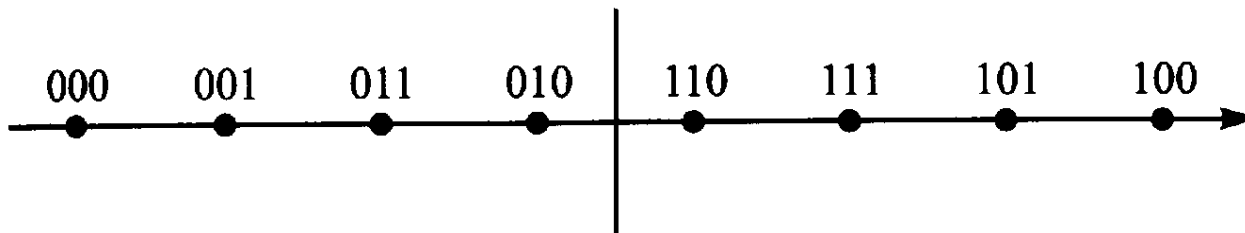
# Signalraumdiagramme für digitale PAM Signale



(a)  $M = 2$



(b)  $M = 4$



(c)  $M = 8$

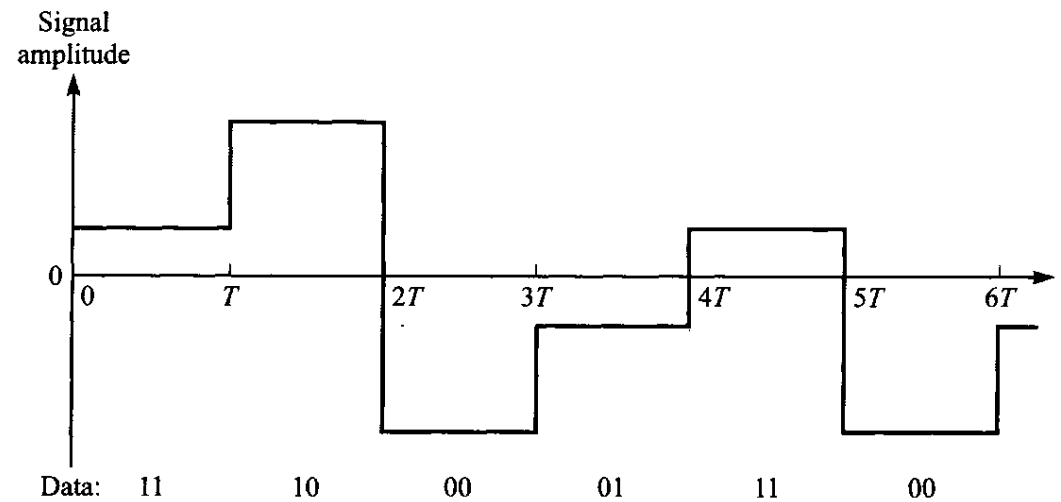
**FIGURE 4.3–1**

Signal space diagram for digital PAM signals.

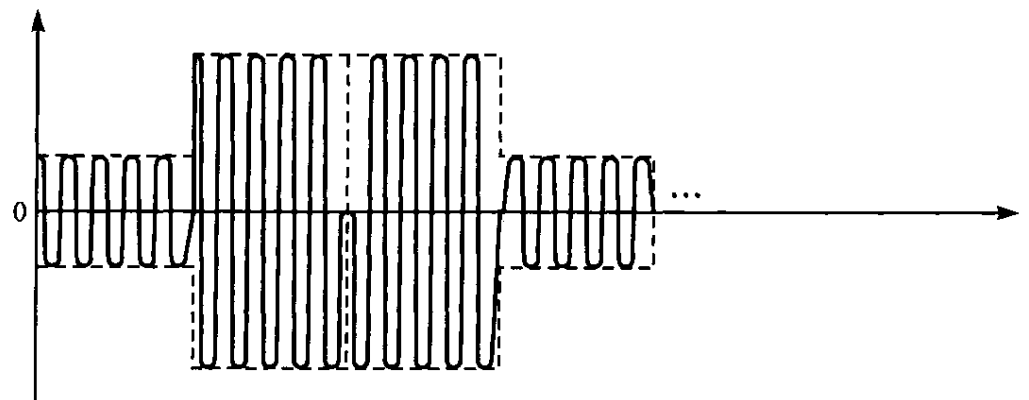
Quelle: J. G. Proakis, *Digital Communications*, McGraw-Hill, 4th edition, 2000.



# Basisband und Bandpass PAM Signale



(a) Baseband PAM signal

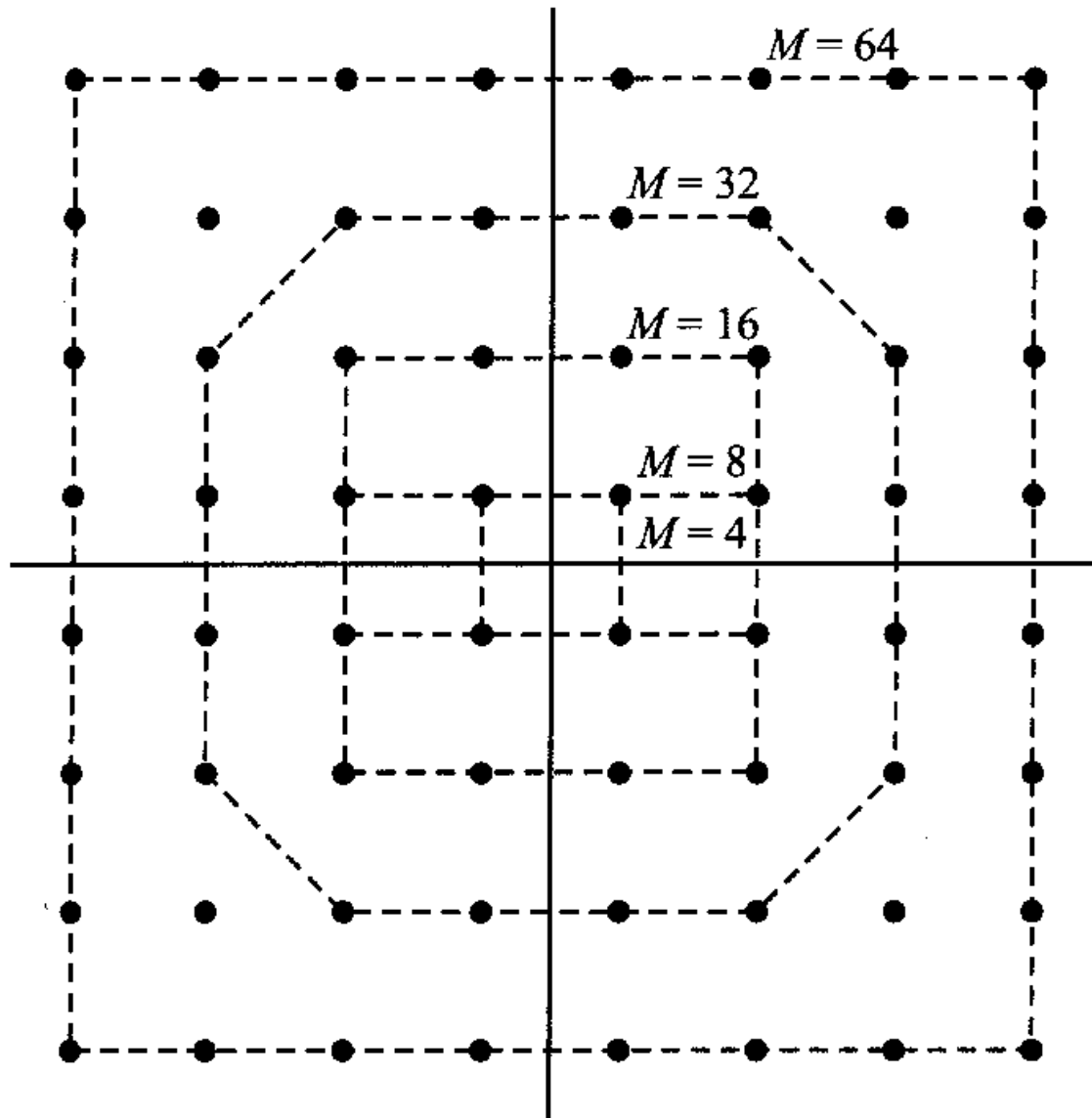


(b) Bandpass PAM signal

**FIGURE 4.3-2**  
Baseband and band-pass PAM signals.

Quelle: J. G. Proakis, *Digital Communications*, McGraw-Hill, 4th edition, 2000.

# Signalraumdiagramme für QAM

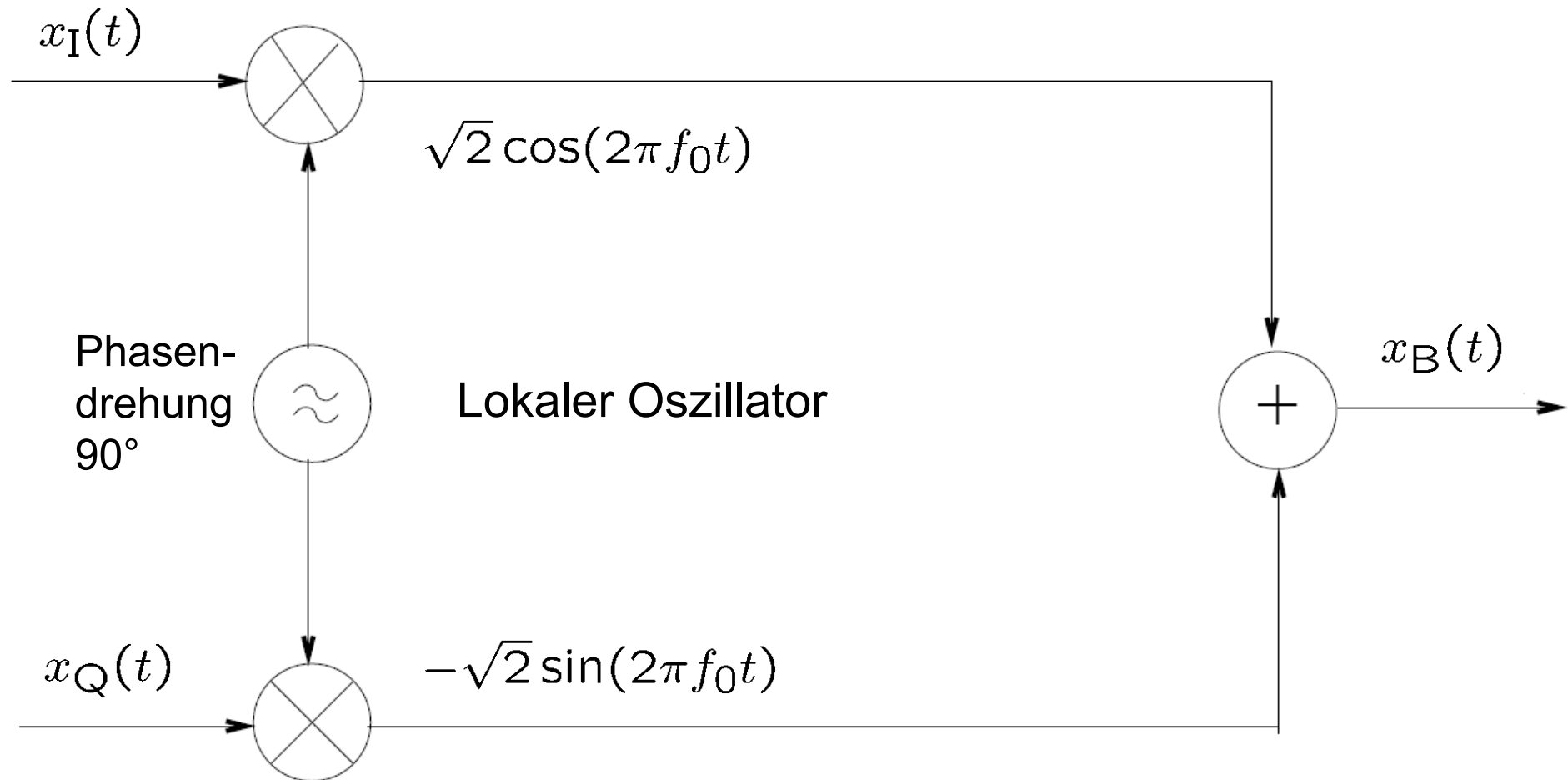


**FIGURE 4.3–5**

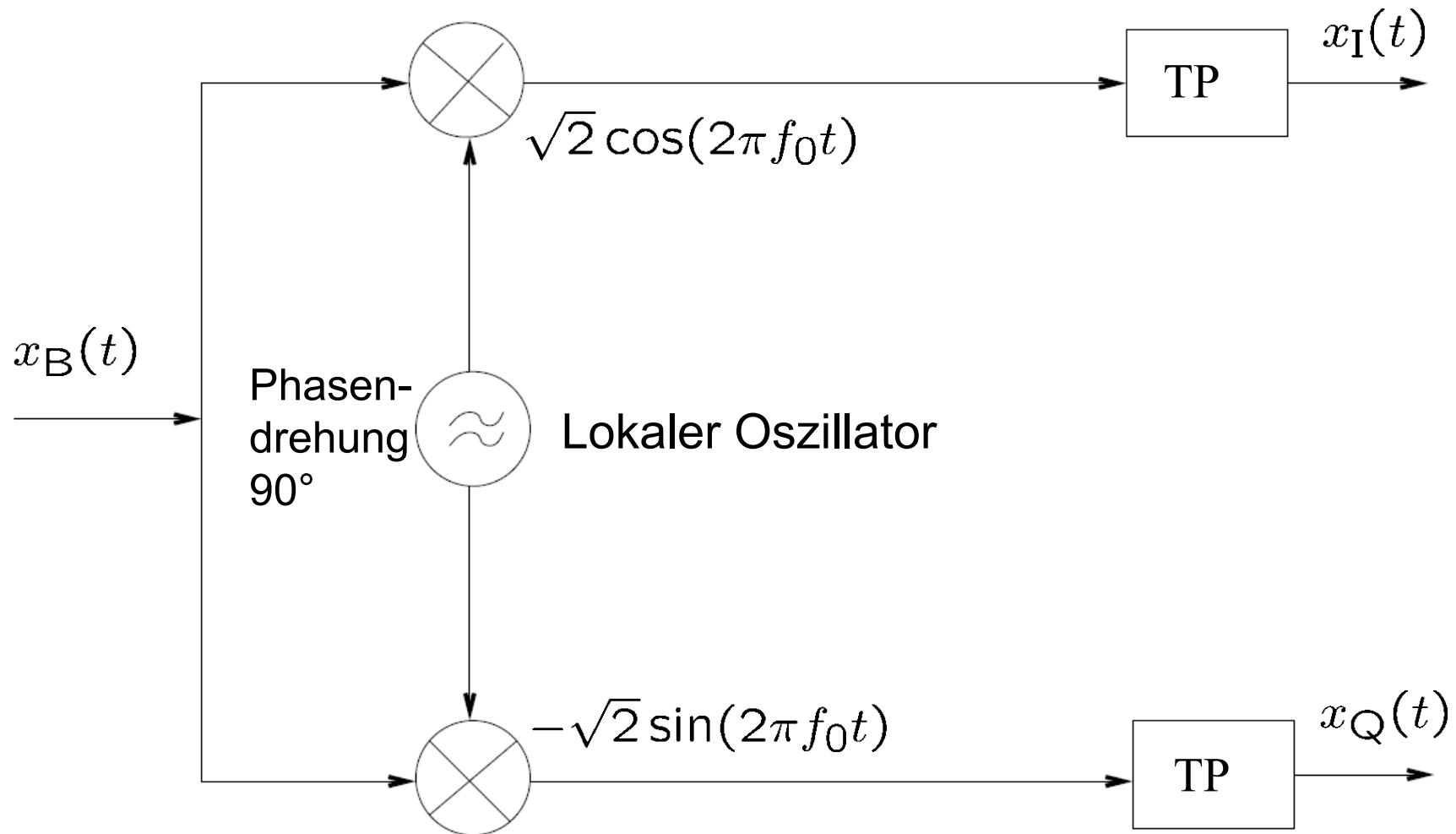
Several signal space diagrams for rectangular QAM.

Quelle: J. G. Proakis, *Digital Communications*, McGraw-Hill, 4th edition, 2000.

# Quadraturmodulator

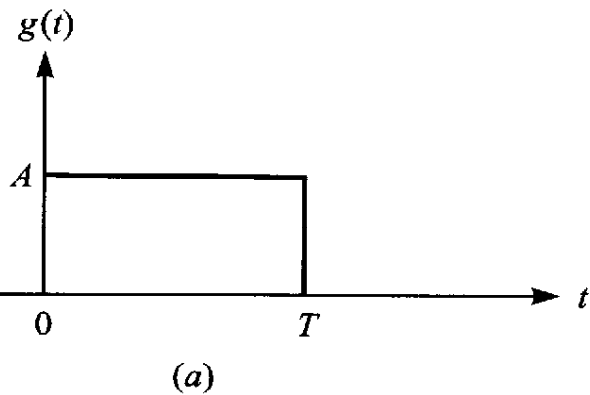


# Quadraturdemodulator



# 9.5 Spektrale Leistungsdichte linear modulierter Signale

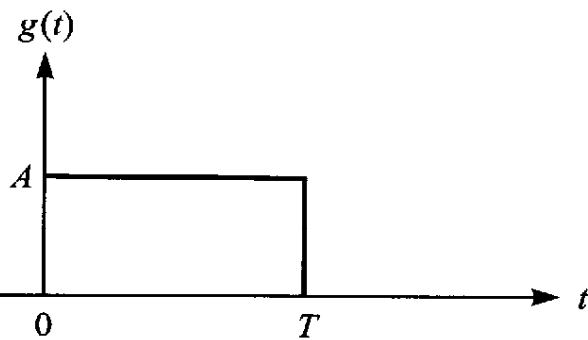
# Rechteckimpuls und dessen spektrale Energiedichte



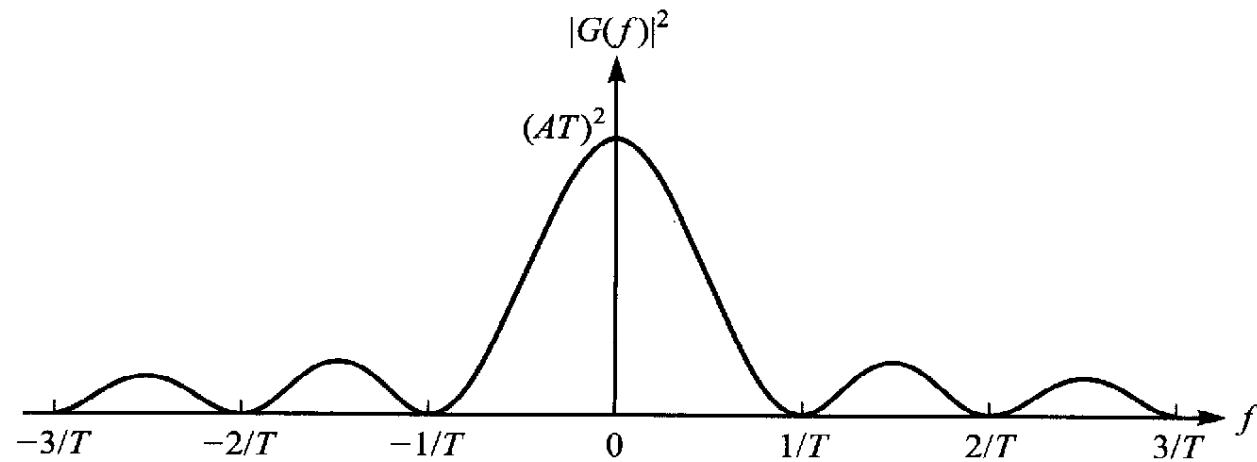
**FIGURE 4.4–1**  
Rectangular pulse and its energy density spectrum  $|G(f)|^2$ .

*Quelle: John G. Proakis, "Digital Communications", 2001.*

# Rechteckimpuls und dessen spektrale Energiedichte



(a)

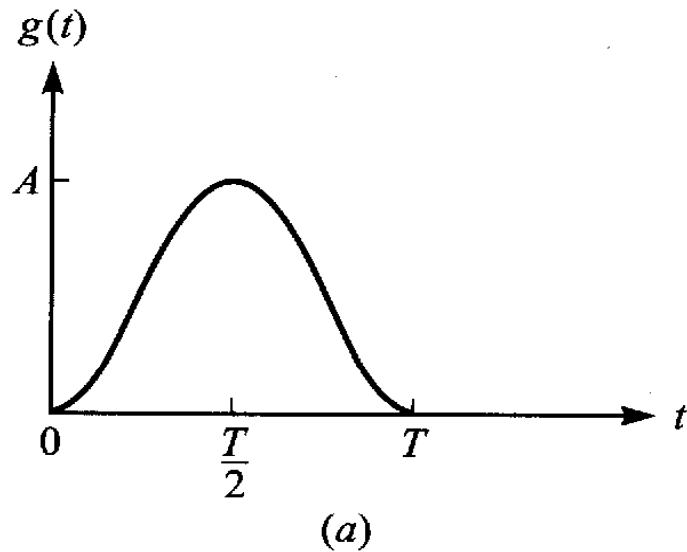


(b)

**FIGURE 4.4-1**  
Rectangular pulse and its energy density spectrum  $|G(f)|^2$ .

Quelle: John G. Proakis, "Digital Communications", 2001.

# Kosinus-Roll-Off-Impuls ( $\beta = 1$ ) im Zeitbereich und dessen spektrale Energiedichte

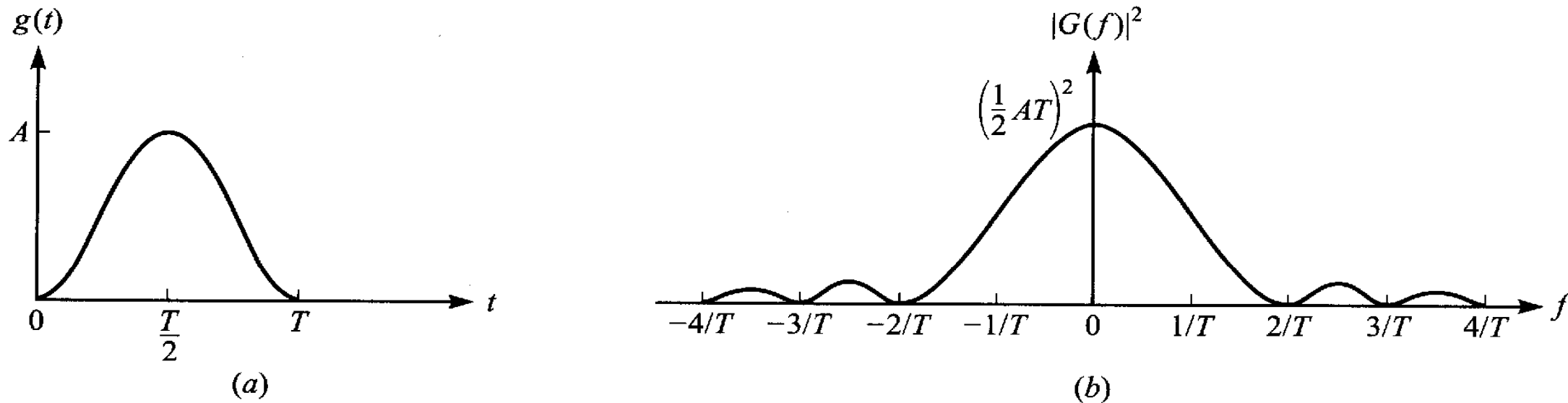


**FIGURE 4.4–2**  
Raised cosine pulse and its energy density spectrum  $|G(f)|^2$ .

*Quelle: John G. Proakis, "Digital Communications", 2001.*



# Kosinus-Roll-Off-Impuls ( $\beta = 1$ ) im Zeitbereich und dessen spektrale Energiedichte

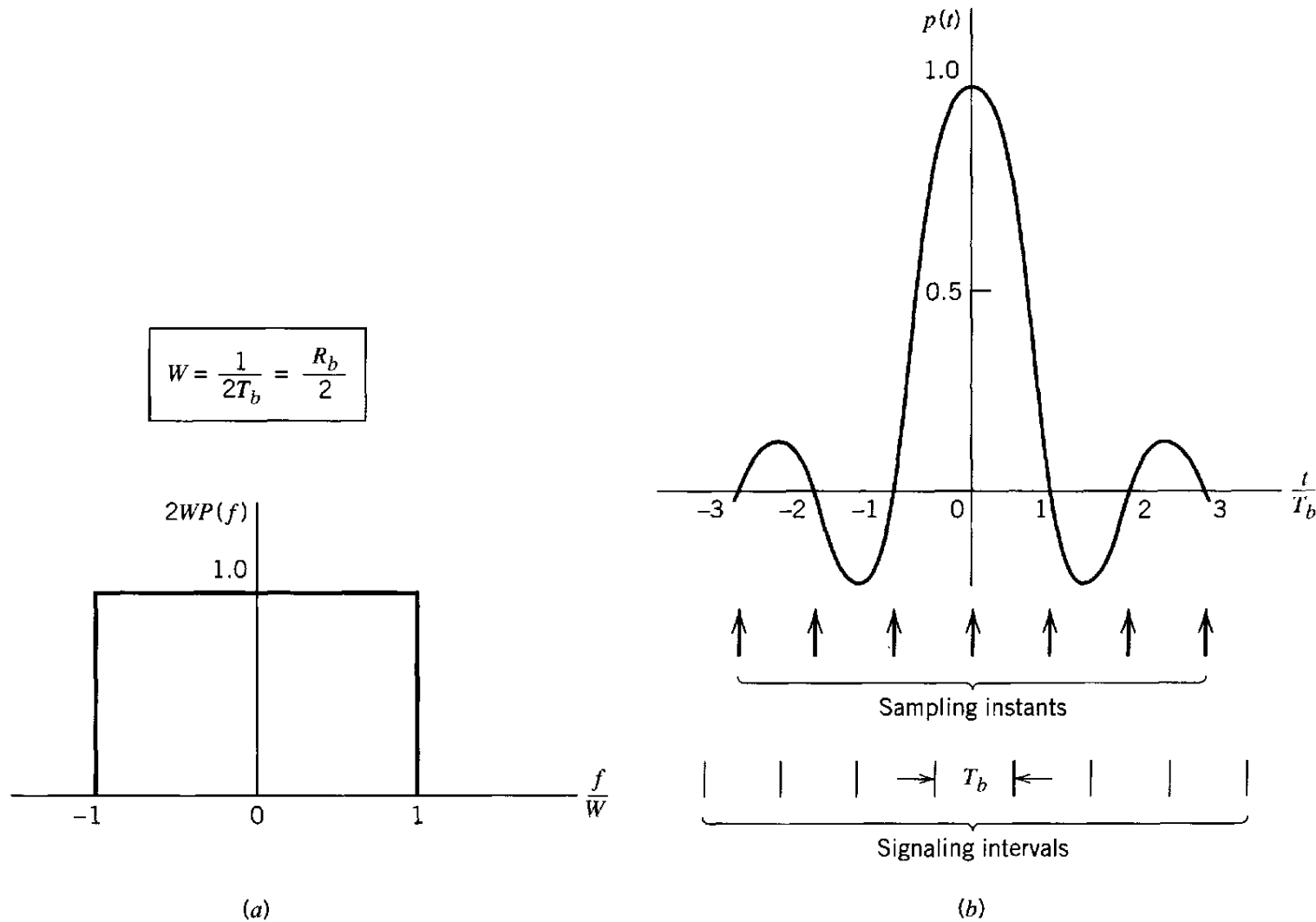


**FIGURE 4.4-2**  
Raised cosine pulse and its energy density spectrum  $|G(f)|^2$ .

*Quelle: John G. Proakis, "Digital Communications", 2001.*

# 10. Nachrichtenübertragung über Kanäle mit additiven Rauschstörungen

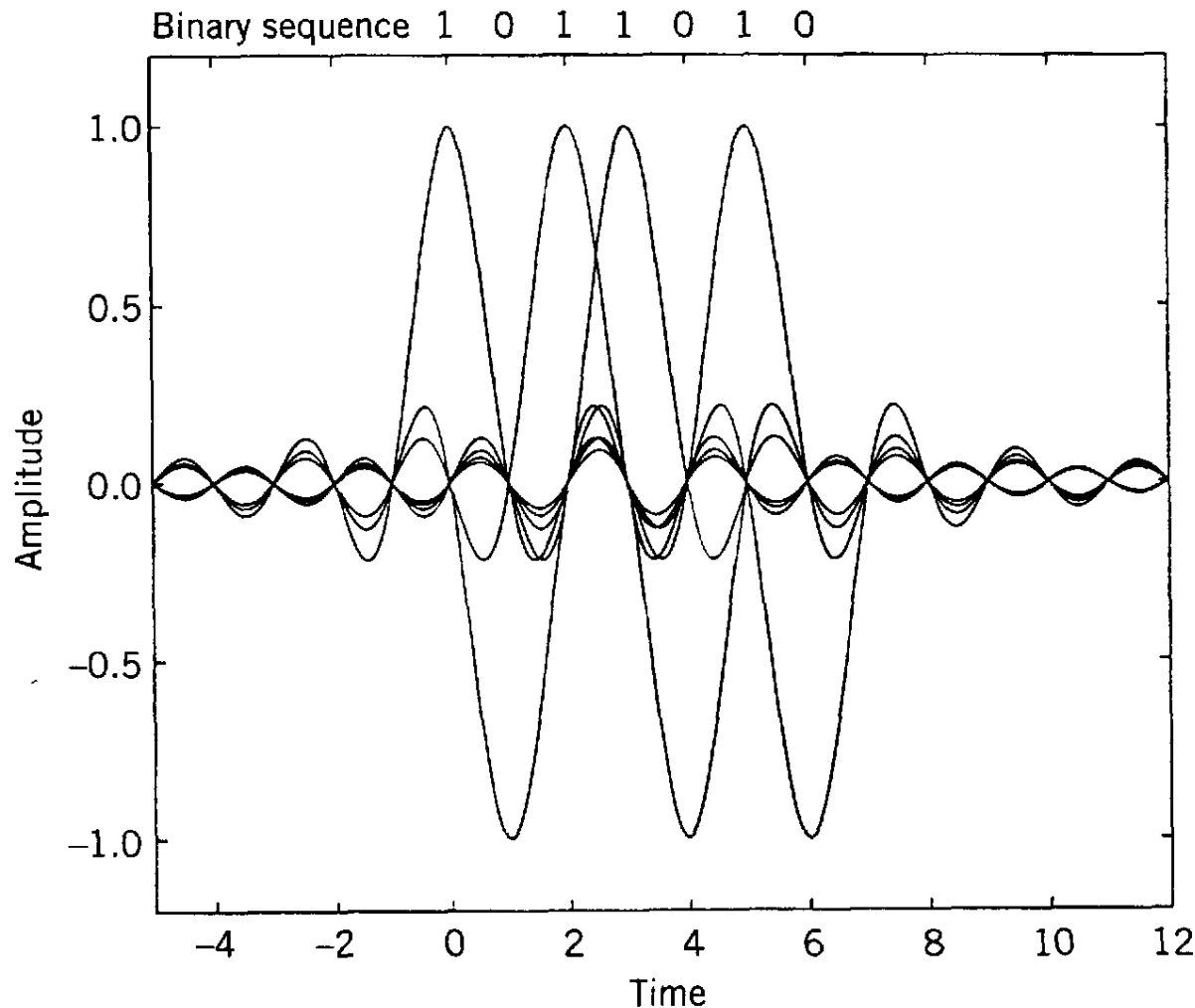
# 1. Nyquist-Bedingung: ISI-Freiheit in benachbarten Abtastzeitpunkten (1)



**FIGURE 4.8** (a) Ideal magnitude response. (b) Ideal basic pulse shape.

Quelle: S. Haykin,  
"Communication Systems,  
Wiley, 2000.

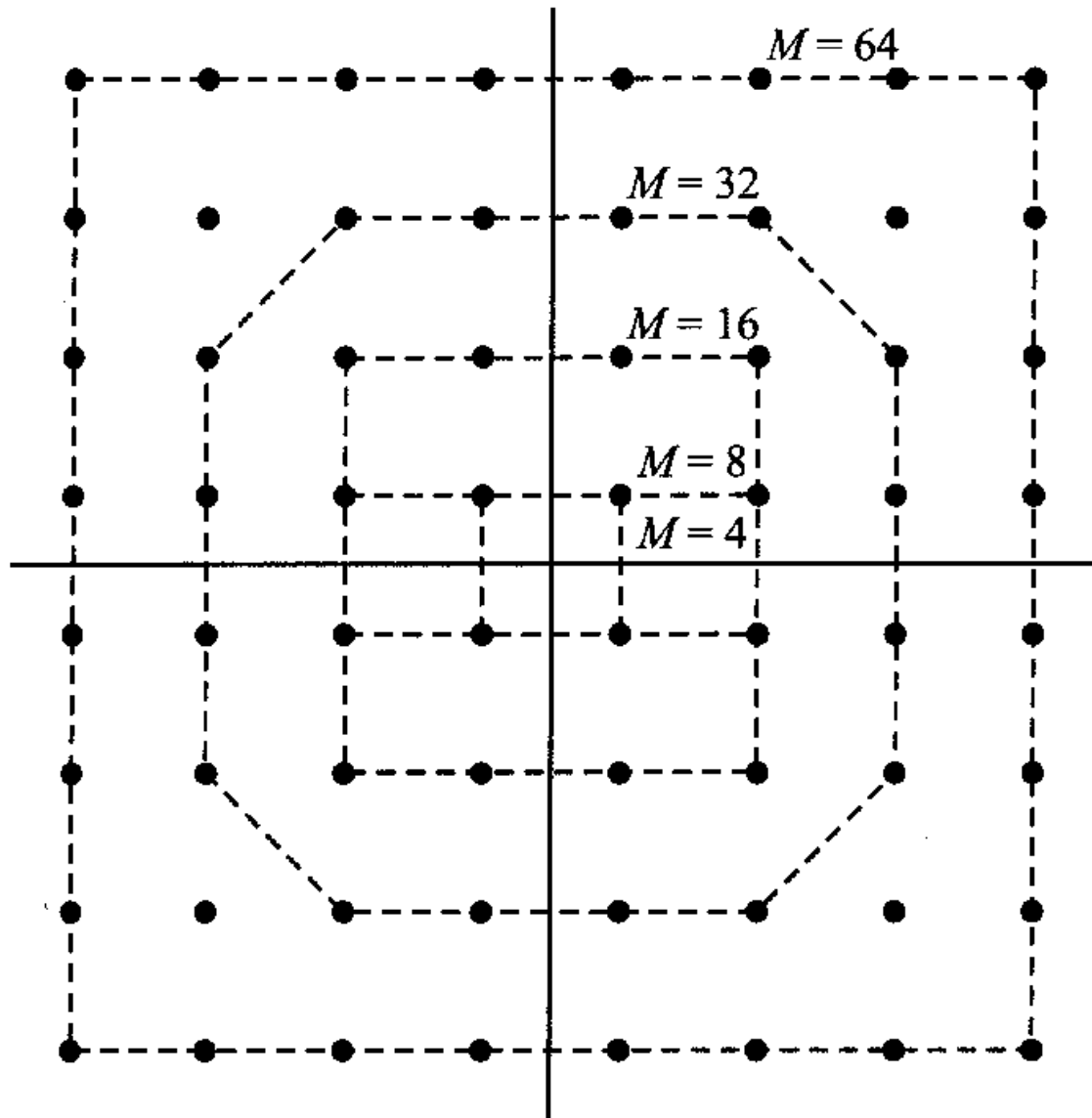
# 1. Nyquist-Bedingung: ISI-Freiheit in benachbarten Abtastzeitpunkten (2)



Quelle: S. Haykin,  
"Communication Systems,"  
Wiley, 2000.

**FIGURE 4.9** A series of sinc pulses corresponding to the sequence 1011010.

# Signalraumdiagramme für QAM

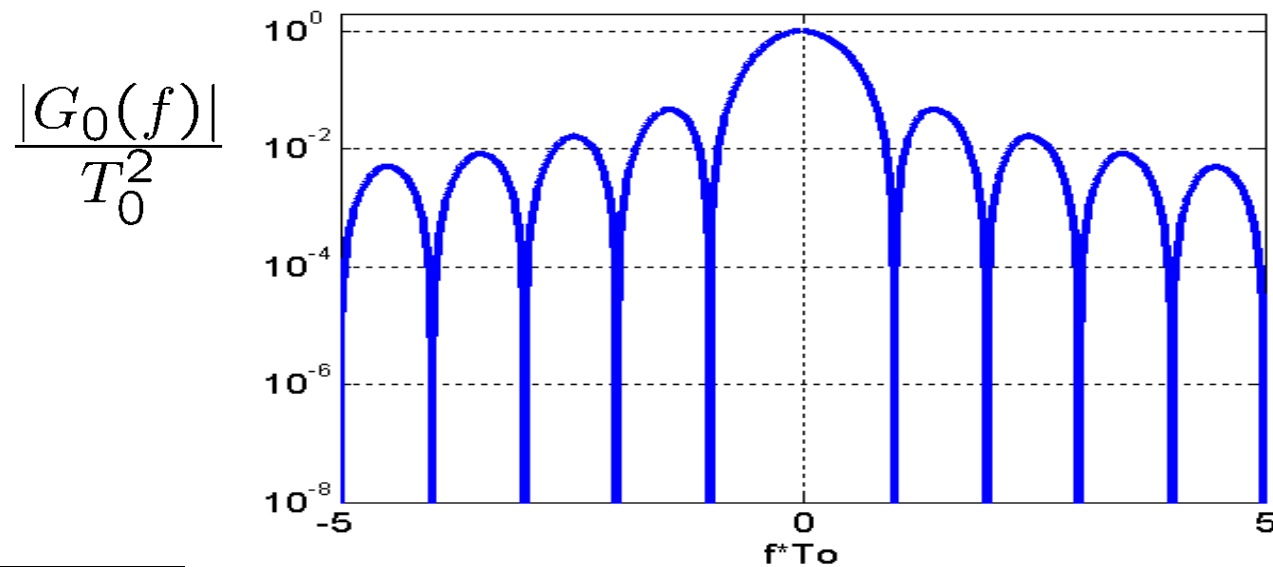
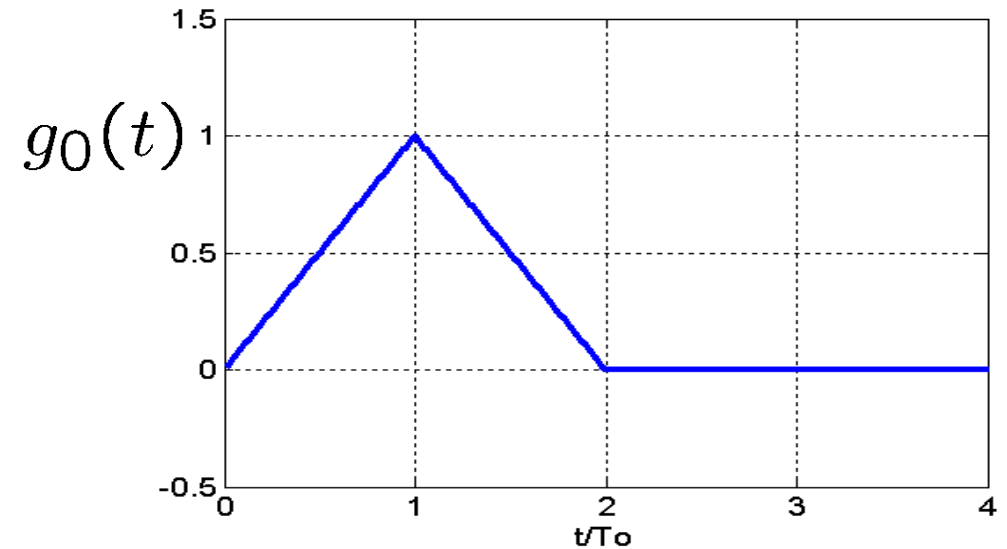
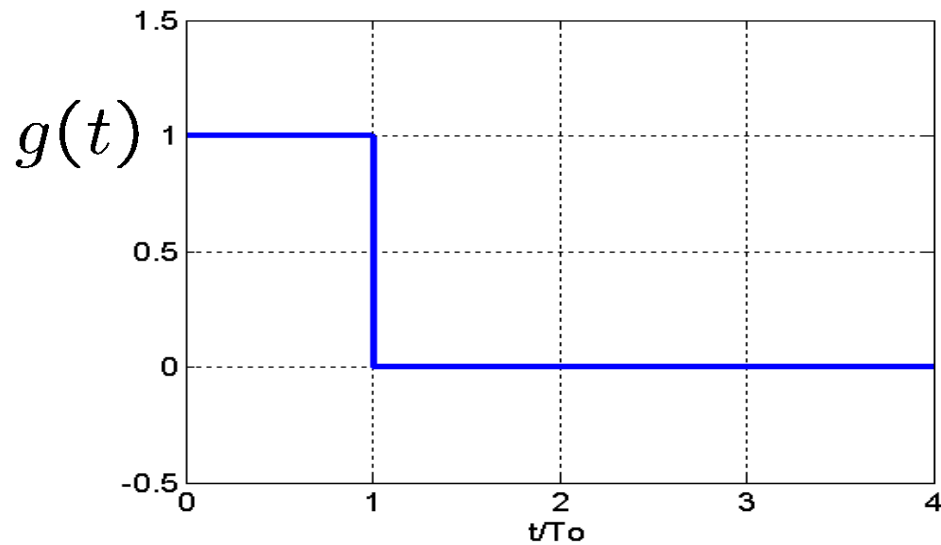


**FIGURE 4.3–5**

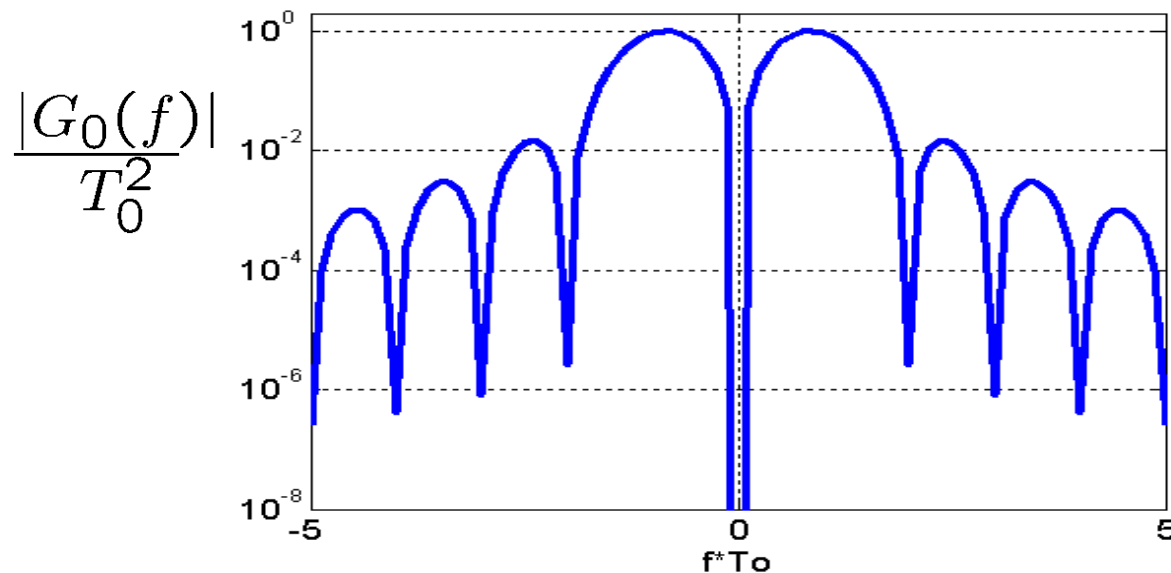
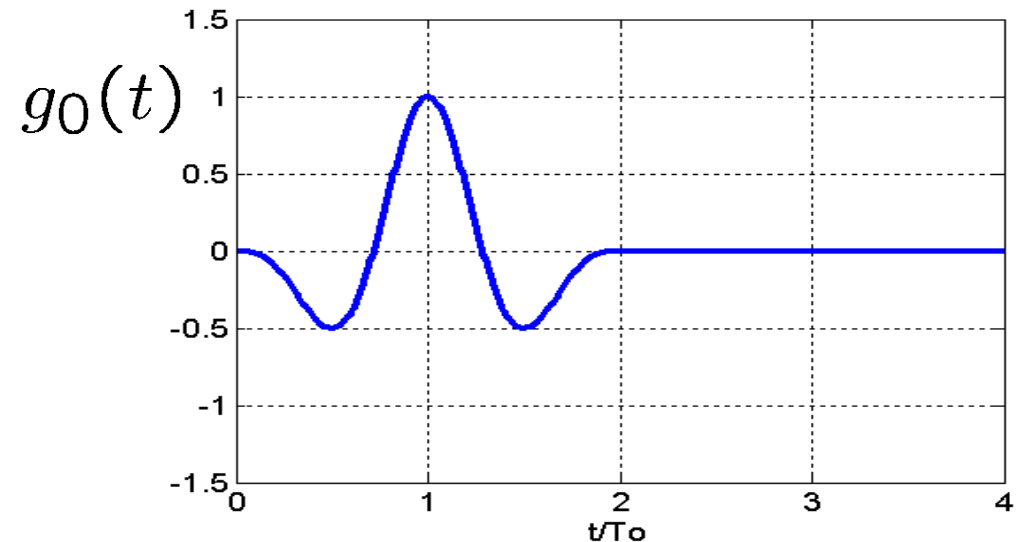
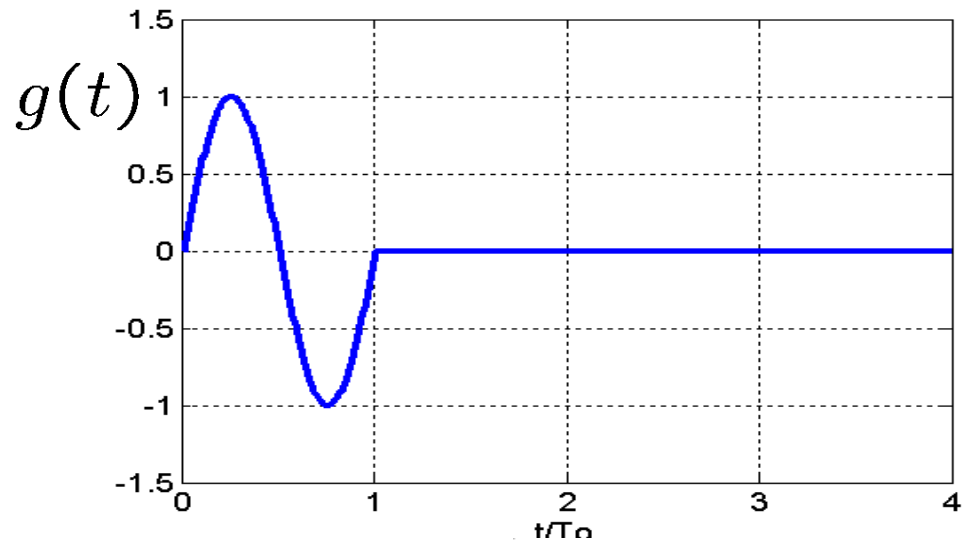
Several signal space diagrams for rectangular QAM.

Quelle: J. G. Proakis, *Digital Communications*, McGraw-Hill, 4th edition, 2000.

# Rechteckimpuls $g(t)$



# Zeitbegrenzter Sinusimpuls $g(t)$



# Kosinus-Roll-Off-Filter

- Werden in der Praxis oft zur Impulsformung eingesetzt
  - Wurzel-Kosinus-roll-off Charakteristiken (root raised cosine) für Sende- und Empfangsfilter
- $\beta$ ...roll-off-Faktor
- $\beta \cdot 100\%$ ...excess bandwidth (zusätzliche Bandbreite gegenüber idealem Tiefpaß)

## Nichtkausale Formulierung:

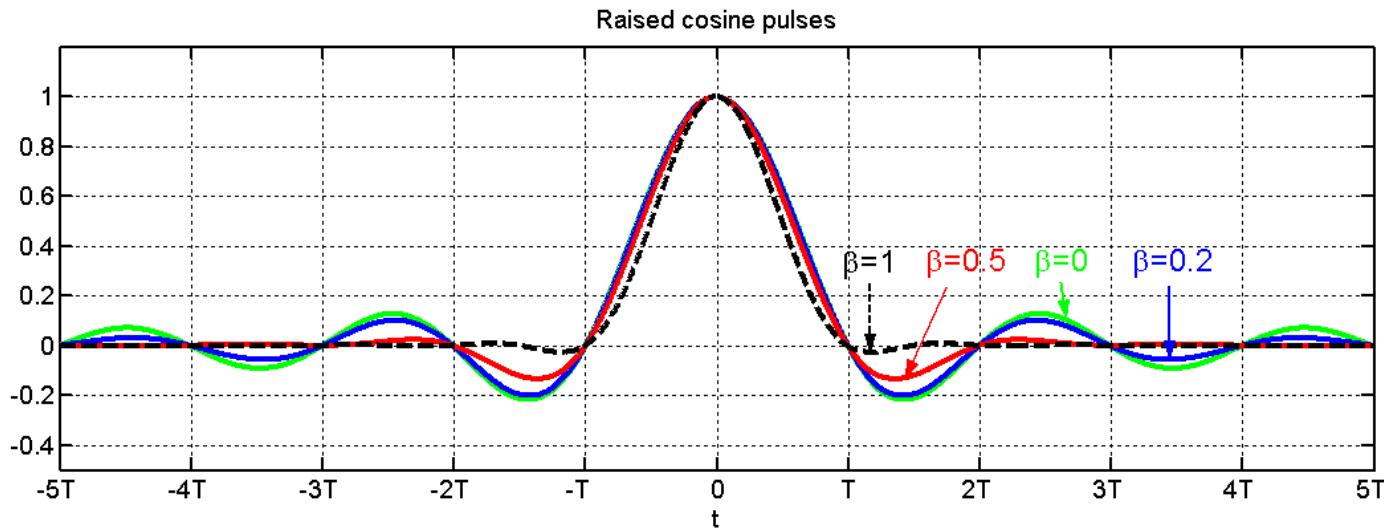
$$G_{\text{ORC}}(f) = \begin{cases} T & , 0 \leq |f| \leq \frac{1-\beta}{2T} \\ \frac{T}{2} \left\{ 1 + \cos \left[ \frac{\pi T}{\beta} \left( |f| - \frac{1-\beta}{2T} \right) \right] \right\}, & \frac{1-\beta}{2T} < |f| < \frac{1+\beta}{2T} \\ = T \cdot \cos^2 \left[ \frac{\pi T}{2\beta} \left( |f| - \frac{1-\beta}{2T} \right) \right] & \\ 0 & , |f| \geq \frac{1+\beta}{2T} \end{cases}$$

$$g_{\text{ORC}}(t) = \frac{\sin\left(\frac{\pi t}{T}\right)}{\frac{\pi t}{T}} \cdot \frac{\cos\left(\frac{\pi \beta t}{T}\right)}{1 - \frac{4\beta^2 t^2}{T^2}}$$

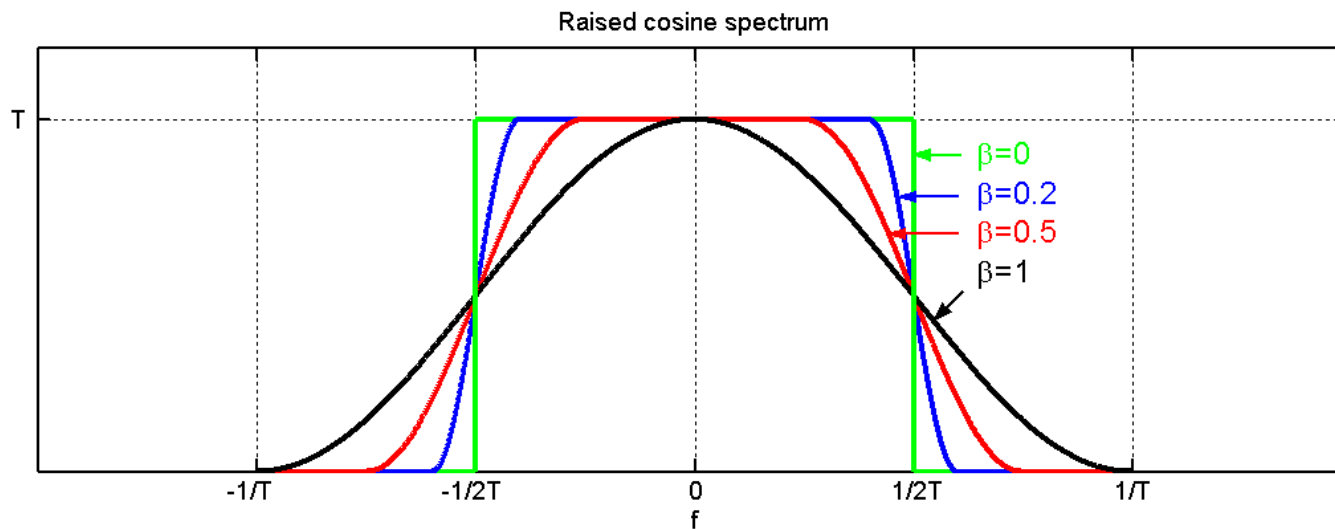


# Kosinus-Roll-Off-Impuls

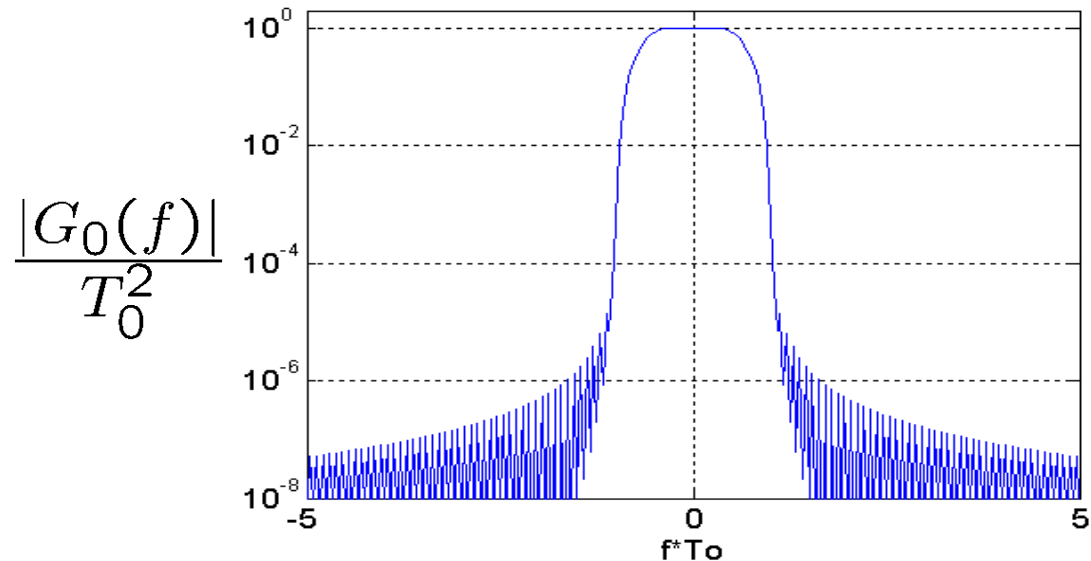
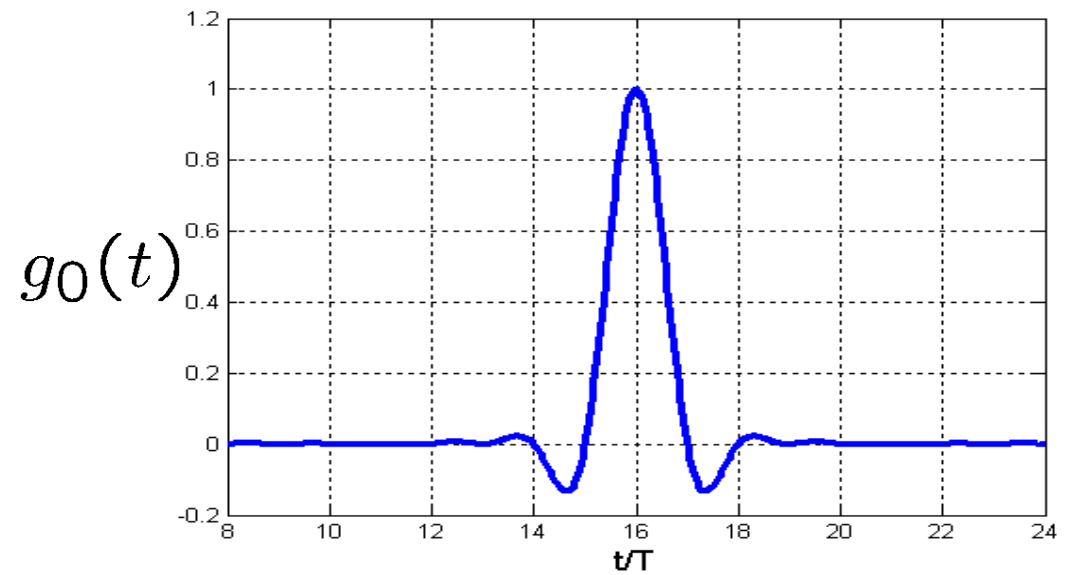
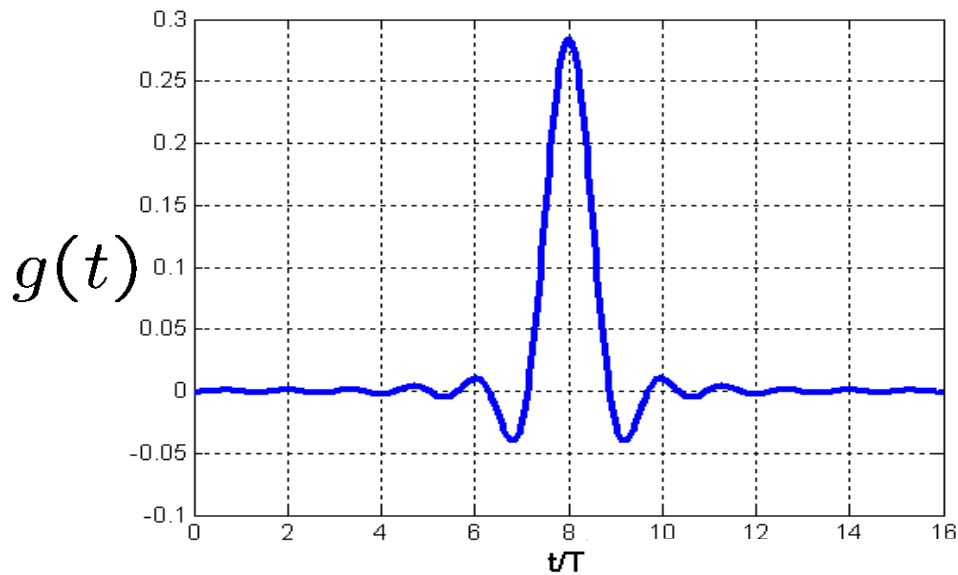
$$g_{0RC}(t)$$



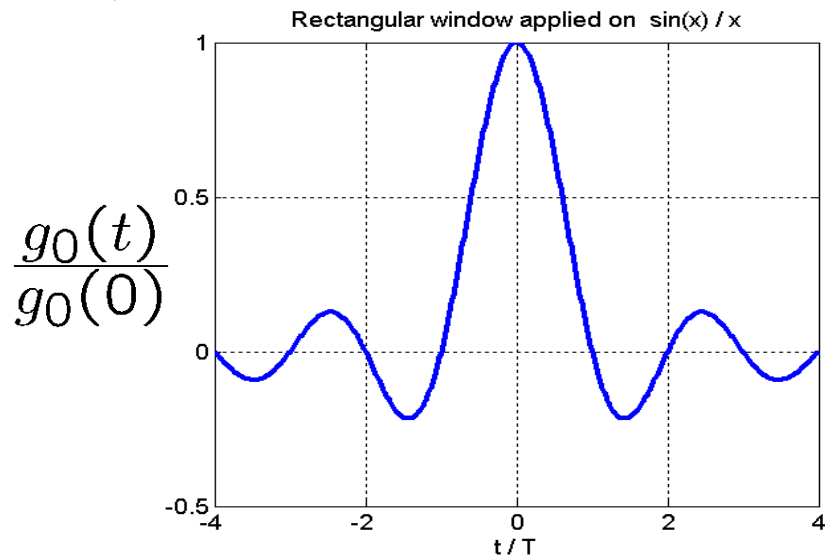
$$G_{0RC}(f)$$



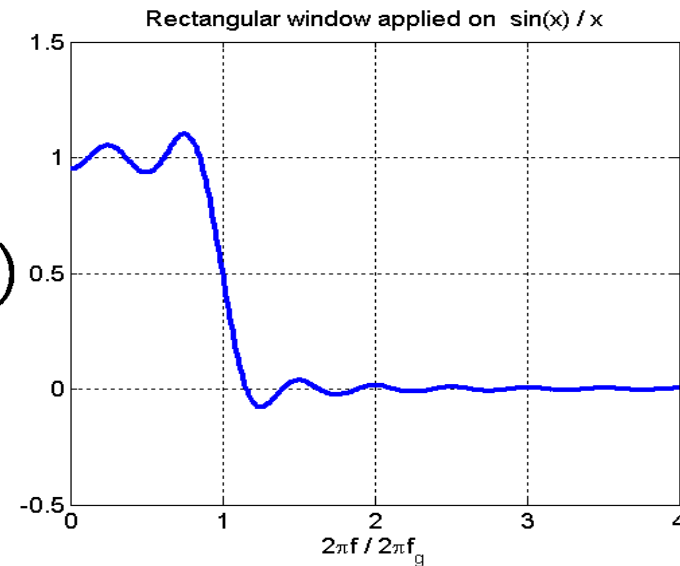
# Zeitbegrenzter Wurzel-Kosinus-Roll-Off-Impuls ( $\beta = 0.5$ )



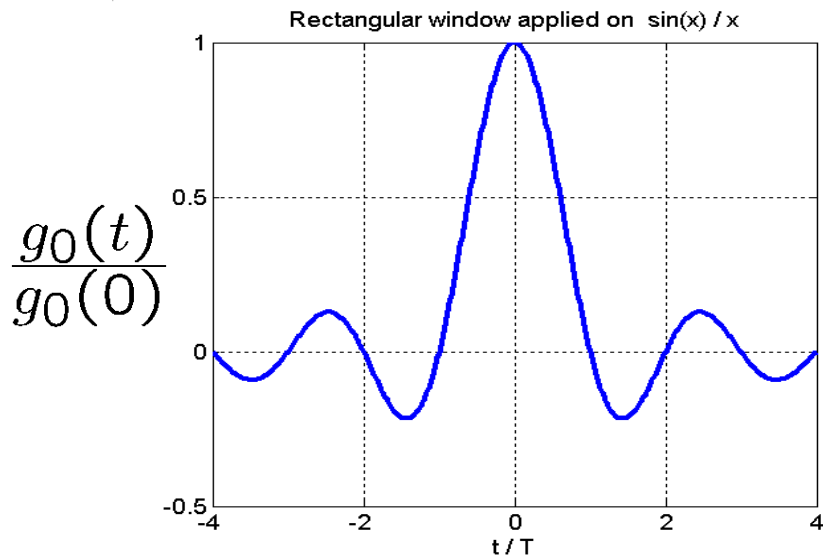
# Gefensterete Impulsantworten ( $2 t_0 = 8 T = 4 / f_g$ )



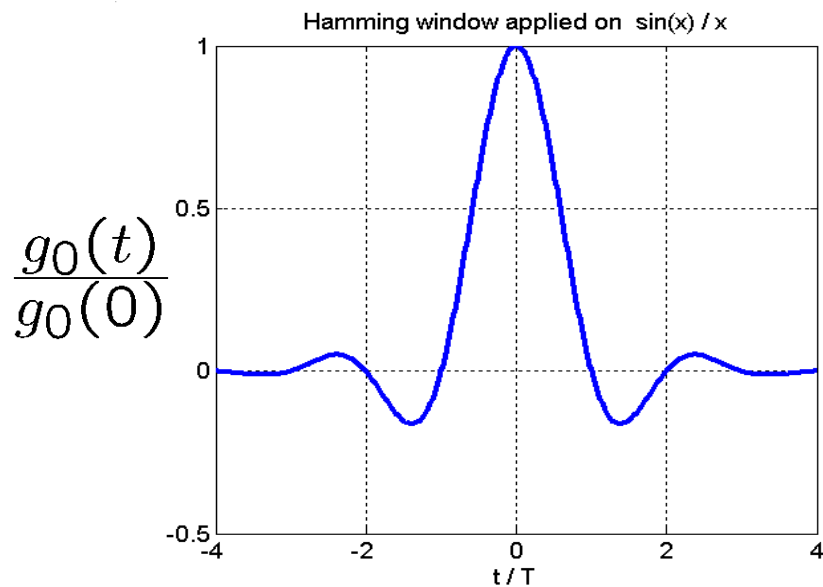
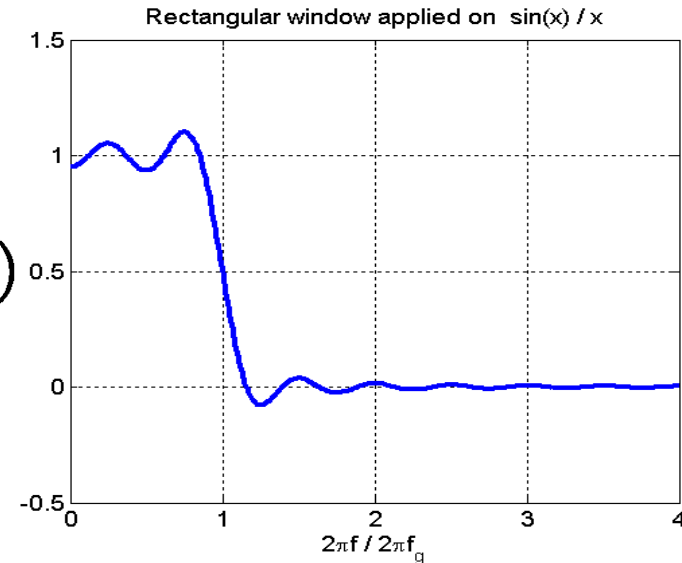
$G_0(f)$



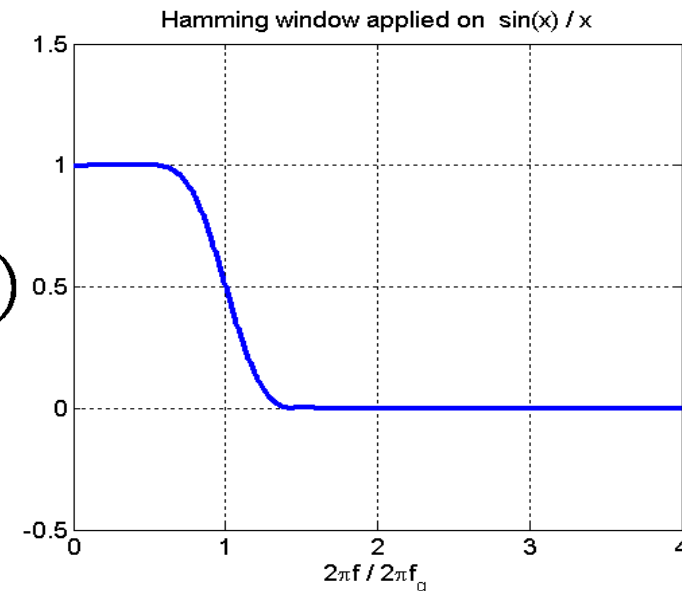
# Gefensterete Impulsantworten ( $2 t_0 = 8 T = 4 / f_g$ )



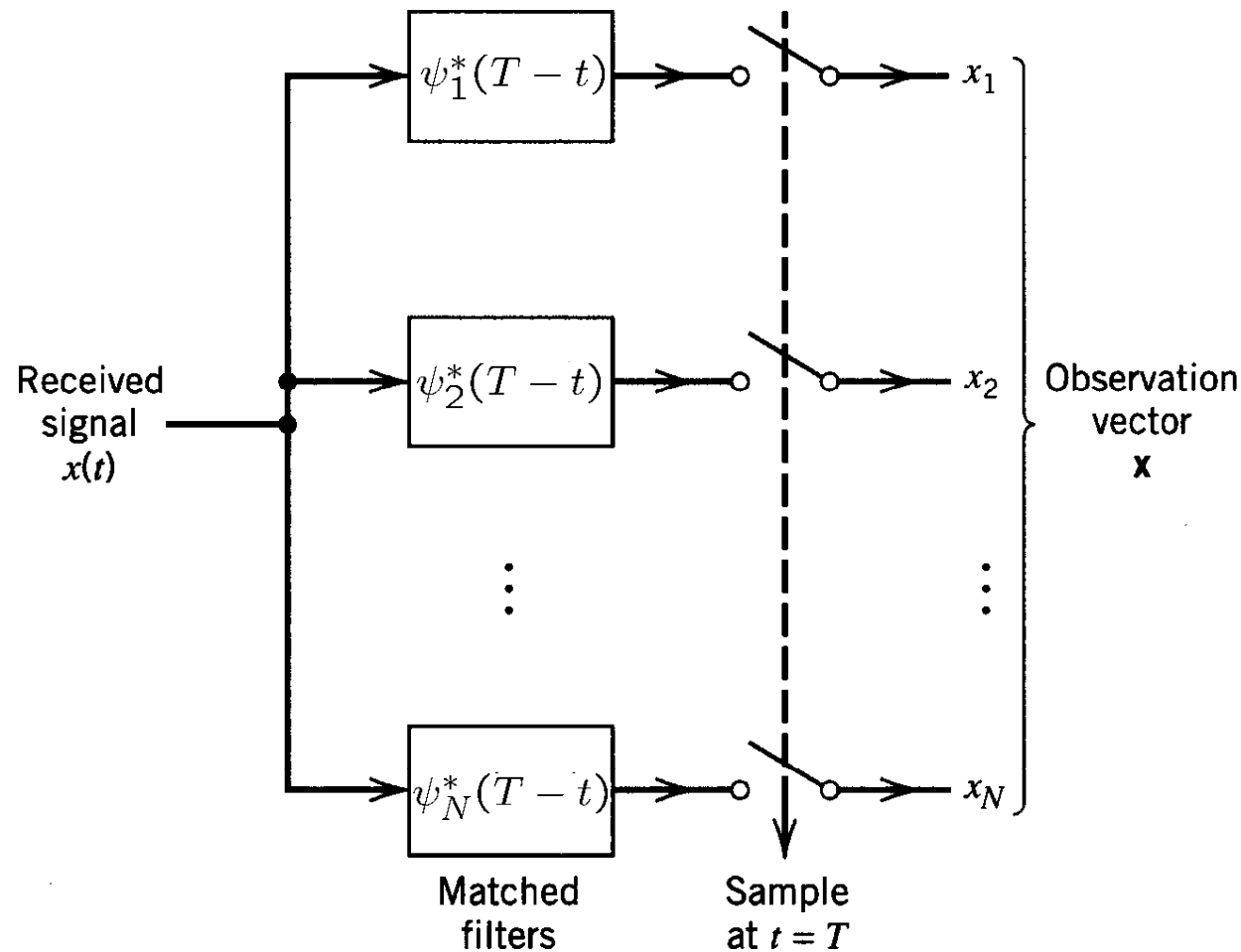
$G_0(f)$



$G_0(f)$



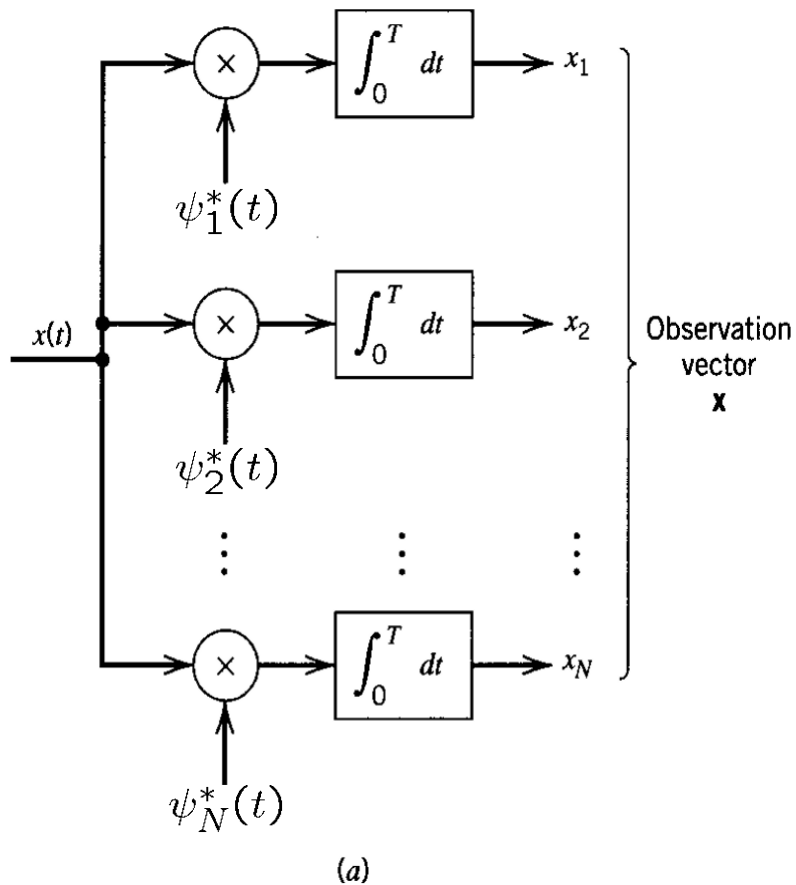
# Nachrichtenübertragung mittels orthogonaler Basisfunktionen: Implementierung des Detektors als Bank signalangepaßter Filter



**FIGURE 5.10** Detector part of matched filter receiver; the signal transmission decoder is as shown in Fig. 5.9b.

Quelle: S. Haykin, "Communication Systems," 2000.

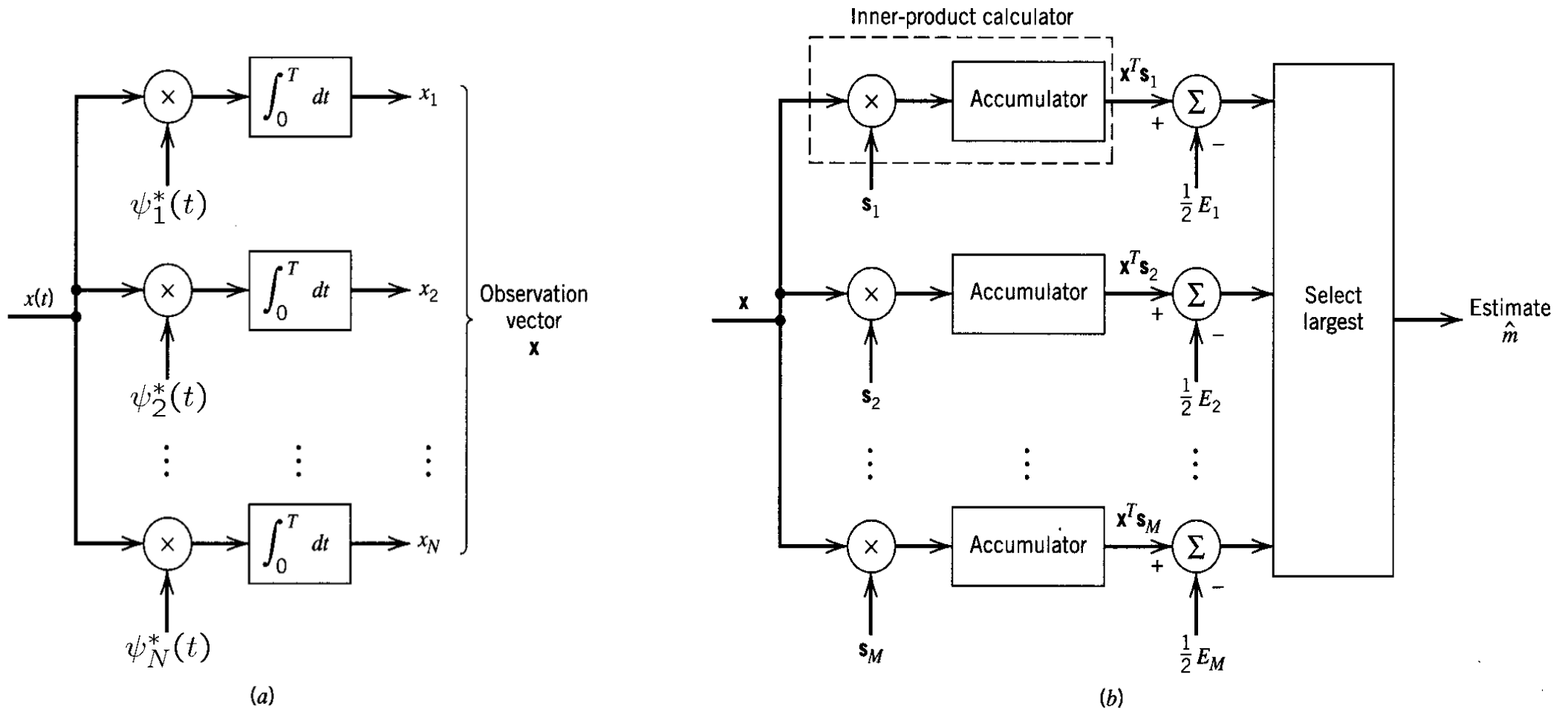
# Detektor und Decoder bei der Übertragung von Signalen im Signalraum: Nachrichtenübertragung mittels orthogonaler Signale



**FIGURE 5.9** (a) Detector or demodulator. (b) Signal transmission decoder

Quelle: S. Haykin, "Communication Systems," 2000.

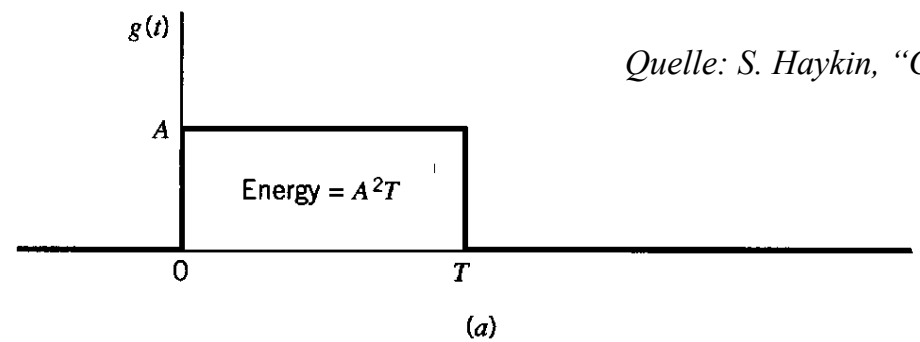
# Detektor und Decoder bei der Übertragung von Signalen im Signalraum: Nachrichtenübertragung mittels orthogonaler Signale



**FIGURE 5.9** (a) Detector or demodulator. (b) Signal transmission decoder

Quelle: S. Haykin, "Communication Systems," 2000.

# Matched Filter vs. Integrate-and-Dump Empfänger



**FIGURE 4.2** (a) Rectangular pulse. (b) Matched filter output. (c) Integrator output.



# Matched Filter vs. Integrate-and-Dump Empfänger

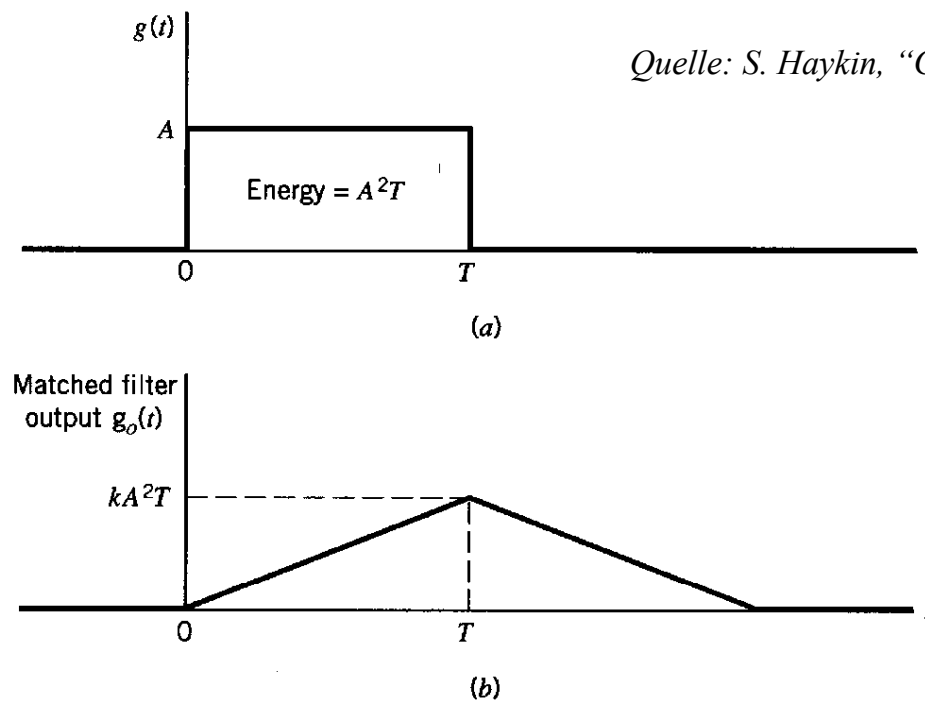


FIGURE 4.2 (a) Rectangular pulse. (b) Matched filter output. (c) Integrator output.

# Matched Filter vs. Integrate-and-Dump Empfänger

Quelle: S. Haykin, "Communication Systems," 2000.

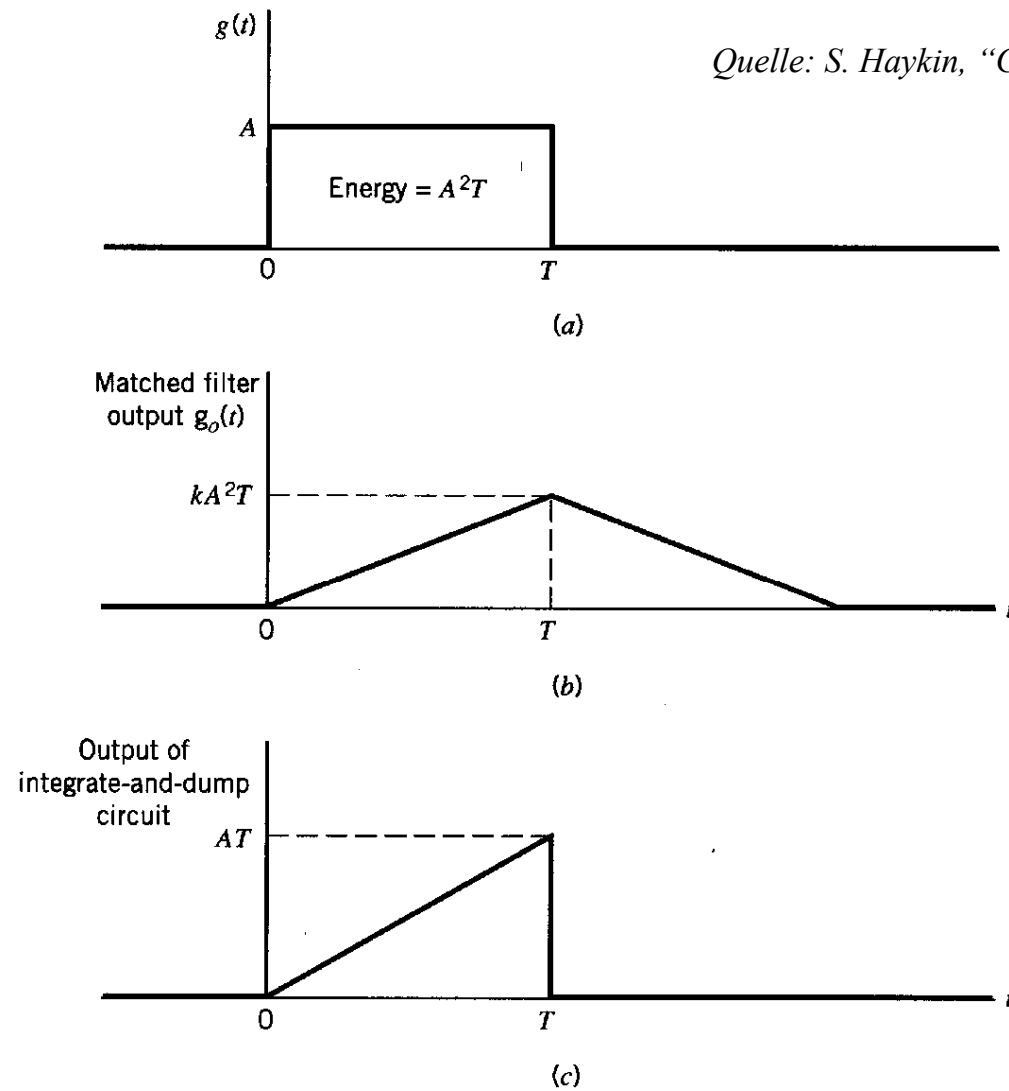
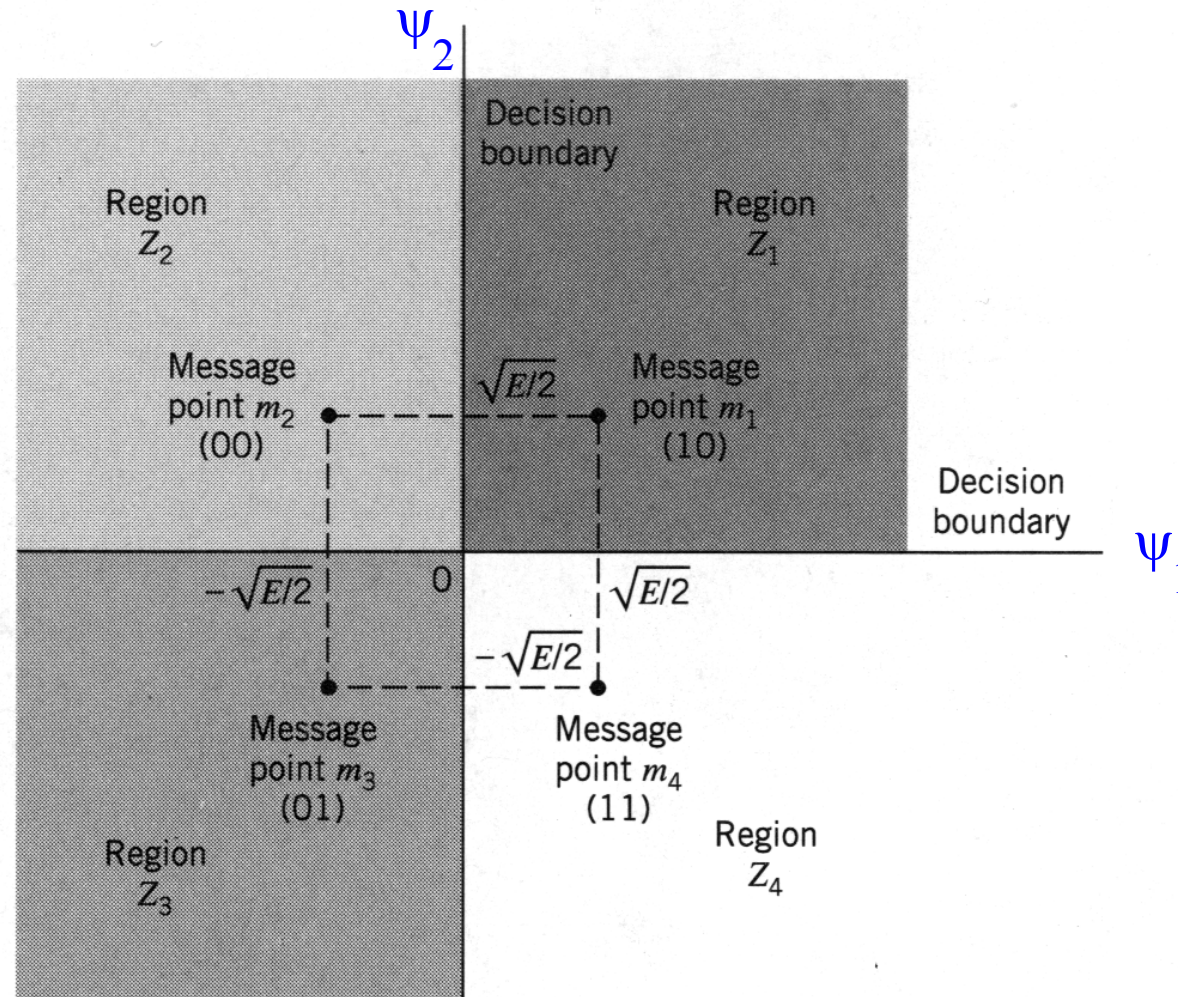


FIGURE 4.2 (a) Rectangular pulse. (b) Matched filter output. (c) Integrator output.

# Signalraum-Diagramm für kohärentes QPSK

Quelle: S. Haykin,  
"Communication  
Systems," 2000.



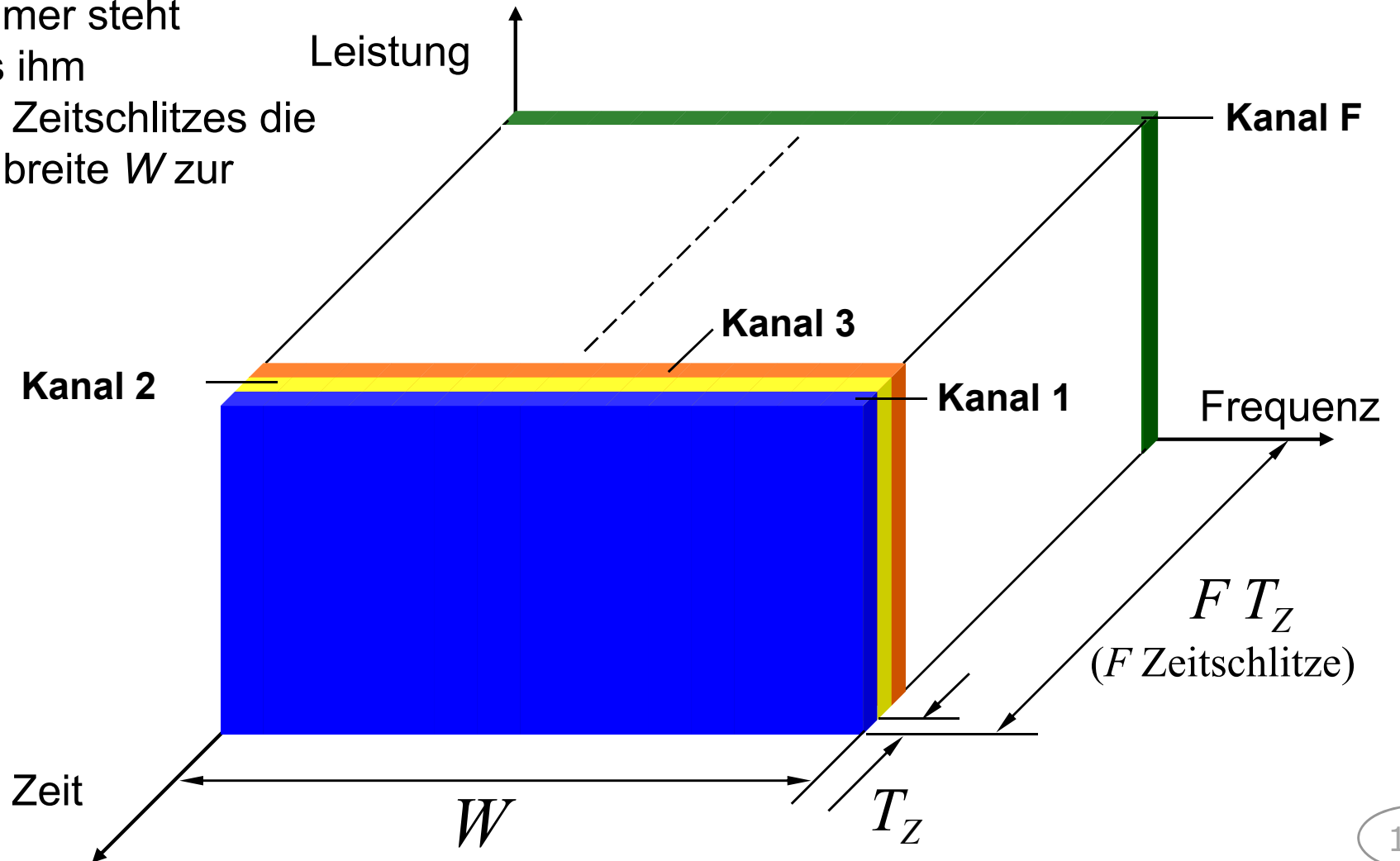
**FIGURE 6.6** Signal-space diagram of coherent QPSK system.

---

# 11. Vielfachzugriffsverfahren

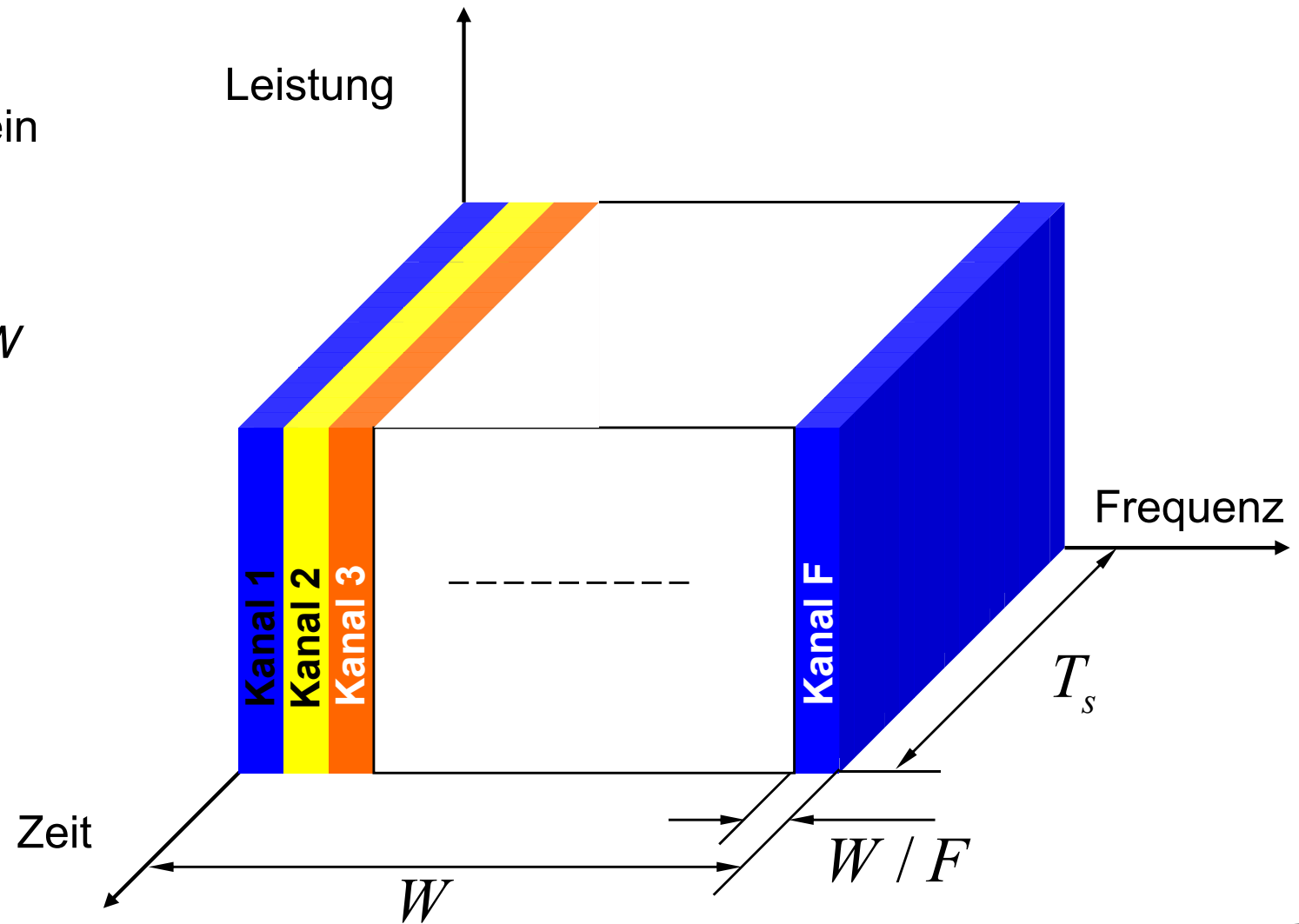
# TDMA

- Jedem Teilnehmer steht während eines ihm zugewiesenen Zeitschlitzes die gesamte Bandbreite  $W$  zur Verfügung



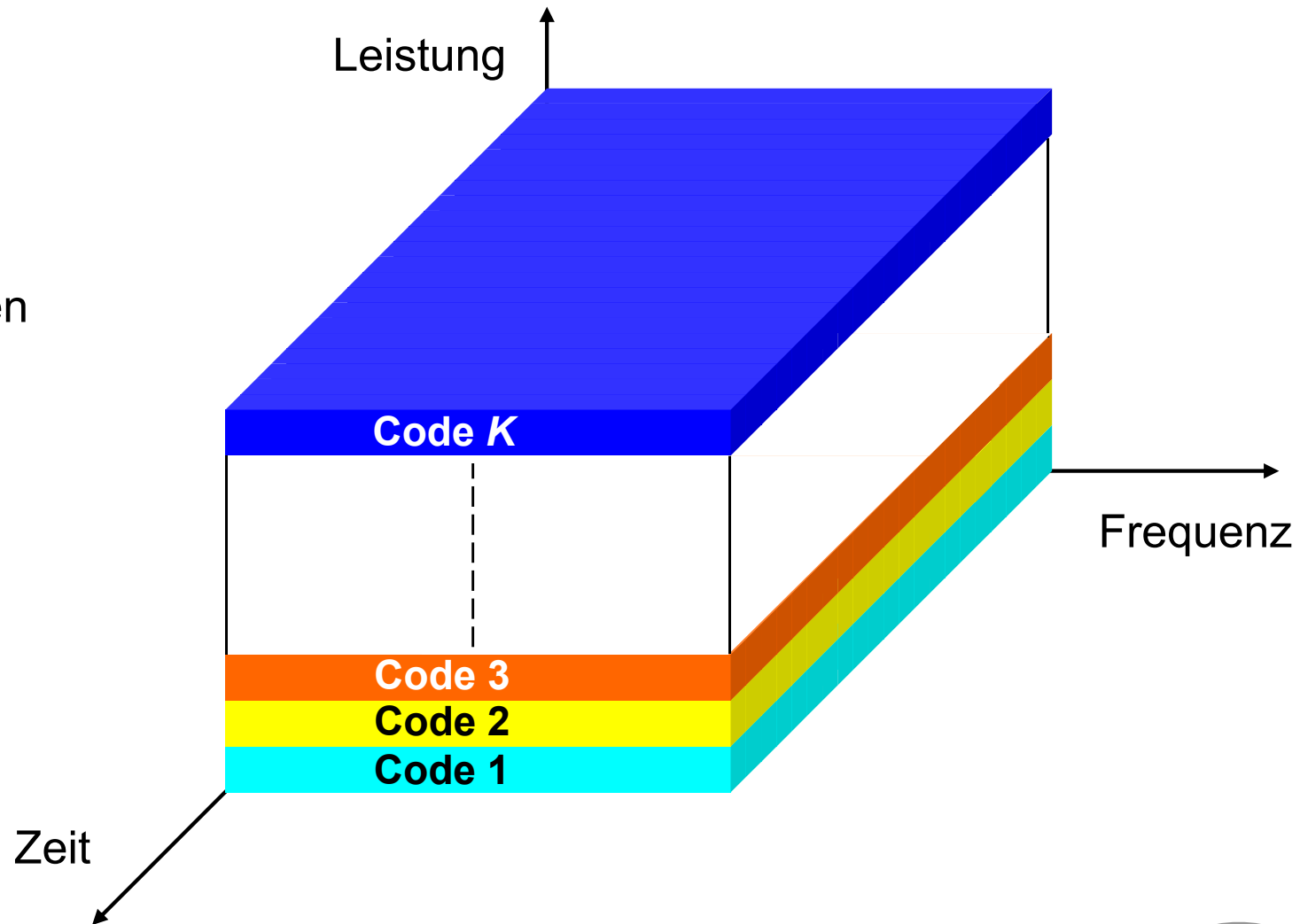
# FDMA

- Jedem Teilnehmer steht durchgehend ein begrenztes Frequenzband innerhalb der Gesamtbandbreite  $W$  zur Verfügung



# CDMA

- Zu jeder Zeit steht die gesamte spektrale Bandbreite  $W$  zur Verfügung.
- Die Trennung der einzelnen Signale wird durch Verwendung teilnehmerspezifischer Codes ermöglicht.

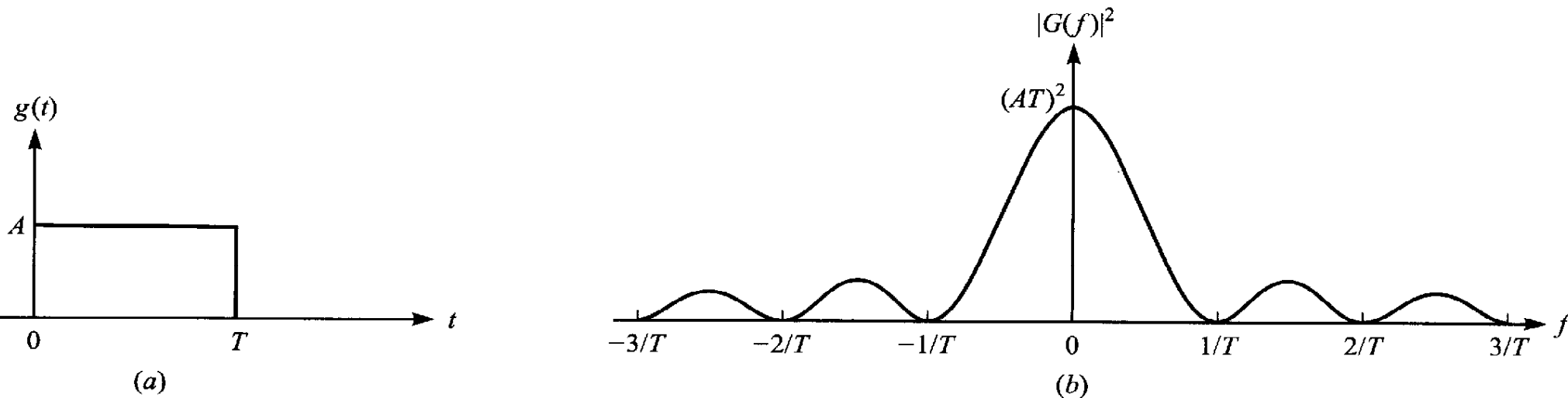


# Code Division Multiple Access (CDMA)

- **Bandspreizverfahren** (*Spread Spectrum*)
  - ⇒ Informationssignal der Bandbreite  $R_b$  wird auf die Übertragungsbandbreite  $W = R_c \gg R_b$  gespreizt
  - ⇒ ursprünglich: militärische Anwendungen
  - ⇒ heute: auch viele kommerzielle Anwendungen, insbesondere im Mobilfunk
  - ⇒ 2 grundlegende Verfahren
    - **Direct Sequence (DS)**, z.B. bei UMTS (WCDMA)
    - **Frequency Hopping (FH)**, z.B. bei Bluetooth
- **Vorteile**
  - ⇒ große Toleranz gegenüber Interferenz
  - ⇒ Störuneempfindlichkeit
  - ⇒ Toleranz gegenüber Mehrwegeausbreitung
  - ⇒ vergrößerte Reichweite
  - ⇒ unerwünschte Detektion kaum möglich / Abhörsicherheit (gespreiztes Signal sieht wie Rauschen aus)



# Rechteckimpuls und dessen spektrale Energiedichte



**FIGURE 4.4-1**  
Rectangular pulse and its energy density spectrum  $|G(f)|^2$ .

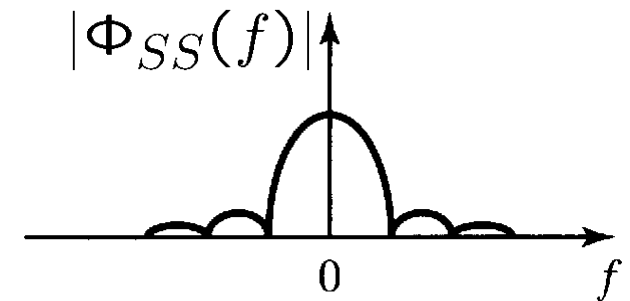
Quelle: John G. Proakis, "Digital Communications", 2001.

# Spreizung mit $Q = 4$

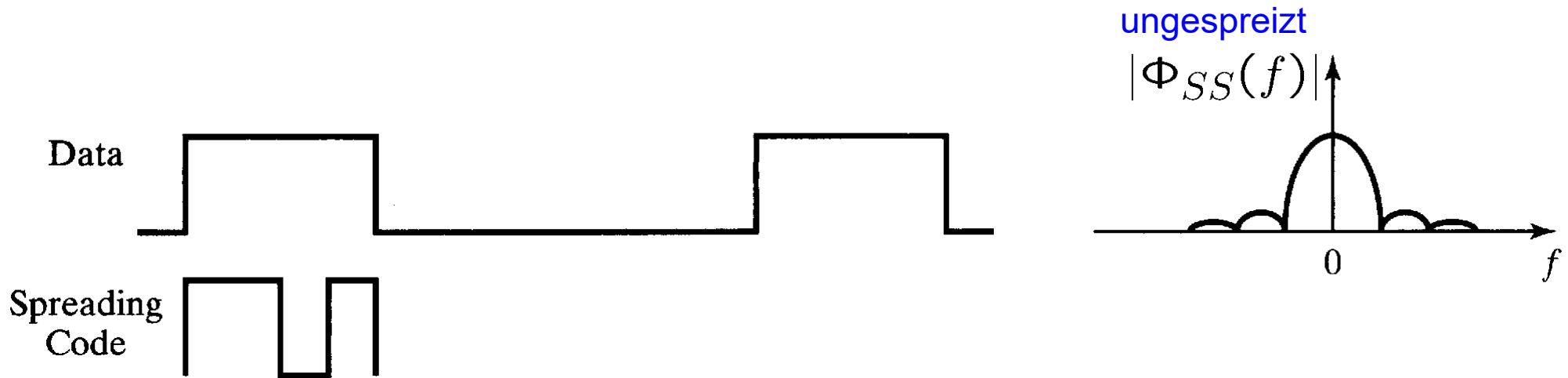
Data



ungespreizt



# Spreizung mit $Q = 4$



# Spreizung mit $Q = 4$

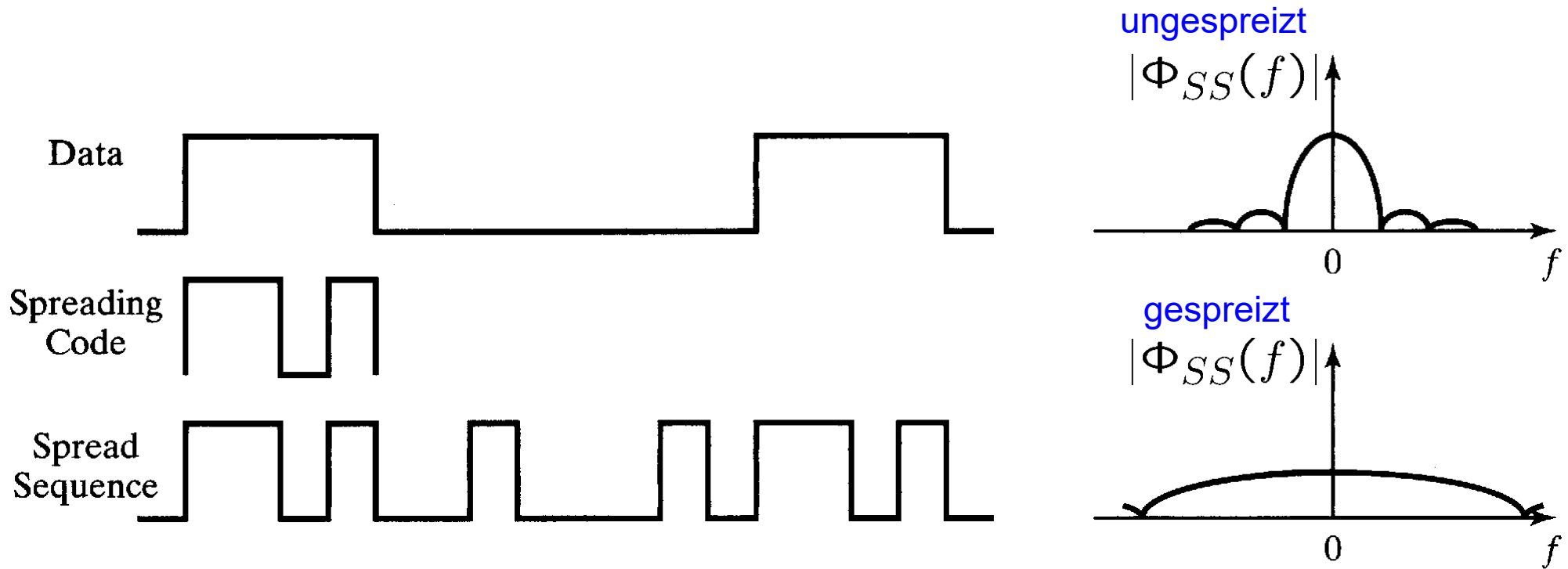


FIGURE 5.1 Spreading by a factor of four in the time and frequency domains.

Quelle: S. Haykin, M. Moher,  
"Modern Wireless  
Communications," 2005.

# CDMA Modulator und Demodulator (MF implementiert als Korrelationsempfänger)

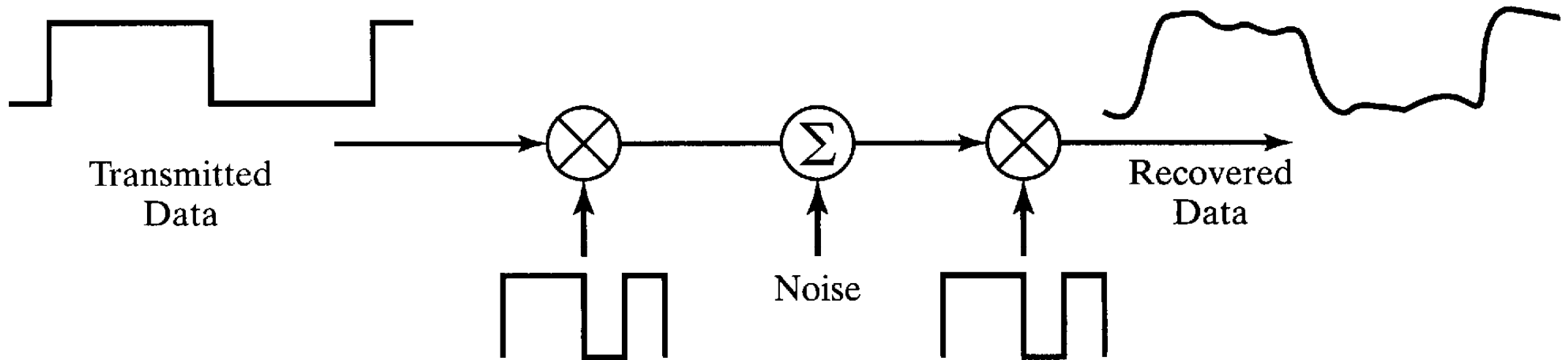


FIGURE 5.2 A simple CDMA modulator and optimum demodulator, with representative waveforms.

Quelle: S. Haykin, M. Moher,  
"Modern Wireless  
Communications," 2005.

117

# Einfluß von Interferenz

SNR am Ausgang eines DS-Empfängers  
*entspricht*

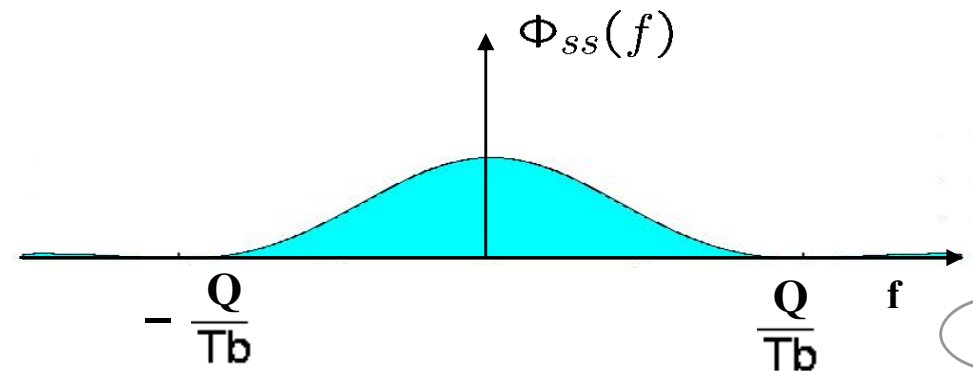
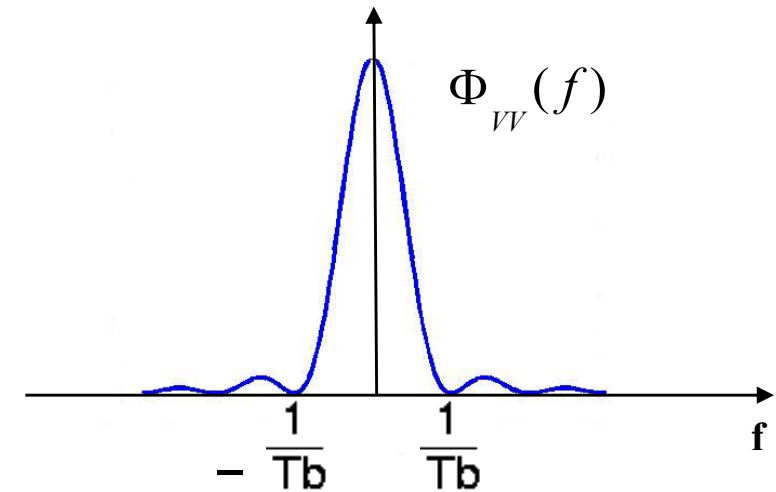
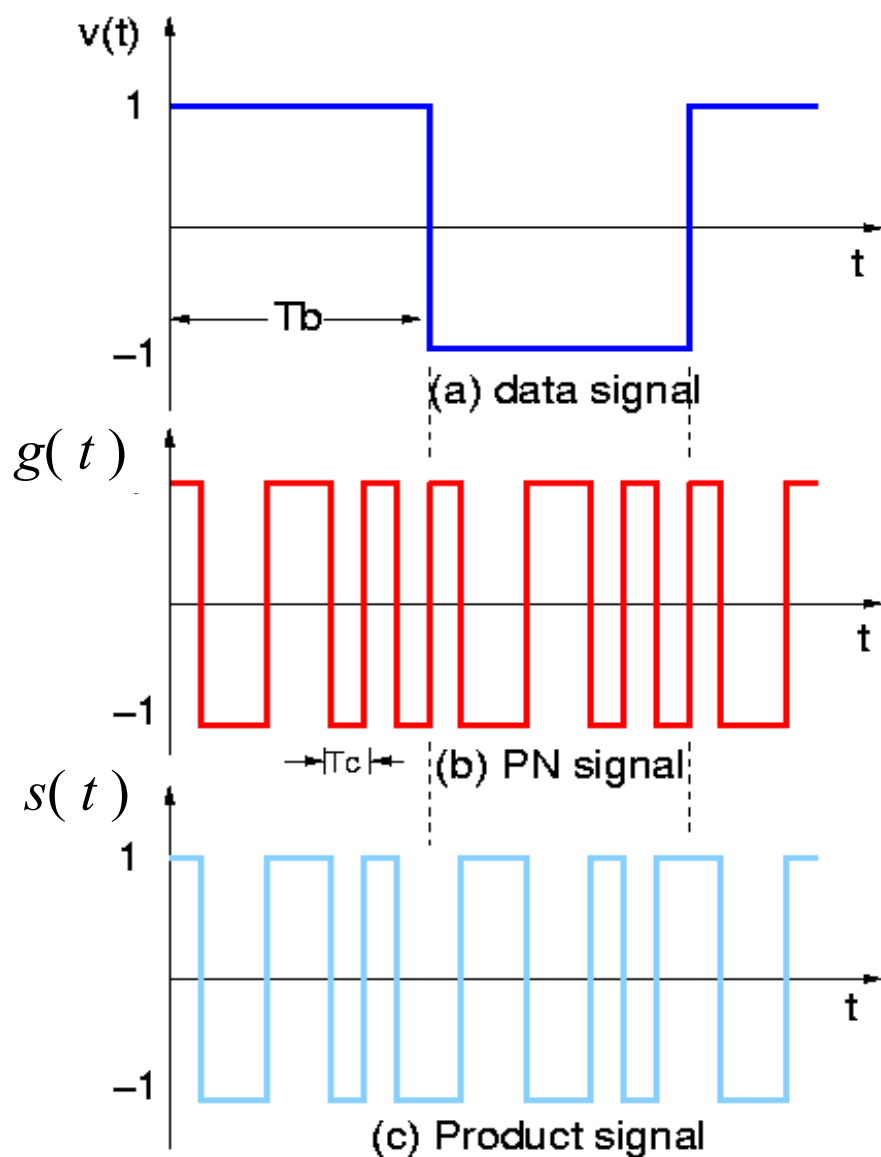
SNR am Ausgang eines Empfängers für nicht-gespreiztes BPSK oder QPSK

- **Uncodierte Bitfehlerrate** bei kohärenter Detektion

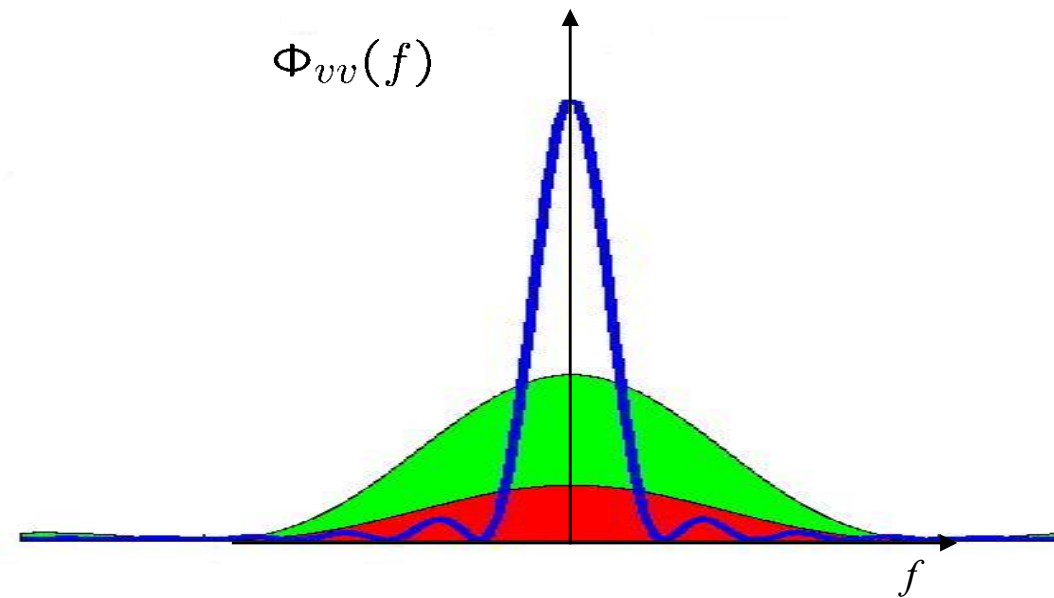
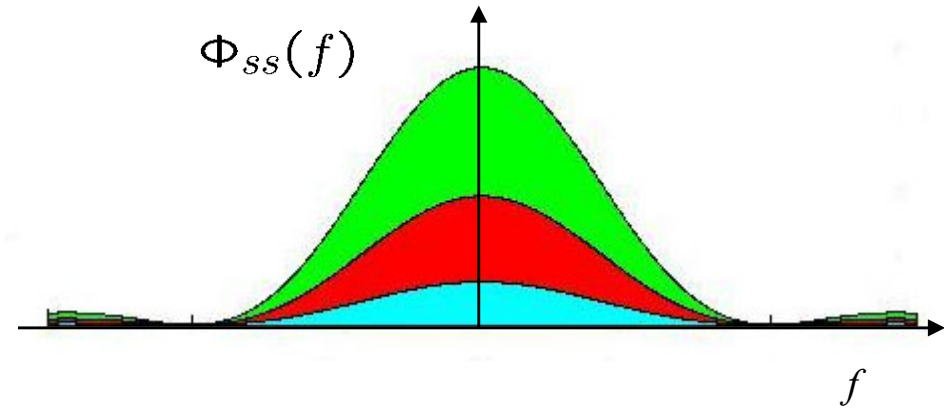
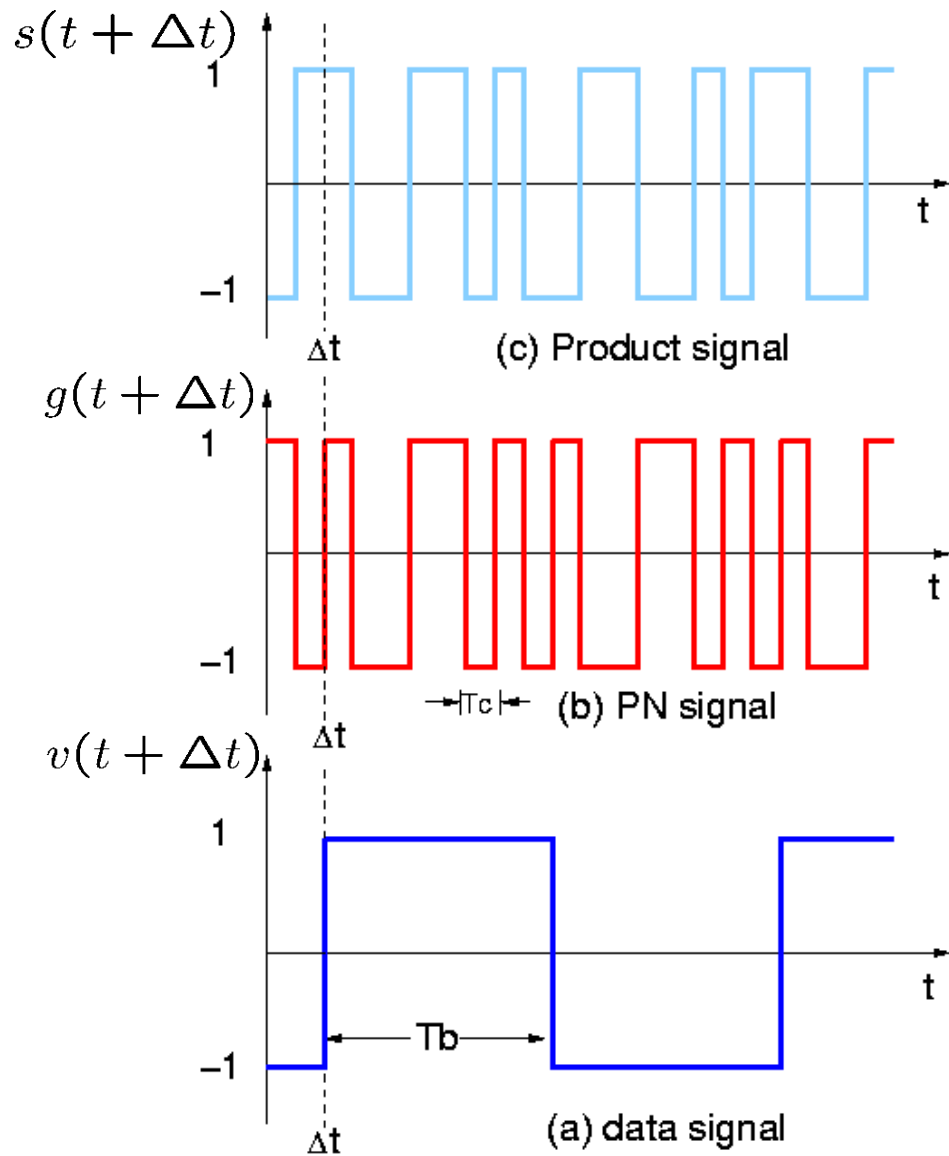
$$P_e = \frac{1}{2} \operatorname{erfc} \left( \sqrt{\frac{E_b}{N_0}} \right)$$

- DS-Empfänger reduziert die Empfindlichkeit gegenüber Interferenz  
⇒ Entspreizung wirkt als Spreizung auf Signale, auf die sie nicht angepaßt ist

# Erzeugung eines DS-CDMA Signals



# Entspreizung eines DS-CDMA Signals





# Walsh-Hadamard Codes der Länge $Q = 4$

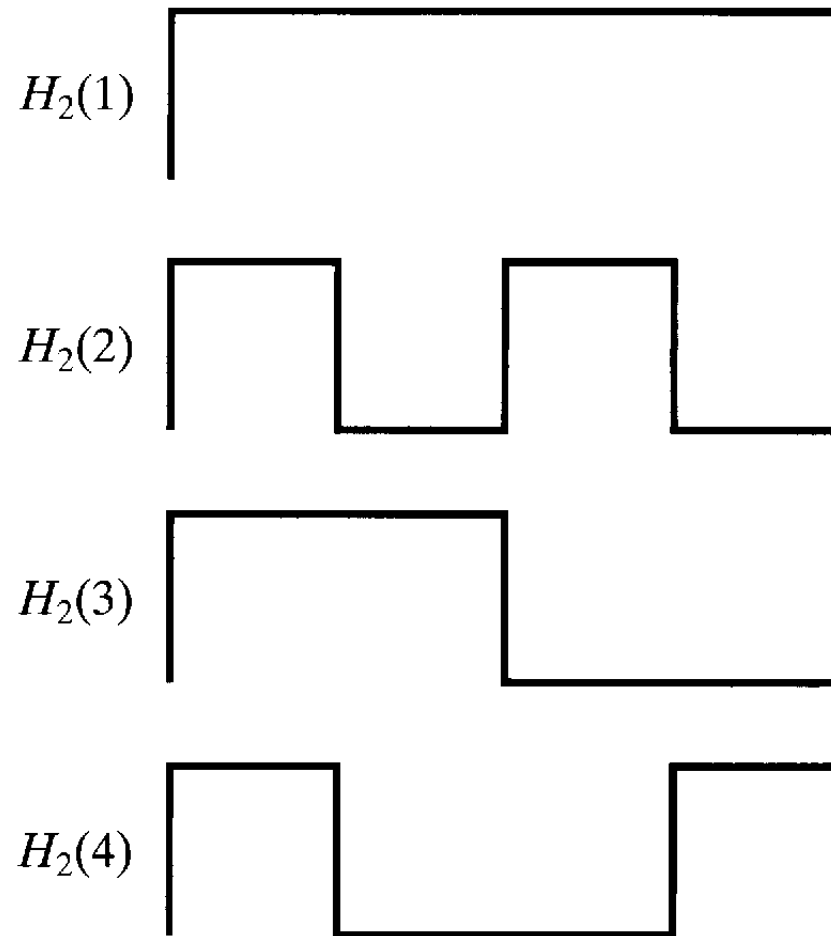
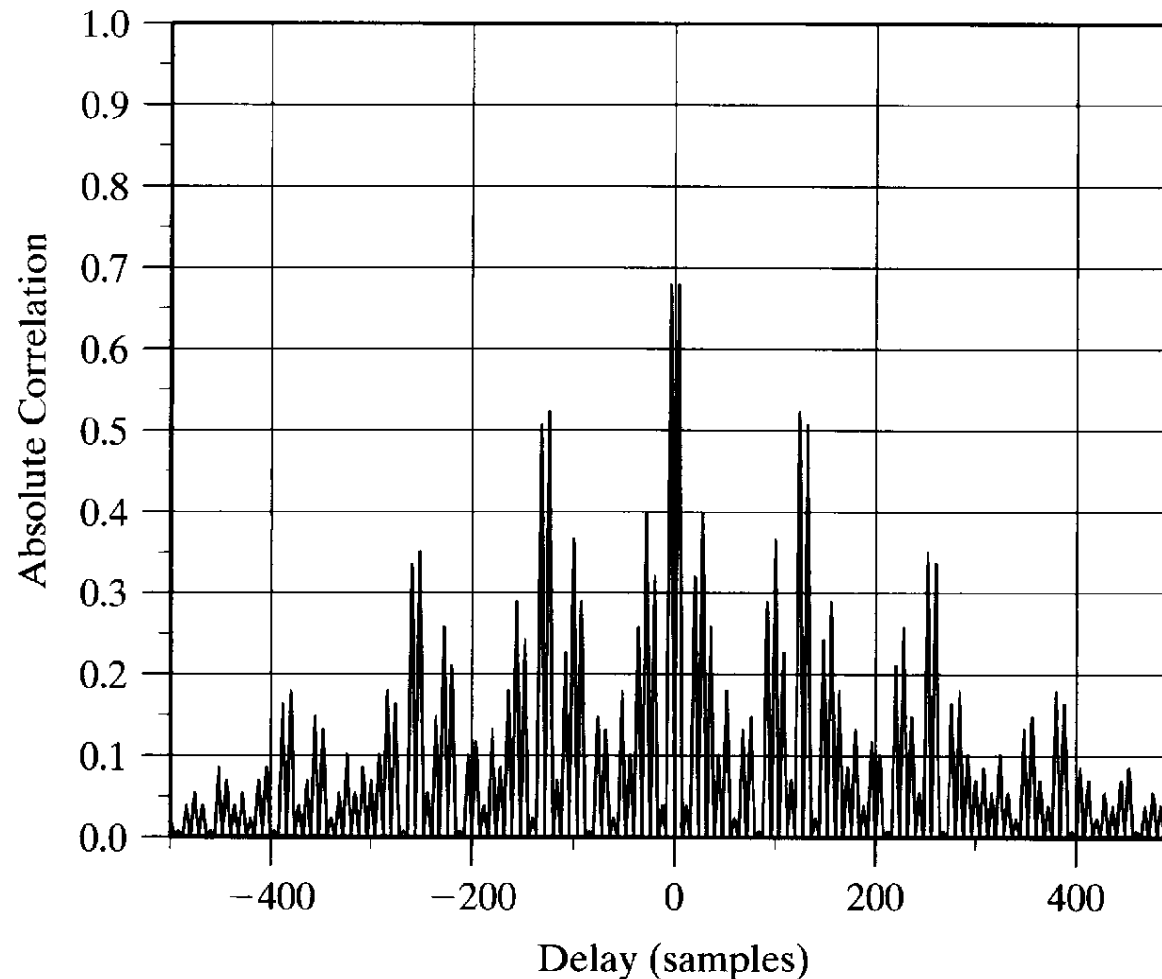


FIGURE 5.4 Walsh-Hadamard codes of length 4.

Quelle: S. Haykin, M. Moher,  
"Modern Wireless  
Communications," 2005.

121

# KKF zwischen Walsh-Hadamard Codes der Länge $Q = 128$



Quelle: S. Haykin, M. Moher,  
"Modern Wireless  
Communications," 2005.

FIGURE 5.5 Normalized absolute cross-correlation of  $H_7(63)$  and  $H_7(64)$  with four times oversampling.

# OVSF Codes

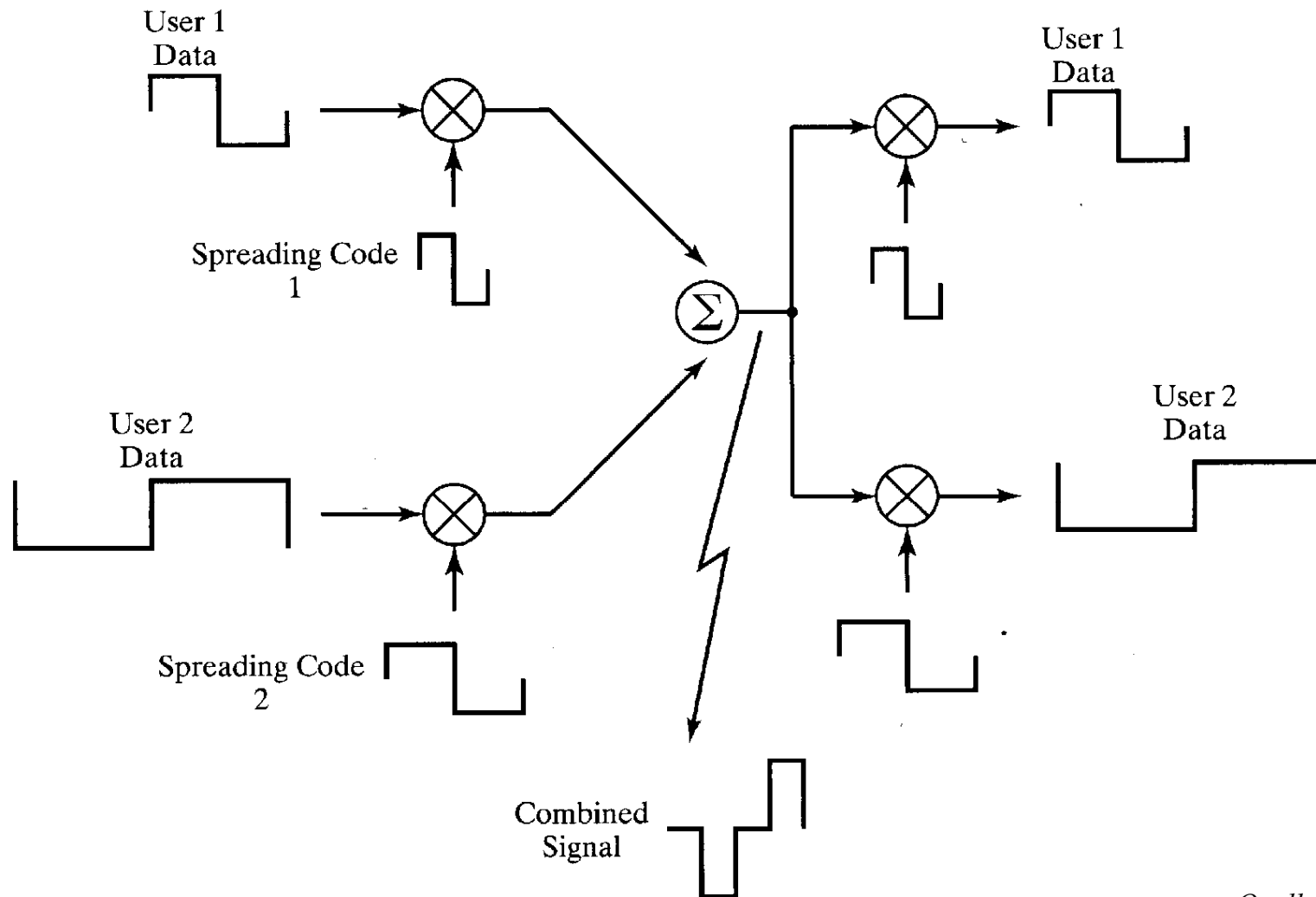
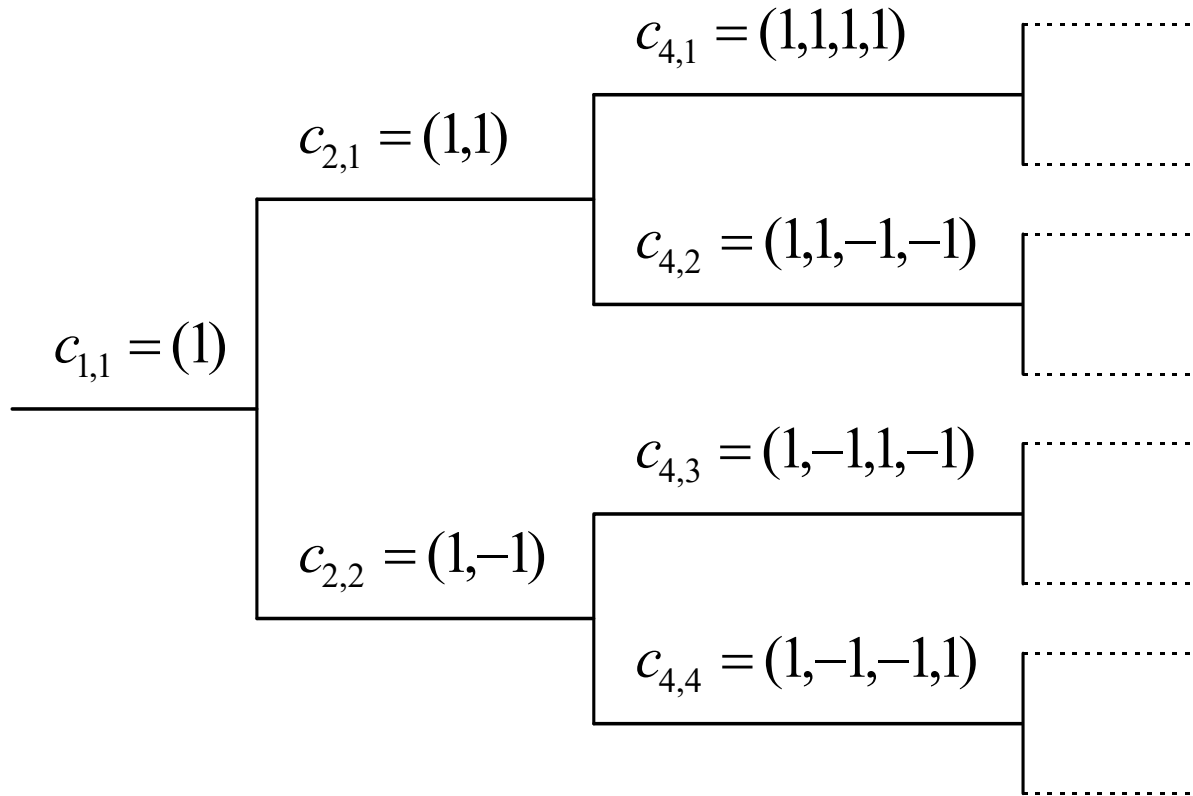


FIGURE 5.6 Illustration of orthogonal variable spreading factors.

Quelle: S. Haykin, M. Moher,  
"Modern Wireless  
Communications," 2005.

# OVSF code tree for channelization codes



$$c_{2n} = \begin{pmatrix} c_{2n,1} \\ c_{2n,2} \\ \vdots \\ c_{2n,2n} \end{pmatrix} = \begin{pmatrix} \begin{pmatrix} c_{n,1} & c_{n,1} \end{pmatrix} \\ \begin{pmatrix} c_{n,1} & -c_{n,1} \end{pmatrix} \\ \vdots \\ \begin{pmatrix} c_{n,n} & c_{n,n} \end{pmatrix} \\ \begin{pmatrix} c_{n,n} & -c_{n,n} \end{pmatrix} \end{pmatrix}$$

SF = 1      SF = 2      SF = 4      (spreading factor, code length)



Source: 3GPP

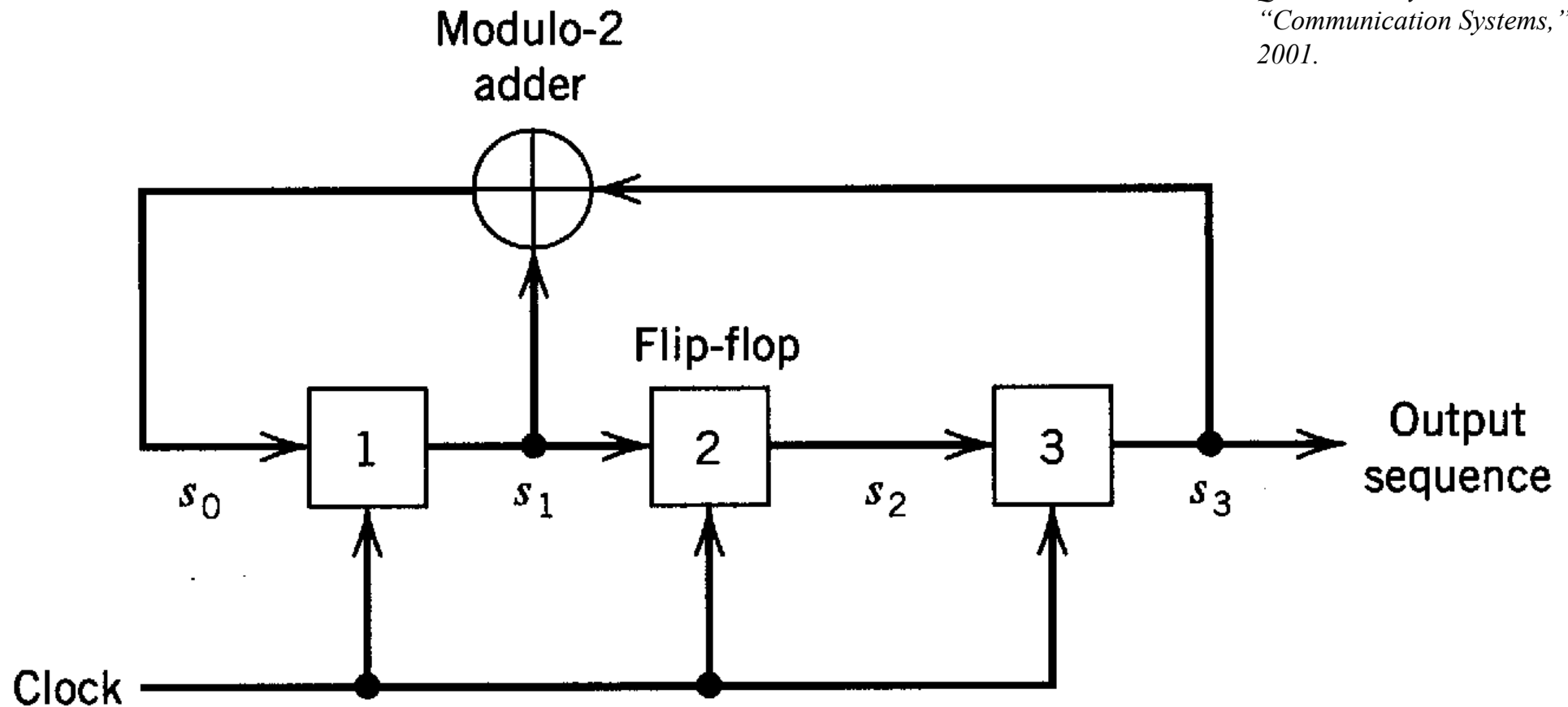
# *m* - (Maximal Length) Sequenzen

- Zur einfachen Erzeugung von binären Pseudo-Zufallsfolgen benutzt man *m*-stufige rückgekoppelte Schieberegister
  - ⇒ periodische binäre Sequenz
  - ⇒ die Ausgangssignale mehrerer Schieberegisterstufen werden Modulo-2-addiert und auf den Eingang zurückgeführt
  - ⇒ der Zustand  $\{ 0, 0, \dots, 0 \}$  ist auszuschließen
- Maximale Sequenzlänge bei *m* Flip-Flops:  $Q = N = 2^m - 1$
- Anzahl aller möglichen Zustände:  $2^m - 1$

$$t_p = ( 2^m - 1 ) T_c$$

# Schieberegister zur Erzeugung einer $m$ -Sequenz für $m = 3$

Quelle: S. Haykin,  
"Communication Systems,"  
2001.



**FIGURE 7.2** Maximal-length sequence generator for  $m = 3$ .

# Eigenschaften von $m$ -Sequenzen

- Jede  $m$ -Sequenz der Länge  $Q = N = 2^m - 1$  enthält
  - ⇒  $2^{m-1}$  Einsen und
  - ⇒  $2^{m-1} - 1$  Nullen
- Die Modulo-2-Summe aus einer  $m$ -Sequenz und einer zyklisch verschobenen Version der gleichen  $m$ -Sequenz
  - ⇒ ergibt eine zyklisch verschobene Version dieser  $m$ -Sequenz
- Die Autokorrelationsfunktion (AKF) einer  $m$ -Sequenz ist
  - ⇒ binärwertig und
  - ⇒ periodisch mit der Periode  $N = 2^m - 1$
- Schieberegister zur Erzeugung von  $m$ -Sequenzen (siehe nächste Folie)
  - ⇒ plus dem “image set,” das eine  $m$ -Sequenz mit gespiegelmtem Zeitverlauf generiert

# *m*-Sequenzen mit Schieberegistern der Länge 2 bis 8

**TABLE 7.1** *Maximal-length sequences of shift-register lengths 2–8*

<i>Shift-Register Length, m</i>	<i>Feedback Taps</i>
2*	[2, 1]
3*	[3, 1]
4	[4, 1]
5*	[5, 2], [5, 4, 3, 2], [5, 4, 2, 1]
6	[6, 1], [6, 5, 2, 1], [6, 5, 3, 2]
7*	[7, 1], [7, 3], [7, 3, 2, 1], [7, 4, 3, 2], [7, 6, 4, 2], [7, 6, 3, 1], [7, 6, 5, 2], [7, 6, 5, 4, 2, 1], [7, 5, 4, 3, 2, 1]
8	[8, 4, 3, 2], [8, 6, 5, 3], [8, 6, 5, 2], [8, 5, 3, 1], [8, 6, 5, 1], [8, 7, 6, 1], [8, 7, 6, 5, 2, 1], [8, 6, 4, 3, 2, 1]

\* *Marsenne Prime Length Sequences*, für die  $N = 2^m - 1$  eine Primzahl ist.

*Quelle: S. Haykin, "Communication Systems," 2001.*



# Codesequenzen für unterschiedliche Teilnehmer eines CDMA-Systems

- unterschiedlich verschobene Versionen (*Shifts*) der gleichen  $m$ -Sequenz für verschiedene Teilnehmer
  - ⇒ Probleme bei fehlender Synchronisation und bei Mehrwegeausbreitung
- unterschiedliche  $m$ -Sequenzen, die durch unterschiedliche Schieberegister erzeugt werden, für verschiedene Teilnehmer
  - ⇒ oft schlechte Kreuzkorrelationseigenschaften
- **Gold-Codes**
  - ⇒ besitzen gute Kreuzkorrelationseigenschaften
  - ⇒ bilde die Modulo-2-Summe zweier  $m$ -Sequenzen der gleichen Länge, die von unterschiedlichen Schieberegistern erzeugt werden

# Erzeugung einer Gold-Sequenz

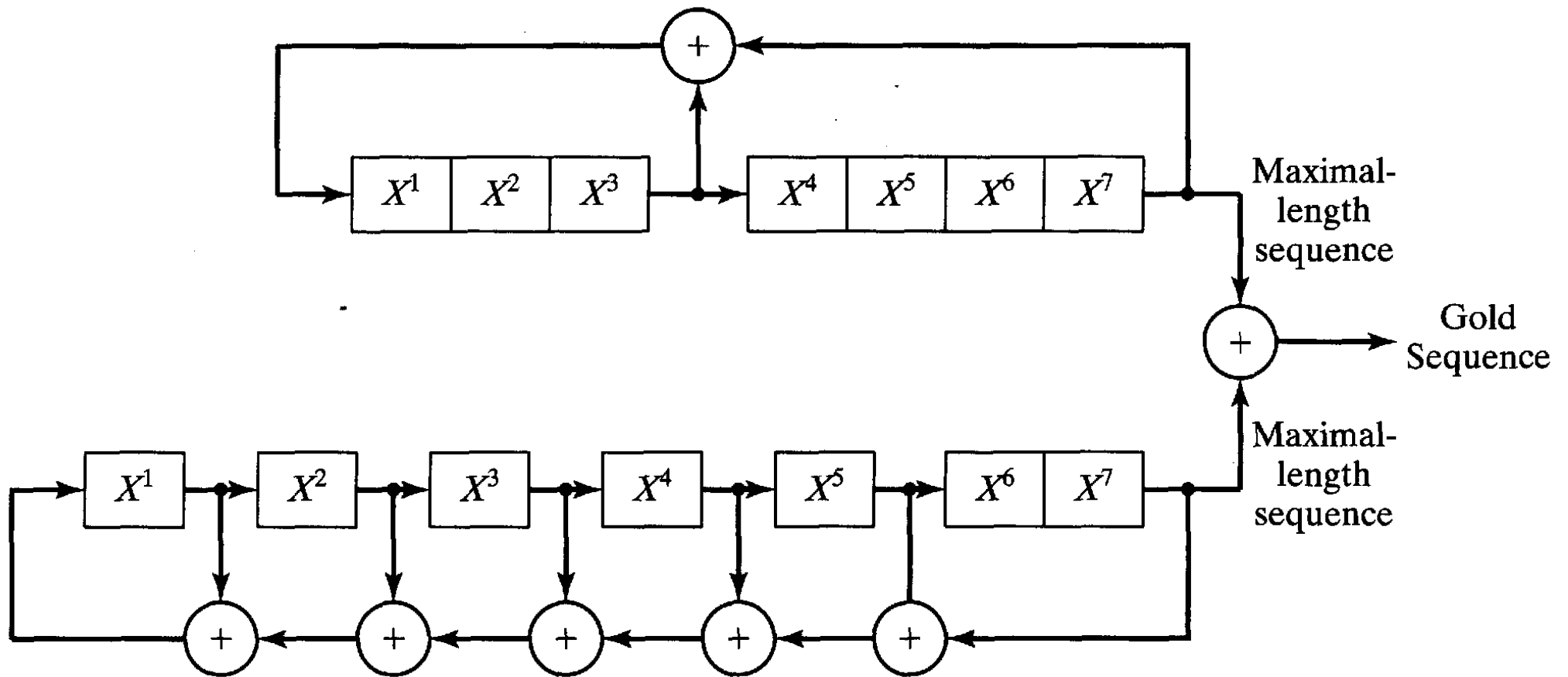
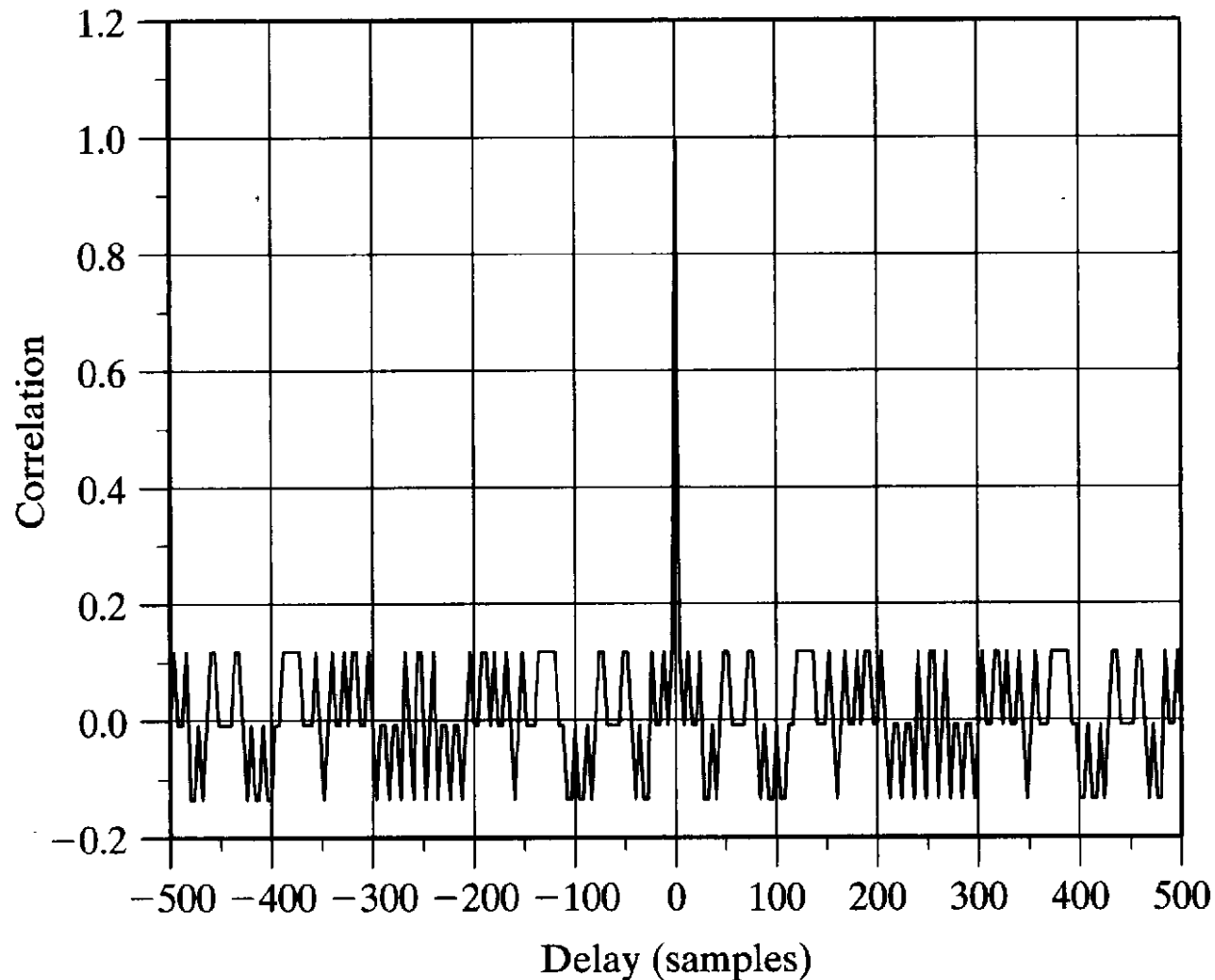


FIGURE 5.11 Generation of a Gold sequence.

Quelle: S. Haykin, M. Moher, "Modern Wireless Communications," 2005.

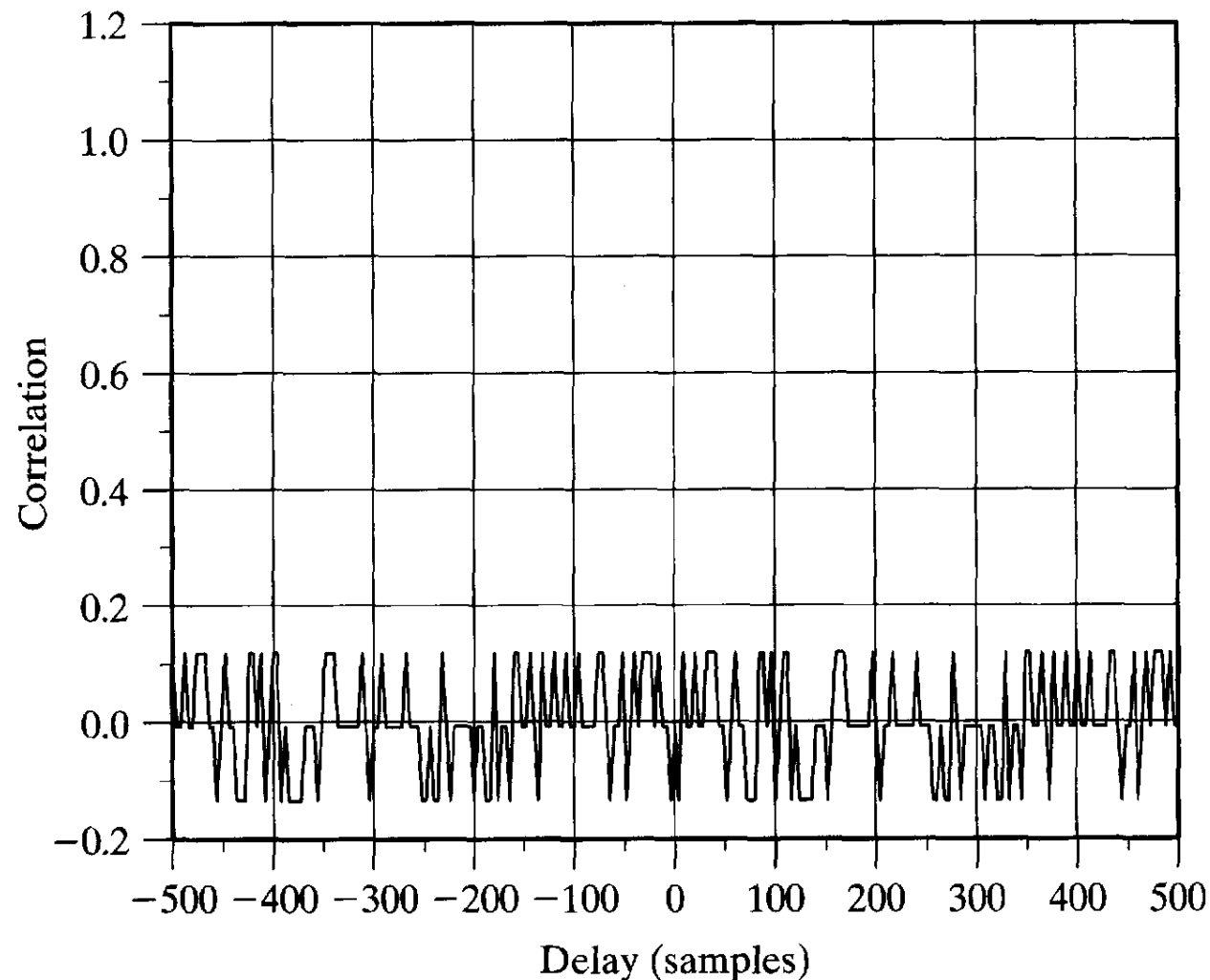
# AKF einer periodischen Gold-Sequenz



Quelle: S. Haykin, M. Moher,  
"Modern Wireless  
Communications," 2005.

FIGURE 5.12 Normalized circular autocorrelation of a Gold code of length  $2^7 - 1$ .

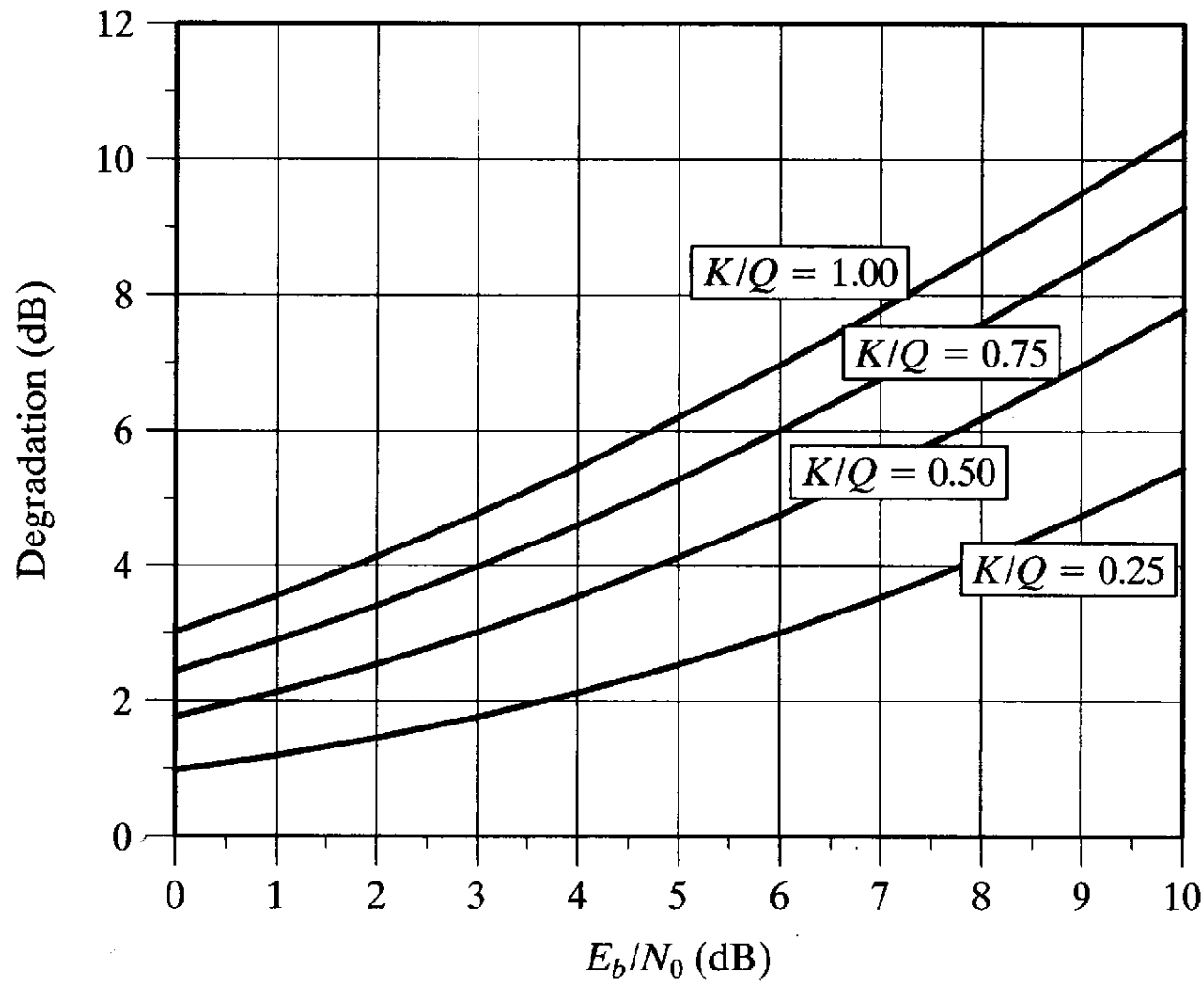
# KKF zweier periodischer Gold-Sequenzen



Quelle: S. Haykin, M. Moher,  
"Modern Wireless  
Communications," 2005.

FIGURE 5.13 Normalized circular cross-correlation of two Gold codes of length  $2^7 - 1$ .

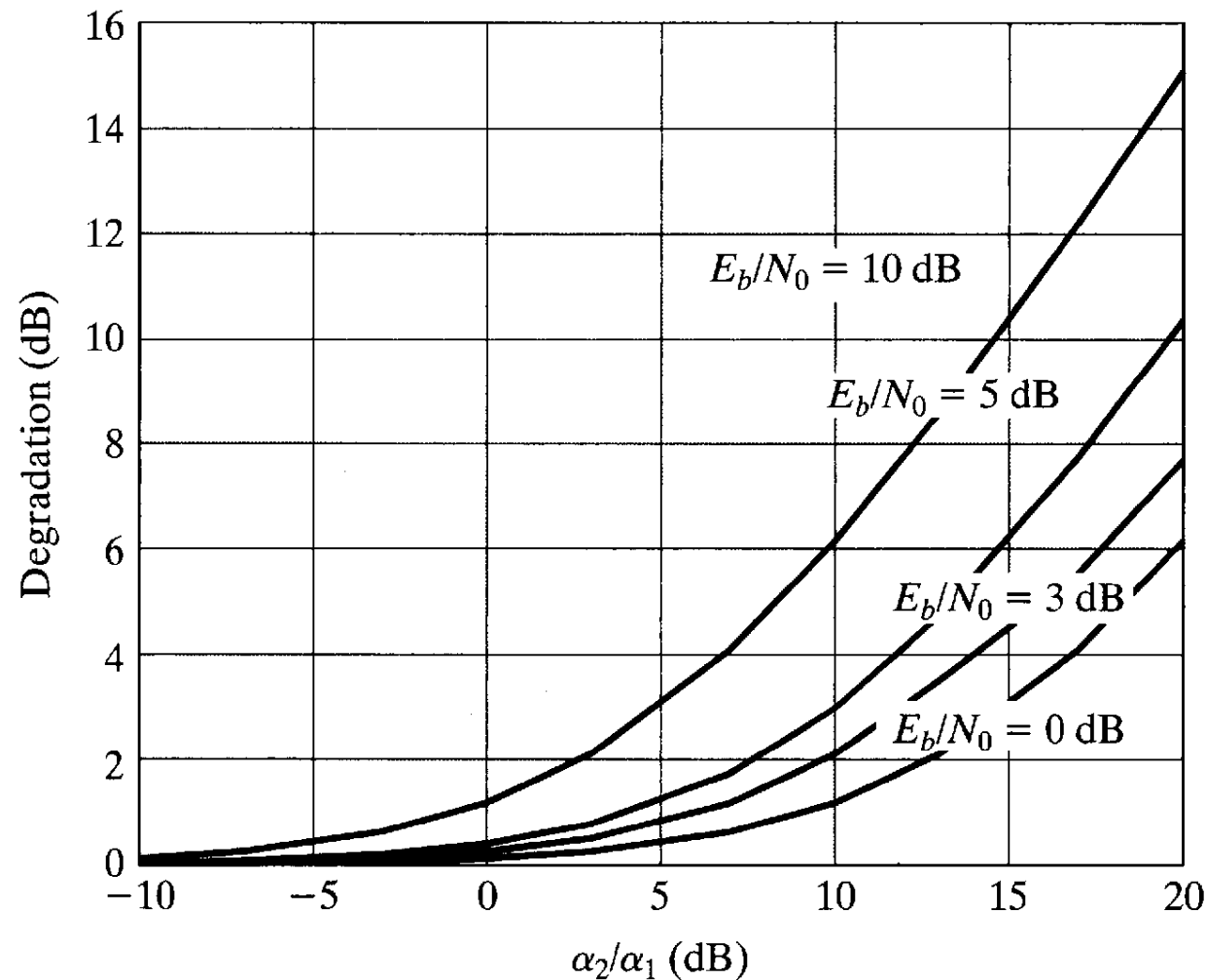
# Degradation durch Vielfachzugriff (MAI)



Quelle: S. Haykin, M. Moher,  
"Modern Wireless  
Communications," 2005.

FIGURE 5.15 Performance degradation due to multiple-access interference (large  $Q$ ).

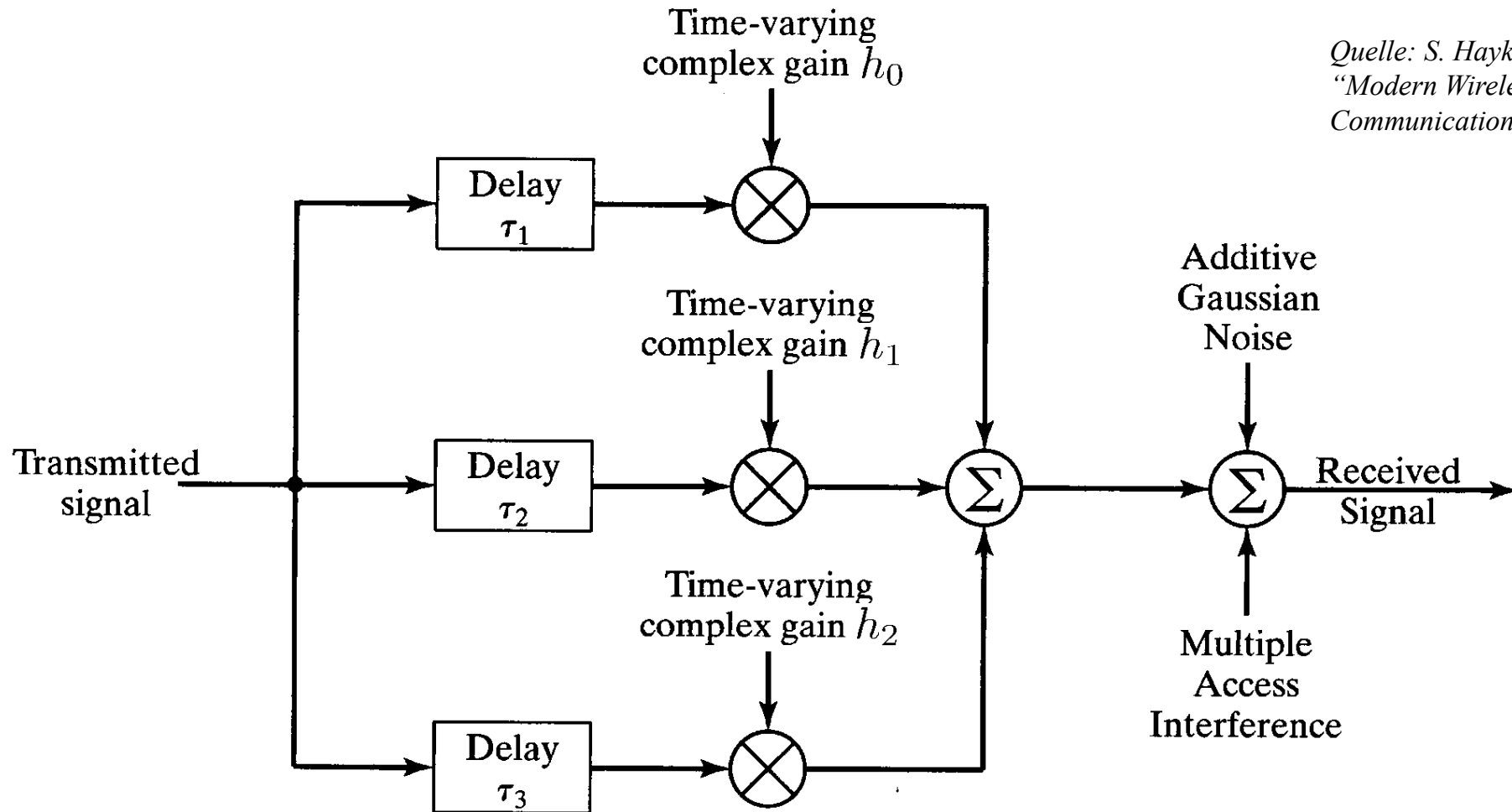
# Degradation des 1. Teilnehmers als Funktion der relativen Leistung



Quelle: S. Haykin, M. Moher, "Modern Wireless Communications," 2005.

FIGURE 5.22 Performance degradation of first of two users as a function of relative power and processing gain.

# Kanal mit Mehrwegeausbreitung



Quelle: S. Haykin, M. Moher, "Modern Wireless Communications," 2005.

FIGURE 5.16 Multipath channel model.

# RAKE Empfänger für CDMA Systeme mit Mehrwegeausbreitung

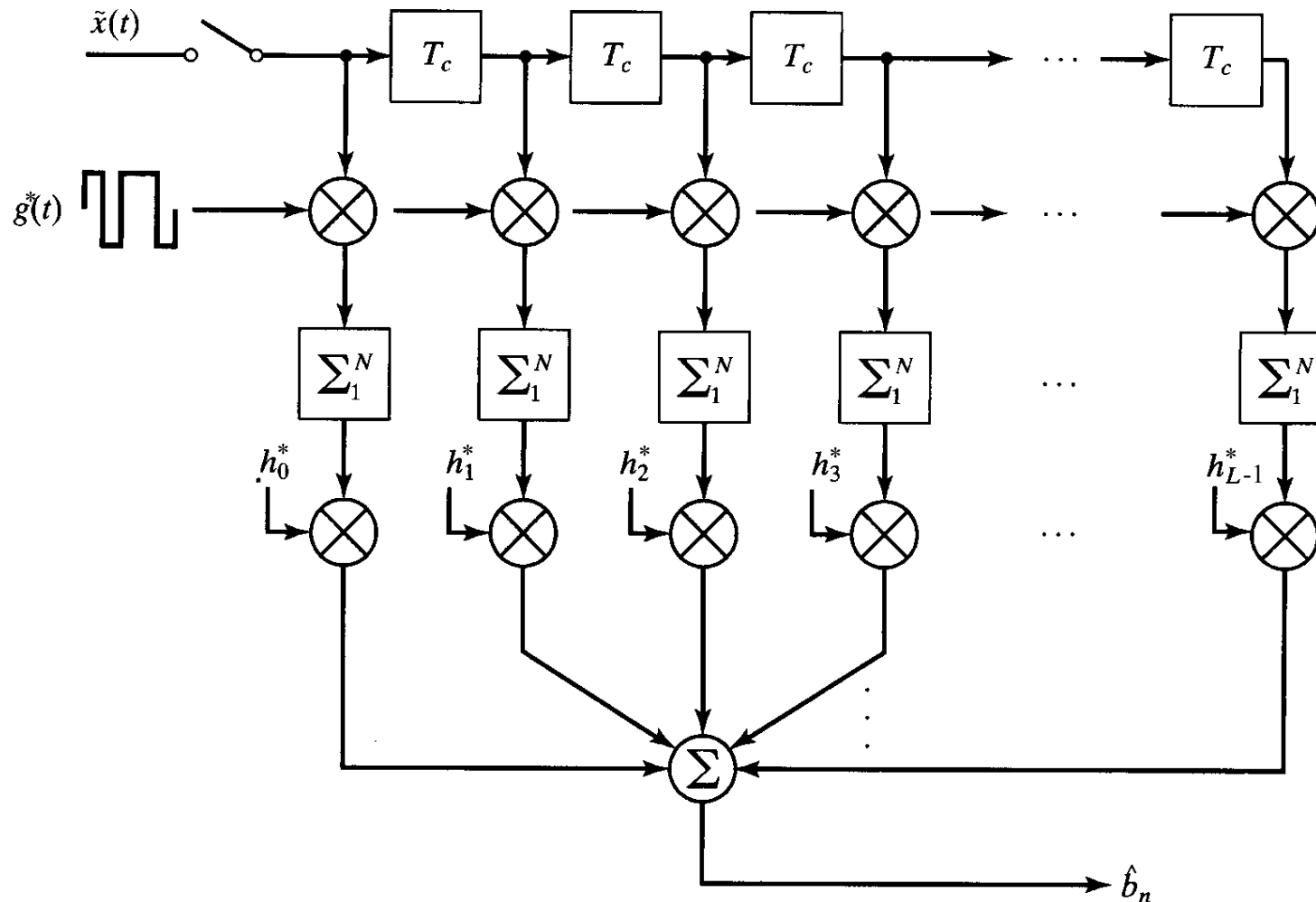


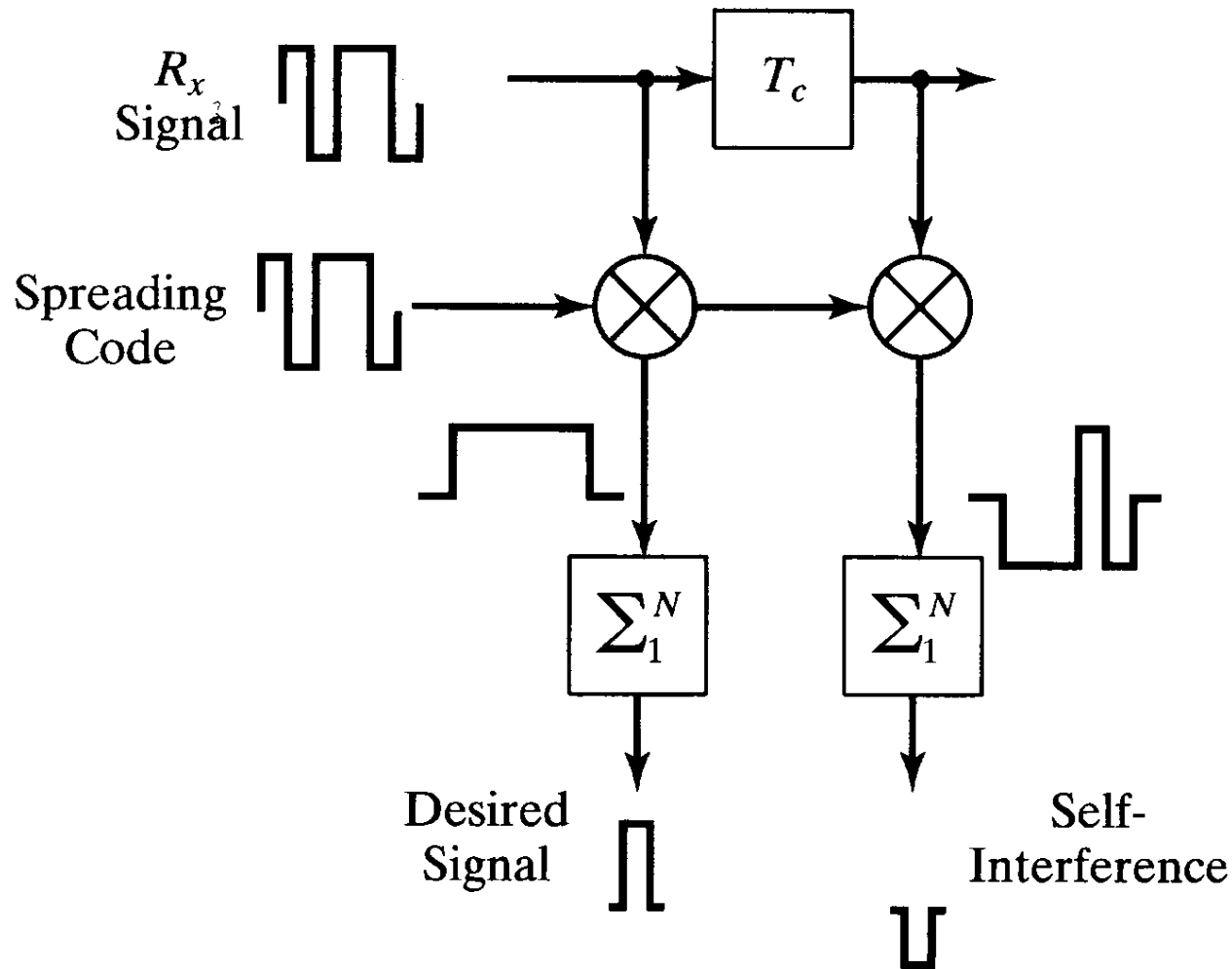
FIGURE 5.17 RAKE receiver for CDMA over multipath channels.

Quelle: S. Haykin, M. Moher,  
"Modern Wireless  
Communications," 2005.

136



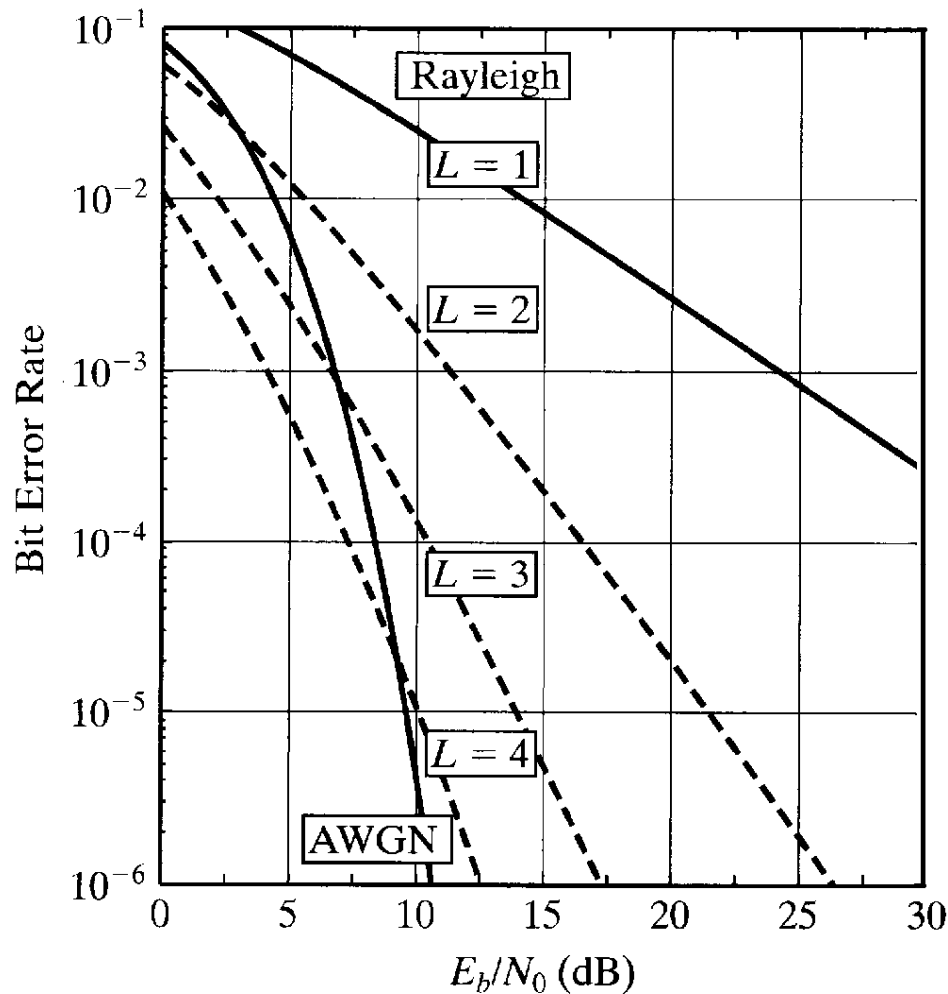
# Selbstinterferenz durch Mehrwegeausbreitung



Quelle: S. Haykin, M. Moher, "Modern Wireless Communications," 2005.

FIGURE 5.18 Illustration of multipath cross-correlation noise.

# AWGN Kanal bzw. Rayleigh Kanal mit unterschiedlichen Diversitätsordnungen $L$



Quelle: S. Haykin, M. Moher,  
"Modern Wireless  
Communications," 2005.

FIGURE 5.19 Comparison of performance in AWGN with that of Rayleigh fading with different diversity orders.